

**66804**

**İSTANBUL TEKNİK ÜNİVERSİTESİ ★ FEN BİLİMLERİ ENSTİTÜSÜ**

**ROTOR KAFES ŞEKİLLERİ ve ARALARINDAKİ UZAKLIKLARIN ASENKRON  
MAKİNA BÜYÜKLÜKLERİNE ETKİLERİNİN KLASİK METOD ve İNDAN  
PROGRAMIYLA İNCELENMESİ**

**YÜKSEK LİSANS TEZİ**

**Elek. Müh. Zafer YAVUZ**

**Tezin Enstitüye Verildiği Tarih : 09 Haziran 1997**

**Tezin Savunulduğu Tarih : 26 Haziran 1997**

**Tez Danışmanı : Prof. Dr. Nurdan GÜZELBEYOĞLU**

**Diğer Juri Üyeleri : Prof. Dr. İlhami ÇETİN**

**Prof. Dr. Faik MERGEN**

**HAZİRAN 1997**

## **ÖNSÖZ**

Günlük yaşamımızda her geçen gün önemi artan elektrik enerjisi beraberinde birçok kolaylıklarda getirmektedir. Bunlar ise çeşitli tip ve güçteki elektrik makinalarıyla olmaktadır. Asenkron makinalar ise bu aşamada önemli bir yer tutmaktadır. Ucuz bakım ve onarımının kolay olmasının yanında özellikle elektronik dünyasındaki gelişmelere paralel olarak kontrollerinin de kolaylaşması ve daha hassas kumanda edilebilmesi bu makinaları cazip kılmaktadır.

Mensubu olmakla gurur duyduğum ve her zaman duyacağım İstanbul Teknik Üniversitesi’nde yüksek lisans eğitimi almanın yanında asenkron makinalar gibi bir konu üzerinde tez hazırlamanın ayrıcalık olduğu inancındayım. Bütün bunları başırmamda bana gerekli çalışma ortamını sağlayan aileme, değerli görüşleriyle bana yol gösteren, çalışmalarında benden destegini hiçbir zaman esirgemeyen kıymetli hocam Sayın Prof. Dr. Nurdan GÜZELBEYOĞLU’na teşekkürlerini gerekli bir borç bilirim. Ayrıca tezimin hazırlanmasında bana yardımcı olan arkadaşlarım Müh. Kemal YILMAZ’ a ve Müh. Mehmet GÖNEN’ e, Müh. Perihan CENGİZ’ e, Müh. Nalan KALAFAT’ a, Elektronik Müh. Ayten KATITAŞ’ a ve ismini sayamadığım arkadaşlarına desteklerinden dolayı teşekkür ederim.

İstanbul, 1997

Elk. Müh. Zafer YAVUZ

## **İÇİNDEKİLER**

	<u>Sayfa No</u>
ÖNSÖZ.....	ii
İÇİNDEKİLER.....	iii
ŞEKİL LİSTESİ.....	v
TABLO LİSTESİ.....	vi
SUMMARY.....	vii
GİRİŞ.....	xii
<b>BÖLÜM 1 PLAKA DEĞERLERİ BELİRİLİ ASENKRON</b>	
<b>MOTORUN KLASİK YÖNTEMLE BÜYÜKLÜKLERİNİN BELİRLENMESİ.....1</b>	
1.1    Plaka değerleri 500 kW,4000 V, 50 Hz, 1000 d/d olan kısa devre kafesli asenkron motorun klasik yöntemle hesabı.....1	
1.2    Rotor oluk şekillerinin boyutlandırılması.....21	
1.2.1    1.makina modeli ve eşdeğer devre parametrelerinin hesabı.....21	
1.2.2    2.makina modeli ve eşdeğer devre parametrelerinin hesabı.....28	
1.2.3    3.makina modeli ve eşdeğer devre parametrelerinin hesabı.....34	
1.2.4    4.makina modeli ve eşdeğer devre parametrelerinin hesabı.....41	
1.2.5    5.makina modeli ve eşdeğer devre parametrelerinin hesabı.....47	
1.2.6    6.makina modeli ve eşdeğer devre parametrelerinin hesabı.....53	
1.2.7    7.makina modeli ve eşdeğer devre parametrelerinin hesabı.....59	
1.3    Çeşitli modellerin performanslarının incelenmesi.....65	
1.3.1    1.Makina modelinin performanslarının hesabı.....65	
1.3.2    2.Makina modelinin performanslarının hesabı .....69	
1.3.3    3.Makina modelinin performanslarının hesabı .....72	
1.3.4    4.Makina modelinin performanslarının hesabı .....75	
1.3.5    5. Makina modelinin performanslarının hesabı .....78	
1.3.6    6.Makina modelinin performanslarının hesabı .....81	
1.3.7    7.Makina modelinin performanslarının hesabı .....84	
1.4    Çeşitli rotor oluk şekillerine ilişkin klasik yöntemle hesaplanan performanslara ait büyüklüklerin karşılaştırılması....87	
<b>BÖLÜM 2 INDAN BİLGİSAYAR PROGRAMI .....</b> 88	
2.1    INDAN Hazır paket programı tanıtımı.....88	

<b>2.2</b>	<b>INDAN bilgisayar programı ile elde edilen sonuçlar.....</b>	<b>90</b>
<b>2.2.1</b>	<b>INDAN bilgisayar programı ile hesaplanan eşdeğer devre parametreleri.....</b>	<b>90</b>
<b>2.2.1.1</b>	<b>1. Makina modeli için hesaplanan değerler.....</b>	<b>90</b>
<b>2.2.1.2</b>	<b>2. Makina modeli için hesaplanan değerler.....</b>	<b>90</b>
<b>2.2.1.3</b>	<b>3. Makina modeli için hesaplanan değerler.....</b>	<b>91</b>
<b>2.2.1.4</b>	<b>4. Makina modeli için hesaplanan değerler.....</b>	<b>91</b>
<b>2.2.1.5</b>	<b>5. Makina modeli için hesaplanan değerler.....</b>	<b>92</b>
<b>2.2.1.6</b>	<b>6. Makina modeli için hesaplanan değerler.....</b>	<b>92</b>
<b>2.2.1.7</b>	<b>7. Makina modeli için hesaplanan değerler.....</b>	<b>93</b>
<b>2.2.2</b>	<b>INDAN Programında hesaplanan ek değerler.....</b>	<b>94</b>
<b>2.2.2.1</b>	<b>1. Makina modeli.....</b>	<b>94</b>
<b>2.2.2.2</b>	<b>2. Makina modeli.....</b>	<b>95</b>
<b>2.2.2.3</b>	<b>3. Makina modeli.....</b>	<b>95</b>
<b>2.2.2.4</b>	<b>4. Makina modeli.....</b>	<b>96</b>
<b>2.2.2.5</b>	<b>5. Makina modeli.....</b>	<b>96</b>
<b>2.2.2.6</b>	<b>6. Makina modeli.....</b>	<b>97</b>
<b>2.2.2.7</b>	<b>7. Makina modeli.....</b>	<b>97</b>
<b>BÖLÜM 3 KLASİK YÖNTEM İLE INDAN BİLGİSAYAR PROGRAMININ KARŞILAŞTIRILMASI.....</b>		<b>98</b>
<b>3.1</b>	<b>Klasik yöntem ve INDAN bilgisayar programı ile çeşitli modeller için hesaplanan eşdeğer devre parametrelerinin karşılaştırılması.....</b>	<b>98</b>
<b>BÖLÜM 4 MAKİNA MODELLERİNİN KARŞILAŞTIRILMASI.</b>		<b>100</b>
<b>4.1</b>	<b>INDAN programı esas alınarak çeşitli makina modellerinin karşılaştırılması.....</b>	<b>100</b>
<b>BÖLÜM 5 SONUÇ.....</b>		<b>101</b>
<b>KAYNAKLAR.....</b>		<b>103</b>
<b>EKLER.....</b>		<b>104</b>
<b>ÖZGEÇMİŞ.....</b>		<b>105</b>

Şekil 1.1 2 ile 12 Kutuplu Asenkron Makinalar İçin Stator İç Çapının Makina Güçüne Bağlı Olarak Değişimi.....	1
Şekil 1.2 Yüksek Devirli Asenkron Motorlarda Kutup Başına Gürün Fonksiyonu Olarak C Faydalananma Katsayı.....	4
Şekil 1.3 Asenkron Motorların İç Çapa Bağlı Olarak $\delta$ Hava Aralığı.....	4
Şekil 1.4 Asenkron Motorlara Ait $\alpha_1=f(k_d)$ ve $k_{f1}$ eğrileri.....	5
Şekil 1.5 Normal Asenkron Makinaların Kutup Sayısının Fonksiyonu Olarak $1/(1+\sigma_1)$ Değerleri.....	6
Şekil 1.6 Mıknatışlanma Eğrileri.....	8
Şekil 1.7 Bobin Yanlarının Oluğa Yerleştirilmiş Hali.....	9
Şekil 1.8 $k_{hb}$ Histerezis Faktörünün Değişik Çift Kutup Sayıları İçin $D/D_{D_{1\delta}}$ , Dolayısıyla $D/D_{I_\delta}$ 'e Bağlı Değerleri.....	13
Şekil 1.9 $k_{wb}$ Foucault Akım Faktörünün Değişik Çift Kutup Sayıları İçin $D/D_{D_{1\delta}}$ ; $D/D_{I_\delta}$ 'e Bağlı Değişimi.....	13
Şekil 1.10 Üç Fazlı Sargılarda $y/t_p$ Kırışlenmesine Bağlı Olarak $k_{cu}$ ve $k_o$ Düzeltme Faktörleri.....	14
Şekil 1.11 Oluk Genişliği $b_0$ 'ya Bağlı Olarak İndirgenmiş Soğutma Kanalı $b_k''$ nin Değeri.....	15
Şekil 1.12 Muhtelif Saç Nevileri İçin Özgül Kaybin Frekansa Bağlı Olarak Değişimi.....	19
Şekil 1.13 $\beta$ 'nın $b_0/\delta$ 'ya bağlı olarak Richtere göre değerleri.....	19
Şekil 1.14 1. Makina Modeline İlişkin Rotor Oluk Şekli.....	21
Şekil 1.15 Kısa Devre Kafesli Rotorun Bobin Başı Dağılmasının Tayininde Faydalanan $g_{bb}$ faktörü.....	24
Şekil 1.16 2. Makina Modeline İlişkin Rotor Oluk Şekli.....	28
Şekil 1.17 3. Makina Modeline İlişkin Rotor Oluk Şekli.....	34
Şekil 1.18 4. Makina Modeline İlişkin Rotor Oluk Şekli.....	41
Şekil 1.19 5. Makina Modeline İlişkin Rotor Oluk Şekli.....	47
Şekil 1.20 6. Makina Modeline İlişkin Rotor Oluk Şekli.....	53
Şekil 1.21 7. Makina Modeline İlişkin Rotor Oluk Şekli.....	59
Şekil 1.22 Asenkron Motorların Hava ve Yatak Sürünme ve Kayıpları.....	66

## TABLO LİSTESİ

## Sayfa No

Tablo 1.1 En Önemli Saç Nevilerinin Materyal Sabitleri.....	11
Tablo 1.2 Üç Fazlı Sargılarda Hava Aralığı Dağılmasının Hesabında Yararlanılan Katsayısının Muhtelif Kırışleme ( $y/\tau_p$ ) ve $q$ Oluk Sayılarındaki Değerleri	16
Tablo 1.3 Çeşitli Makina Modellerinin Performanslarına Ait Büyüklüklerin Klasik Yöntemle Hesaplanan Değerleri.....	87
Tablo 2.1 INDAN Programıyla Hesaplanan 1. Makina Modeline Ait Değerler.....	90
Tablo 2.2 INDAN Programıyla Hesaplanan 2. Makina Modeline Ait Değerler.....	90
Tablo 2.3 INDAN Programıyla Hesaplanan 3. Makina Modeline Ait Değerler.....	91
Tablo 2.4 INDAN Programıyla Hesaplanan 4. Makina Modeline Ait Değerler.....	91
Tablo 2.5 INDAN Programıyla Hesaplanan 5. Makina Modeline Ait Değerler.....	92
Tablo 2.6 INDAN Programıyla Hesaplanan 6. Makina Modeline Ait Değerler.....	92
Tablo 2.7 INDAN Programıyla Hesaplanan 7. Makina Modeline Ait Değerler.....	93
Tablo 2.8 1. Makina Modeline Ait Performansların INDAN Programıyla Hesaplanan Değerleri.....	94
Tablo 2.9 2. Makina Modeline Ait Performansların INDAN Programıyla Hesaplanan Değerleri.....	95
Tablo 2.10 3. Makina Modeline Ait Performansların INDAN Programıyla Hesaplanan Değerleri.....	95
Tablo 2.11 4. Makina Modeline Ait Performansların INDAN Programıyla Hesaplanan Değerleri.....	96
Tablo 2.12 5. Makina Modeline Ait Performansların INDAN Programıyla Hesaplanan Değerleri.....	96
Tablo 2.13 6. Makina Modeline Ait Performansların INDAN Programıyla Hesaplanan Değerleri.....	97
Tablo 2.14 7. Makina Modeline Ait Performansların INDAN Programıyla Hesaplanan Değerleri.....	97
Tablo 3.1 Çeşitli Rotor Oluk Şekillerine Sahip Makinaların Eşdeğer Devre Parametrelerinin Karşılaştırılması.....	99
Tablo 4.1 Tüm Makina Modellerinin Motor Büyüklüklerinin % 100 Yüklenme Durumu için INDAN Programıyla Hesaplanan Değerleri.....	100

## SUMMARY

### ANALYSIS OF THE EFFECTS OF SHAPE AND DISTANCE BETWEEN CAGES OF A ROTOR OF AN ASYNCHRONOUS MACHINE BY CLASSICAL METHOD AND INDAN COMPUTER PROGRAM

Asynchronous motors are widely used motors in industry because of their being cheap and easy repair. By developments in electronic devices provides easier control. As the number increase, construction takes an important part for the manufacturers. In engineering world, one of the aim is to decrease the loses in machines. In order to be successful; first of all; it has to be found where the loses are much and the reasons of them.

In this study first of all seven kinds of short circuited asynchronous motors are modelled. And their results are listed by the classical method."(1) in this method; the rotor surface kept constant but the shapes are changed. Then the distance between the rotor cages are changed. In order to see the effects of the changes in shape and the distance between the cages.

In the next section; the same shapes are examined by the help of INDAN - Induction Motor Analysis - computer program and then their results are compared. INDAN Induction Motor Analysis program , as indicated above, is a program to be used induction motor analysis. All the file names that are suitable for DOS can be given but it is recommended to use filenames that are shown as follows.

For example; 500-6.001 Here 500 is; the motor power in kW, 6 is the pole number and 001 is the numer of the project.

New datas are entered by changing the previous datas. For this; it is necessary to copy the old file to another one. For example Z<sub>1</sub> is called old file.

If INPUT DEMO.INP Z<sub>1</sub> is entered; datas can be seen in demo and asked what the new data is.

If INPUT <File Name> is entered datas in that file can be seen but these datas can not be changed . If RUN <File Name> is entered; stator and rotor slot can be seen in the screen. Instead of using RUN command; if PLOTPRN command is used then these can be plotted.

COPYPRN <File Name> command plots all the p,outputs but doesn't give an information about them.

The questions that are asked to be answered to get the motor parameters are also given in this study.

The points that are important are as follows. All the powers are in kW; and lengths are in mm. if the ventilation is axial, the number of cooling channels and the width of them are entered 0. Data are only valid for radial ventilation.

The conductors length and the added-resistance pu data may not be entered because program can calculate these automatically.

120 ° C is recommended to enter as reference stator temperature and 180° C for the rotor. Stator winding code can be entered 1,2 or 3 according to the model. 1 is used for two layer winding in one slot, 2 is used for two layer winding at the top of the slot and 3 is used for two layer winding at the bottom of the winding.

The depth of the rotor slot is entered in mm., as it is in stator slot, from bottom to the top of the slot and if the slot circular then the taper depth is entered 0.

Rotor winding code can be entered as 1,2,3,4 according to the type of the rotor slot.

In both methods classical and INDAN program, it is seen that the various types of rotor slots have different effects on motor parameters. Although there is not so much differences among them; it is very important to select the suitable type. Generally it is recommended to use double cage rotor slots, circular at the top, rectangular at bottom. But in order to get a high torque; it is necessary to use double cage not only one cage.

In calculation period, it is seen that when the rotor resistance is decreased, is  $X_m$  increases. On the other hand. When the resistance decreases, the loses in rotor decreases which results in an increase in efficiency.

It is a good point, that when the length in the cages in rotor slots is increased, pull-up current decreases. The other point is that the magnetising currents are very important. Although the results gives the same meanings; it can be seen that the results are different for the same type of slots. Which from using magnetising curves. This not only effects  $I_\mu$  and changes  $X_m$  but also changes the rotor current. When the rotor current changes, the loses and the efficiency also changes.  $I_\mu$  effects E and this results in change in rotor current and also in slip.

Although classical method is along way and takes a very long time; lots of datas can be get. But in order to get the results in a very short time and if there is no need for the detailed datas. To use INDAN can be recommended. Another detailed of INDAN is that parameters at different load points can be get.

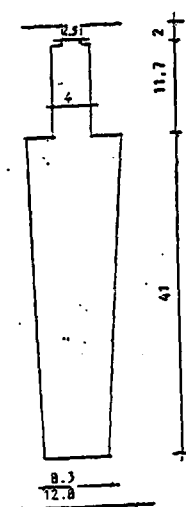
In classical method stator winding is choosen as two layer winding because it is much easier to pitch and in the result the harmonics that are harmful can be eliminated. This is one of the advantages of a two layer winding. The other advantage is that; in that kind of winding radial height of top of the winding is less than the other kind. As a result of this; the losses are less than one layer winding.

If the air gap induction curve is in Sin form,  $\phi$ , magnetic flags can be calculated easily. By using this, also the value of induction curve  $B_s$  and the number of winding can be found. After that, if the winding number is not suitable by following same way the suitable one can be obtain.

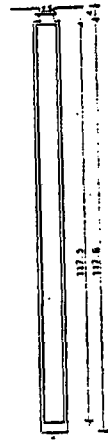
The losses when the motor is not loaded incluse the iron losses and the friction losses. On the other hand the losses when the motor is loaded consist of the copper losses. The iron losses very important as it can be seen in calculations in classical method. That is because in stator network frequency and in rotor slip frequnecy takes an important part. How to obtain the values of these are shown in the next chapter. Friction losses mostly depend on the manufacturing and the ventilation of the motor. If the speed of the motor is low and the pole number is too many. These losses are generally 0.2 % or 0.3 % of the active power. This rate is 1.5 % for high speed and the motors that do not have so many poles. The copper losses is about 1 % of the active power and changes with the square of the current.

In construction of an asynchronus machine it is very important to choose the width of air gap for safety. If the width is choosen small the air gap induction increases. On the other hand if it is large enough iron losses decreases but has bad effects on magnetising current and power factor. It doesn't effect efficiency. Altough air gap induction  $B_s$  generally takes values between 0.7 and 0.9 Tesla; it is choosen 1. Tesla at the beginning as it is done in INDAN.

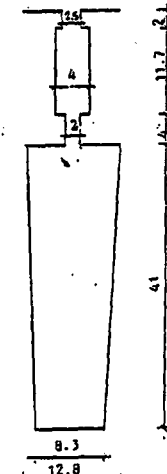
As it is mention above in this study seven kinds of rotors slots are examined according to their parameters and performances. The types of rotor slots are shown as follows.



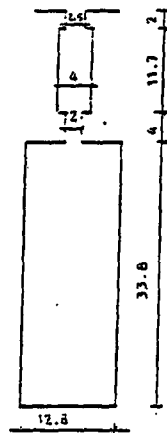
MODEL 1



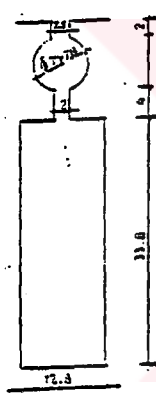
MODEL 2



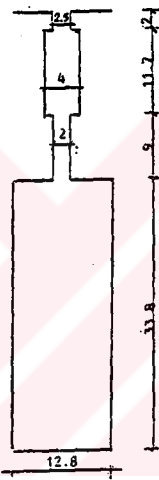
MODEL 3



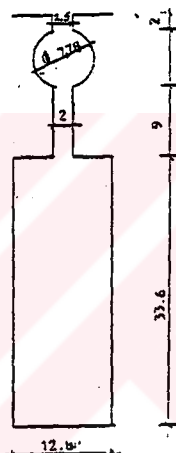
MODEL 4



MODEL 5



MODEL 6



MODEL 7

As a conclusion, the following results can be given;  
when the width of air gap increases the iron losses decreases in both methods  
and also in INDAN the rotor resistances decrease. This is so small that in  
classical method; it can't be observed easily. As the depth of rotor slot  
increases the value of rotor reactance decreases;  $X_m$  increases and  $I_\mu$  decreases.  
These values can be obtained more accurately in the models which has to  
cages that has round top bar.

When the distance between the cages increase; in both methods, it can be seen  
that torque decreases but load current increases. It doesn't effect efficiency; but  
small decreases may be seen.

**When all the models are compared choosing the models which has a round top cages is an advantage but the best way is to make a selection according to the aim.**



## **GİRİŞ**

Endüstride en çok kullanılan makinalardan biri de “Asenkron Makina”lardır. Bunlar ; sincap kafesli (veya kısa devre kafesli) ve bilezikli asenkron makinalar adları altında karşımıza çıkmaktadır.

Sincap kafesli asenkron makinalar, bilezikli makinalara göre daha kullanışlı, daha ekonomik olduklarından; kullanım sahaları daha genişdir. Ayrıca bakım - onarım ihtiyaçları da azdır. Hal böyle iken işletme aşamasında tüm bu olumlu özellikler, eğer uygun kafes yapısı seçilmez ise önemini yitirebilmektedir. Çünkü kafes yapıları, kafesler arasındaki uzaklıklar makina performansı üzerinde önemli etkilere sahiptir.

Çalışmanın 1. Bölümünde plaka değerleri verilen bir asenkron makinanın klasik yöntemle hesabı yapılmıştır. Aynı bölümün birinci kısmında stator değerleri hesaplanmış ikinci kısmında ise çeşitli rotor oluk şekilleri için bunlara ait değerler bulunmuştur. İkinci bölümde ise INDAN hazır paket programı kullanılarak aynı plaka değerlerine sahip makina için stator ve rotor değerleri hesaplanmış ve buna ilave olarak rotor oluk şekillerinin resimleri konulmuştur. Üç ve dördüncü bölümlerde de bulunan bu sonuçlar tablo halinde verilmiştir. Bu program yardımıyla makinanın optimizasyonu da yapılabilir. Komutlarda herhangi bir farklılık yoktur. Makina optimizasyonu yapabilmek için gerekli olan birim fiyatlar ve kullanılan formüller değişebileceğinden hesaplar burada gösterilmemiştir.

Bu çalışmada çift kafesli ve demir oluk şekillereri ile kafes olukları arasındaki mesafenin makina büyülükleri üzerindeki etkilerinin incelenmesi hem klasik yöntemle hem de INDAN bilgisayar programı ile aynı ayrı yapılmış ve sonuçları karşılaştırılmıştır.

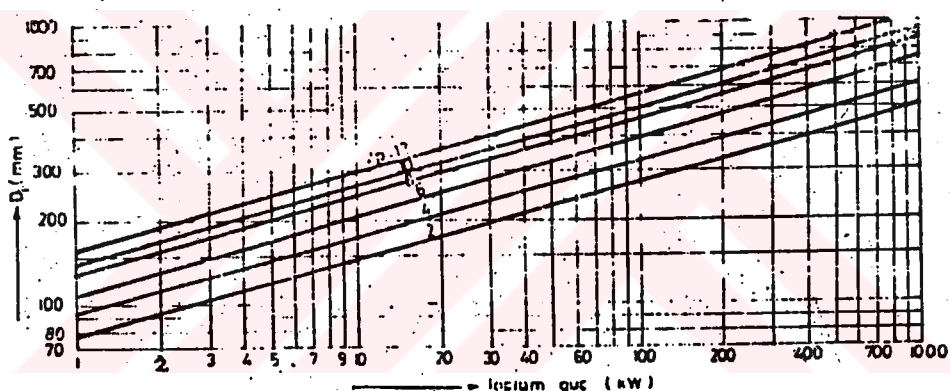
## 1. BÖLÜM Plaka Değerleri Belirli Bir Asenkron Makinanın Klasik Yöntem İle Büyüklüklerinin Belirlenmesi.

### 1.1 Plaka Değeri 500 kW , 4000 V , 50 Hz , 1000 d/d olan Kısa Devre Kafesli Asenkron Motorun Klasik Yöntemle Hesabı [1]

610 kVA, 500 kW 4000 V, 50 Hz, 6 kutuplu kısa devre asenkron motorun stator değerleri;

Asenkron motorun ana boyutları ; stator iç çapı  $D_i$  ile stator saç paketinin fiktif uzunluğu  $L_i$ 'dir. Motorun gücü 500 kW ve çift kutup sayısı 6 olduğuna göre,

Şekil 1.1'den  $D_i = 600$  mm seçilir.



Şekil 1.1 2 ile 12 kutuplu asenkron makinalar için stator iç çapının makina gücüne bağlı olarak değişimi

C, Esson güç katsayısı olup; buna aynı zamanda faydalananma katsayısı da denir. Makinanın birim zamanda alınabilecek enerjiyi vermektedir ki; bu malzemeden de ne derecede faydalandığını gösterir.

Buna göre kutup taksimatı,

$$\tau_p = \frac{\pi D_i}{2p} = \frac{\pi 600}{6} = 31,41 \text{ cm}$$

ve makinanın kutup başına isabet eden gücü

$$\frac{P}{2p} = \frac{500 \text{ kW}}{6} = 83,3 \text{ kW}$$

Statorda 10 mm. genişliğinde 9 adet soğuma kanalı bulunacaktır.  $Z_k=9$ ,  $b_k=10$  mm olduğundan

$$L_{Topl} = L_i + Z_k \cdot b_k = 403,5 + 9 \times 10 = 493,5 \text{ mm}$$

Kontrol için Nürnberg'in hava aralığı genişliğinin seçimine ilişkin 30 kW'ın üstündeki orta ve büyük makinalar için verdiği denklem kullanılacak olursa;

$$\delta = \frac{D_i}{1200} \times \left(1 + \frac{9}{2p}\right) \quad [\text{mm}] = \frac{600}{1200} \left(1 + \frac{9}{2}\right) = 1,25 \text{ mm}$$

bulunur. Seçilen değer 1,3 mm uygundur.

Asenkron motorlarda statorun kutup ve faz başına tam oluklu olarak donatılması uygun olur; çünkü kesirli oluklu sargı kullanılmamasında makinanın çalışması sakin olmaz.

Makinanın bir kutup altındaki faz başına oluk sayısı  $q_1=4$  olacaktır. Buna göre toplam oluk sayısı

$$N_1 = 2 \times p \times q_1 \times m_1 = 2 \times 3 \times 3 \times 4 = 72 \text{ oluk}$$

Oluk adımı  $\tau_{01}$ ,

$$\tau_{01} = \frac{D_i \times \pi}{n_1} = \frac{60 \times \pi}{72} = 2,618 \text{ cm}$$

Statorun nominal akımı,

$$S = \sqrt{3}UI \Rightarrow 610 \times 10^3 = \sqrt{3} \times 4000 \times I_{IN} \Rightarrow I_{IN} = 88 \text{ A} \text{ bulunur.}$$

Aşenkron makinalarda stator sargıları 100 kW'a kadar bir tabakalı el sargıları olarak, 100 kW'ın üstünde 4000 kW'a kadar ise iki tabakalı olarak yapırlar. Örnek makina gücü 500 kW olduğundan iki tabakalı sargı kullanılacaktır.

Alternatif akım sargılarında, hava aralığındaki akının tam sinüs biçimli olduğu, bobinlerde endüklenen gerilimlerin cebirsel toplamının alındığı ideal durumlarda, bobinler bir çap doğrultusunda yerleştirilirse bir sargıda endüklenen toplam gerilim maksimum değerini alır. Fakat pratikte bu ideal durumdaki sonuçlar kullanılmazlar. Sonuçların gerçeğe yakın yaklaşılması gerekeceğinden bu şartları temsilen hesaba sargı faktörü katılır.

Endüvi çevresine yayılmış olan bobinlerin oluşturduğu sargının toplam etkisinin hesabı yapılırken, bobin yanlarının aralarındaki faz farkının etkisini ifade etmek için sargı yayılma faktörü ( $\xi_y$ ) kullanılır.

Bazı durumlarda belirli harmonikleri yok etmek için ya da azaltmak için bobinler çap boyunca yerleştirilmez. Bu durumda bobinlerin toplam gerilimlerinin cebirsel toplamına eşit olmayacağı gözönüne alınarak sargı kırışleme faktörü ( $\xi_k$ ) kullanılır.

Toplam sargı faktörü, sargı yayılma ve sargı kırışleme faktörünün çarpımıdır.

$$\xi_s = \xi_y \times \xi_k$$

v. harmonik için sargı yayılma faktörü;

$$\xi_{yy} = \frac{\sin q \times v \times \frac{\gamma_{el}}{2}}{q \times \sin v \times \frac{\gamma_{el}}{2}} \text{ dir.}$$

1. Harmonik için aynı eşitliği yazacak olursak

$$\xi_{y1} = \frac{\sin 4 \times 1 \times \frac{15}{2}}{4 \times \sin 1 \times \frac{15}{2}} = \frac{0,5}{0,522} = 0,957 \text{ bulunur.}$$

Burada  $\gamma_{el}$ , statorda birbirini izleyen iki oluk arasındaki elektriksel açı olup

$$\gamma_{el} = p \times \gamma_{geo}$$

$$\gamma_{geo} = \frac{360}{N} = \frac{360}{72} = 5^\circ$$

$$\gamma_{el} = 3 \times 5 = 15 \text{ bulunur.}$$

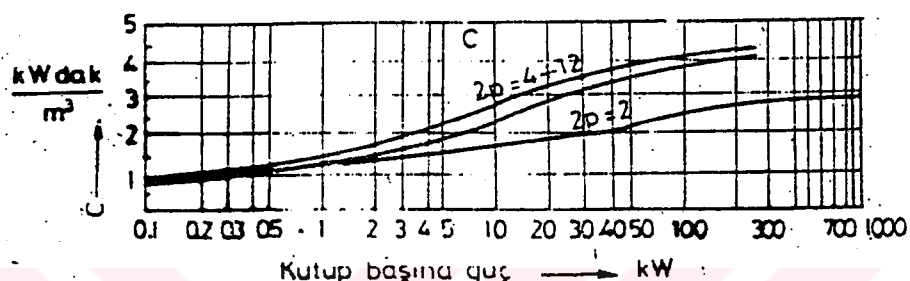
Ana boyut denklemi,

$$P_i = C \times D_i^2 \times L_i \times n \text{ dir.}$$

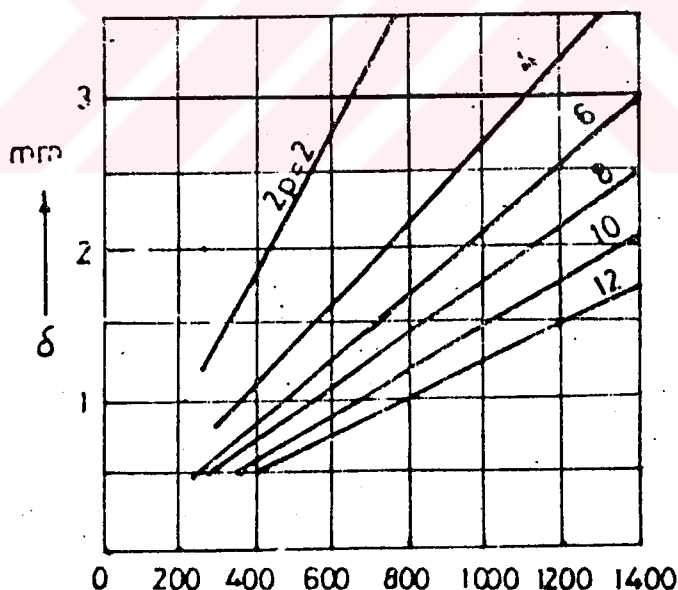
Makinanın fiktif endüvi uzunluğu

$$L_i = \frac{P_i}{C \cdot D_i \cdot n} = \frac{610}{0,6^2 \times 4,199 \times 1000} = 0,4035 \text{ m bulunur.}$$

Gerçek stator saç paketinin toplam uzunluğu  $L_{Topi}$ ; fiktif saç paketi uzunluğu  $L_i$ ' den büyüktür. Şekil 1.2' den  $C = 4,199 \text{ kWdak/m}^3$ ,  $2p = 6$ ,  $D_i = 60 \text{ cm}$ . için şekil 1.3'den  $\delta$  hava aralığı genişliği 1,3 mm. olmalıdır.



Şekil 1.2 Yüksek devirli asenkron motorlarda kutup başına güçün fonksiyonu olarak C faydalananma katsayısı



Şekil 1.3 Asenkron motorların iç çapa bağlı olarak δ hava aralığı

Statorda iki tabakalı ve her bir kutupta faz başına  $q_1 = 4$  oluğu bulunan ve kırışleme oranı  $y/\tau_p = 10/12$  olan kırışlenmiş bir sargı için,

$$\beta = \left(1 - \frac{y}{\tau_p}\right) \times 180 = \left(1 - \frac{10}{12}\right) \times 180 = 30^\circ$$

1. harmonik kirişleme faktörü

$$\xi_1 = \cos \frac{\beta_1}{2} = 0,966 \text{ bulunur.}$$

Toplam sargı faktörü

$$\xi_s = \xi_{sp1} \times \xi_{sk1} = 0,966 \times 0,957 = 0,924 \text{ elde olunur.}$$

Sinüs formundaki alan genliği  $B_{\delta I} = 0,9 \text{ T}$  olarak alınsin.  $\phi$  akısı  $\phi = B_{\delta} \cdot \alpha_i \cdot \tau_p \cdot L_i$  için doyma faktörü  $k_d = 1,5$  olarak tahmin edilsin.

Buna göre  $\alpha_i$ , şekil 1.4'den 0,74 yine aynı eğriden form faktörü ( $k_{fl}$ ) ise 0,97 olarak seçilir.



Şekil 1.4 Asenkron motora ait  $\alpha_1 = f(k_d)$  ve  $k_{fl}$  eğrileri

Şu halde akı;

$$\phi = B_{\delta} \times \alpha_i \times \tau_p \times L_i = 0,8 \times 0,74 \times 0,3141 \times 0,4035$$

$$\phi = 0,075 \text{ Wb}'dır.$$

$$E_1 = U_1 \times \frac{1}{1 + \sigma_1}$$

$\sigma_1 = I_\mu \frac{X_{1\sigma}}{E_1}$  olup buna Heyland dağılıma faktörü denilir. Hava aralığı endüksiyon eğrisinin sinüs biçiminde olması halinde  $\phi$  magnetik akısı tarafından stator sargasının her bir fazında endüklenen emk'nın efektif değeri ;  
 $E_1 = 4,44 \cdot f_1 \cdot w_1 \cdot \xi_s \cdot \phi$  [V]

Heyland dağılıma faktörünün değerleri, şekil 1.5'te normal makinalar için kutup sayısı p'nin fonksiyonu olarak verilmiştir.



Şekil 1.5 Normal asenkron makinaların kutup sayısının fonksiyonu olarak  $1/(1+\sigma_1)$  değerleri

$2p = 6$  için  $\frac{1}{1+\sigma_1} = 0,962$  olarak seçilir.

$$E_1 = \frac{4000}{\sqrt{3}} \cdot 0,962 = 2221,64 \text{ V}$$

Stator sargısının faz başına sarım sayısı

$$w_1 = \frac{E_1}{4,44 \times f_1 \times k_{f1} \times \xi_s \times \phi} = \frac{2221,64}{4,44 \times 50 \times 0,97 \times 0,924 \times 0,075}$$

$$w_1 = 148,814 \text{ sarım}$$

Bulunan sonuca göre uygulanabilir sarım sayısı  $w_1 = 144$  sarım / faz'dır.

Bu sarım sayısı alındığında başta kabul edilen  $B_8$  hava aralığı akısı değeri değişecektir.

$$B_\delta = \frac{0,8 \times 148,814}{144} = 0,826 \text{ T} \quad \text{ve}$$

$$\phi = \frac{148,814}{144} \times 0,075 = 0,0775 \text{ Weber}$$

Her bir fazın stator oluklarındaki toplam iletken sayısı da

$$Z_1 = 2 \cdot m_1 \cdot w_1 = 2 \times 3 \times 144 = 864 \text{ olur.}$$

Bu durumda dtatorun özgül-amper iletken sayısı veya çevre akım yoğunluğu

$$A_1 = \frac{Z_1 \times I_{1N}}{\pi \times D_i} = \frac{864 \times 88}{\pi \times 60} = 403,62 \text{ A / cm}$$

Statordaki oluk başına iletken sayısı;

$$\frac{Z_1}{N_1} = \frac{864}{72} = 12 \text{ olur.}$$

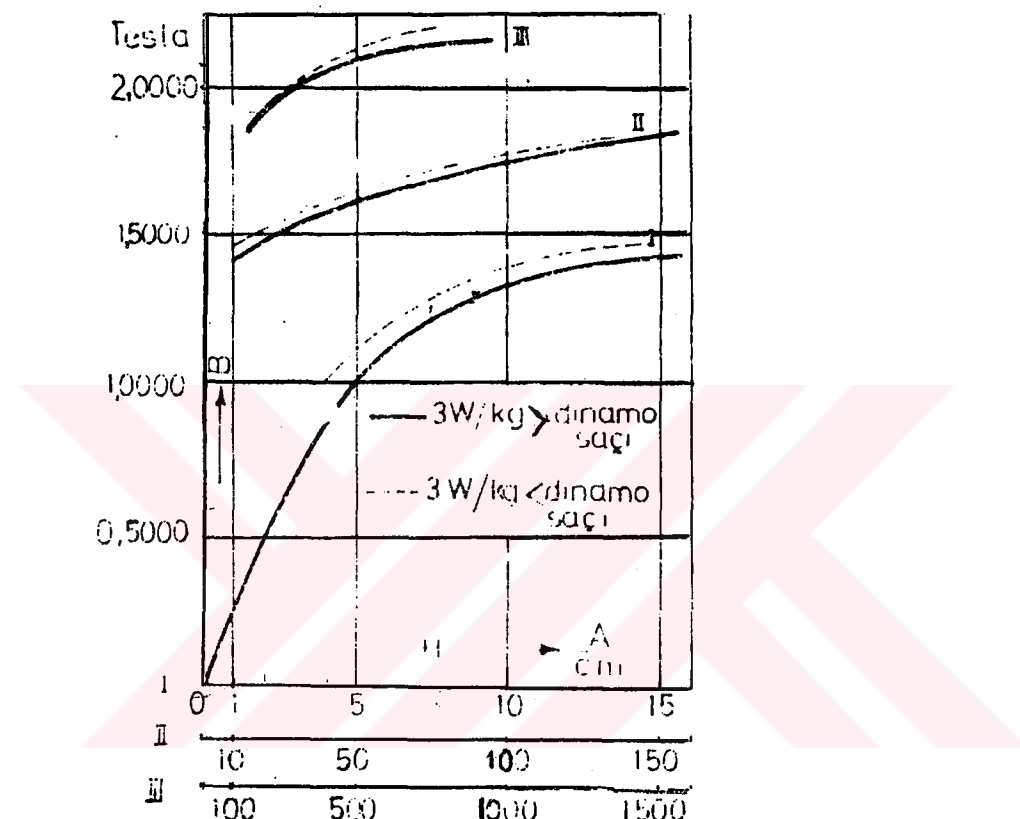
Sarım başına gerilim;

$$\frac{U_1}{w_1} = \frac{4000}{\sqrt{3}} \cdot \frac{1}{144} = 16,05 \text{ V}$$

Ağzı açık oluklu, 2 paralel devreden imal edilecek olan stator oluğunda iletkenler  $7,6 \times 1,81 \text{ mm}^2 = 13,756 \text{ mm}^2$  kesitinde olacaktır. Buna göre oluk boyutları;

<u>Genişlik:</u>	İletken	$7,6 \times 1 = 7,6 \text{ mm}$
	oynaklık	$= 0,4 \text{ mm}$
	ara yalıtkan	$= 0,2 \text{ mm}$
	ana yalıtkan	$= 3,3 \text{ mm}$
	$b_0$	$= 11,5 \text{ mm}$ bulunur.

Derinlik; İletken  $1,81 \times 24 = 43,44$  mm  
 bobin sonu ana y. = 3,3 mm  
 oluk sonu ana y. = 3,3 mm  
 oluk sonu boşluğu = 10 mm  
 oynaklık = 0,8 mm  
 $h_{01} = 63$  mm bulunur.



Şekil 1.6 Mıknatışlanma eğrileri

Stator olukları için bulunmuş olan genişlik ve derinlik değerleri  $h_{01}/b_{01}$  için öngörülen 3 ile 5,5 arasında olma koşulunu sağladığı için uygun değerlerdir.

Hesaplanan stator boyutlarına göre stator dış endüksiyonları bulunacak olursa;

$$b_{dl\min} = \frac{\pi}{72}(60 + 0,6) - 1,15 = 1,5 \text{ cm}$$

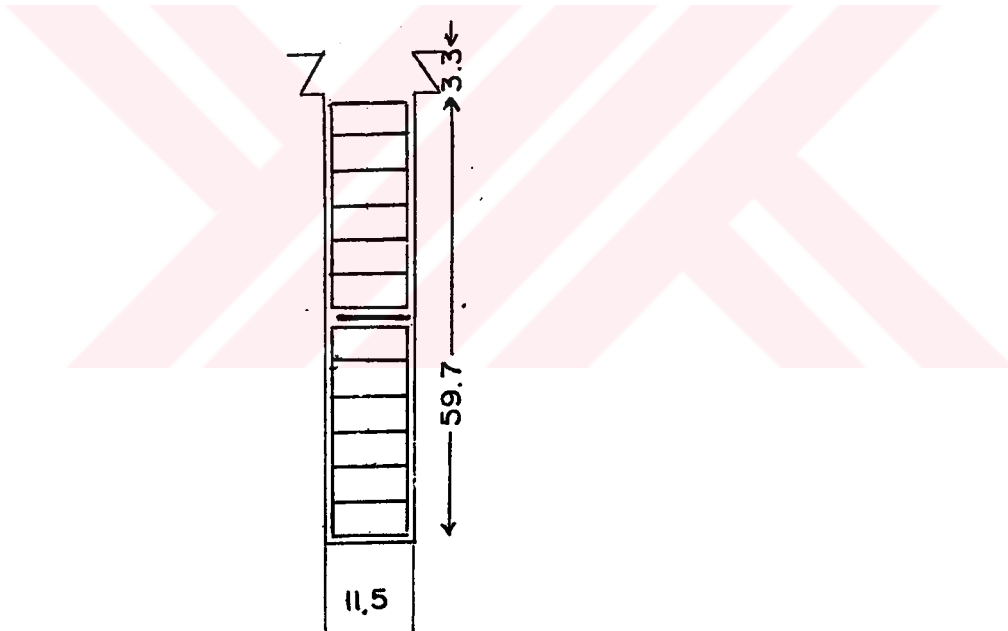
$$b_{dl\text{ort}} = \frac{\pi}{72}(60 + 0,3) - 1,15 = 1,742 \text{ cm}$$

$$b_{dl\max} = \frac{\pi}{72}(60 + 12,6) - 1,15 = 2,01 \text{ cm}$$

$$B_{dl\max} = \frac{L_i \cdot \tau_{01}}{k_{fe} \cdot L_{Topl} \cdot b_{dl\min}} \cdot B_\delta \cdot (1 + \sigma_1) = \frac{0,4035 \times 0,02618 \times 0,826 \times (1 + 0,0395)}{0,97 \times 0,4935 \times 0,015} = 1,263 \text{ T}$$

$$B_{dl\text{ort}} = \frac{L_i \cdot \tau_{01}}{k_{fe} \cdot L_{Topl} \cdot b_{dl\text{ort}}} \cdot B_\delta \cdot (1 + \frac{2}{3} \sigma_1) = \frac{0,4035 \times 0,02618 \times 0,826 \times (1 + 0,026)}{0,97 \times 0,4935 \times 0,015} = 1,0735 \text{ T}$$

$$B_{dl\min} = \frac{L_i \cdot \tau_{01}}{k_{fe} \cdot L_{Topl} \cdot b_{dl\max}} \cdot B_\delta \cdot (1 + \frac{1}{3} \sigma_1) = \frac{0,4035 \times 0,02618 \times 0,826 \times (1 + 0,013)}{0,97 \times 0,4935 \times 0,015} = 0,9186 \text{ T}$$



Şekil 1.7 Bobin yanlarının oluğa yerleştirilmiş hali

Rotor boyunduruğunun kısmi magnetik gerilimi şekil 1.6'dan bu endüksiyon değerleri için  $H_{dl\max}=7,5 \text{ A/cm}$ ;  $H_{dl\text{ort}}=5 \text{ A/cm}$ ;  $H_{dl\min}=4,5 \text{ A/cm}$  bulunur.

Simpson kuralına göre ortalama alan şiddeti;

$$H_{d1} = \frac{H_{d1\max} + H_{d1\min} + 4H_{d1\text{ort}}}{6} = \frac{7,5 + 4,5 + 20}{6} = 5,333 \text{ A/cm}$$

Stator dışlarındeki magnetik gerilim,

$$2V_{d1} = 2 \cdot I_{d1} \cdot H_{d1} = 2 \times 6,3 \times 5,333 = 67,2 \text{ A}$$

$B_{j1} = 1,168 \text{ T}$  alındığında, stator boyunduruk yüksekliği ( $h_{j1}$ )

$$h_{j1} = \frac{\phi(1 + \sigma_1)}{2 \cdot k_{fe} \cdot L \cdot B_{d1}} = \frac{0,0775 \times 1,039}{2 \times 0,97 \times 0,4935 \times 1,168} = 7,2 \text{ cm}$$

Stator dış çapı

$$D_{ds} = D_i + 2 \cdot h_{01} + 2 \cdot h_{j1} = 60 + 2 \times 6,3 + 2 \times 7,2 = 87 \text{ cm} \text{ bulunur.}$$

Stator dış ağırlığı

$$\begin{aligned} G_{d1} &= \left[ \pi \left( \frac{D_i + 2h_{01}}{2} \right)^2 - \pi \left( \frac{D_i}{2} \right)^2 - N_1 \times h_{01} \times b_{01} \right] \times k_{fe} \times L_i \times \gamma_{fe} \times 10^{-3} \\ G_{d1} &= \left[ \pi \left( \frac{60 + 2 \times 6,3}{2} \right)^2 - \pi \left( \frac{60}{2} \right)^2 - 72 \times 6,3 \times 1,15 \right] \times 0,97 \times 40,35 \times 7,885 \times 10^{-3} \\ G_{d1} &= 244 \text{ kg} \end{aligned}$$

Stator boyunduruk ağırlığı

$$G_{j1} = \gamma_{fe} \times k_{fe} \times L_i \times \left[ \left( \frac{D_{ds}}{2} \right)^2 - \left( \frac{D_i + 2h_{01}}{2} \right)^2 \right] \times \pi \times 10^{-3}$$

$$G_{j1} = 7,88 \times 40,35 \times 0,97 \times \left[ \left( \frac{87}{2} \right)^2 - \left( \frac{60 + 2 \times 6,3}{2} \right)^2 \right] \times \pi \times 10^{-3}$$

$$G_{j1} = 556,7 \text{ kg}$$

Stator saç paketindeki pulzasyon kayıpları

$$P_{kp1} = \frac{k_p}{2} \times \sigma_w \times \frac{1}{36} \times \left( \frac{N_2 \times n}{10000} \times \frac{B_{p1}}{0,1} \right)^2 \times G_{d1} [\text{W}]$$

Buradaki  $N_2 \cdot n$ , stator dışlarındeki pulzasyon frekansına eşittir.  $\sigma_w$ , metal sabitesi olup; saçın  $\Delta$  kalınlığına bağlıdır. Çeşitli saç tipleri için değerler tablo 1.1 'de verilmiştir.  $k_p$ , saçların işlenmesinden dolayı Foucault kayıplarındaki artmayı gösteren bir faktör olup; 1,8 ile 2,00 arasında

değişmektektir. Hesaplara 1,9 olarak katılacaktır.  $B_p$  ise endüksiyon pulzasyonunun genliğidir.

Tablo 1.1 En önemli saç nevilerinin matriyal sabiteleri

Saç Nevileri (DIN 46400)		$\Delta$ mm	$p_1$ W/kg	$p_h \cdot p_1$ ( $\times 100$ )	$p_w/p_1$ ( $\times 100$ )	$\sigma_H$	$\sigma_w$	$\sigma_w = \sigma_w \cdot \Delta^2$
I	3,6	0,5	3,6	66,7	33,3	4,8	19,2	4,8
II	3,0	0,5	3,0	78,3	21,7	4,7	10,4	2,6
III	2,3	0,5	2,3	82,5	17,5	3,8	6,4	1,6
IV	1,7	0,5	1,7	83,8	16,2	2,85	4,4	1,1

$$\gamma_2 = \frac{\left(\frac{a_{02}}{\delta}\right)^2}{5 + \left(\frac{a_{02}}{\delta}\right)} = \frac{\left(\frac{0,25}{0,13}\right)^2}{5 + \left(\frac{0,25}{0,13}\right)} = \frac{3,698}{6,923} = 0,534$$

$$B_{p1} = \frac{\gamma_2 \cdot \delta \cdot B_{d1ort}}{2 \cdot \tau_{01}} = \frac{0,534 \times 0,13 \times 1,0735}{2 \times 2,618} = 0,0142$$

$P_{kp1}$  denkleminde  $k_p=0,9$ ;  $\sigma_w = 1,6$ ;  $G_{dl} = 244$  kg olup; bu değerler yerine konursa

$$P_{kp1} = \frac{1,9}{2} \times 1,6 \times \frac{1}{36} \times \left( \frac{58 \times 1000}{10000} \times \frac{0,0142}{0,1} \right)^2 \times 244 = 6,988 \quad W$$

Stator boyunduruğunu demir kaybı

$$p_{j1} = k \times \left[ k_{hb} \times \sigma_H \times \frac{f}{100} + k_{wb} \times \sigma_w \times \left( \frac{f}{100} \right)^2 \right] \times B_{j1}^2$$

Boyunduruktaki toplam demir kaybı, dışerde olduğu gibi, histerezis ve Foucault kayıplarından oluşmaktadır; değeri yukarıdaki bağıntıda hesap edilir. Burada k işleme faktörü olup; değeri 1,25 olarak alınacaktır.

$k_{hb}$  ve  $k_{wb}$ ; magnetik akının boyunduruk kesitine homojen olarak dağılmış olmasını gösteren tashih faktörleridir. Bunların değerleri; iç ve dış boyunduruk ve muhtelif çift kutup sayıları için stator boşluğu çapının boyunduruğun dış ve iç çapına bağlı olarak şekil 1.8 ve 1.9'da verilmiştir. Bu şekillerden  $k_{hb} = 1,05$ ;  $k_{wb} = 1,1$  olmak alınmıştır.

0,5 mm.  $p_1 = 3,5 \text{ W/kg}$  'lik bir saç için  $\sigma_H = 3,8$ ;  $\sigma_w = 1,6$  alınıp, boyunnduruk endüksiyonu  $B_{j1} = 1 \text{ T}$  olduğu gözönünde bulundurularak boyunduruğun özgül demir kaybı;

$$p_{j1} = 1,25 \times \left[ 1,05 \times 3,8 \times \frac{50}{100} + 1,1 \times 1,6 \times \left( \frac{50}{100} \right)^2 \right] \times 1^2$$

$$p_{j1} = 1,25 \times (1,995 + 0,44) = 3,04 \text{ W / kg}$$

Stator boyunduruğunun demir kaybı;

$$P_{j1} = p_{j1} \times G_{j1} = 3,04 \times 556,7 = 1692,368 \text{ W}$$

Bir iletkenin iletkenliği sargı sıcaklık derecesi arttıkça düşer.

Bunun ifadesi ise

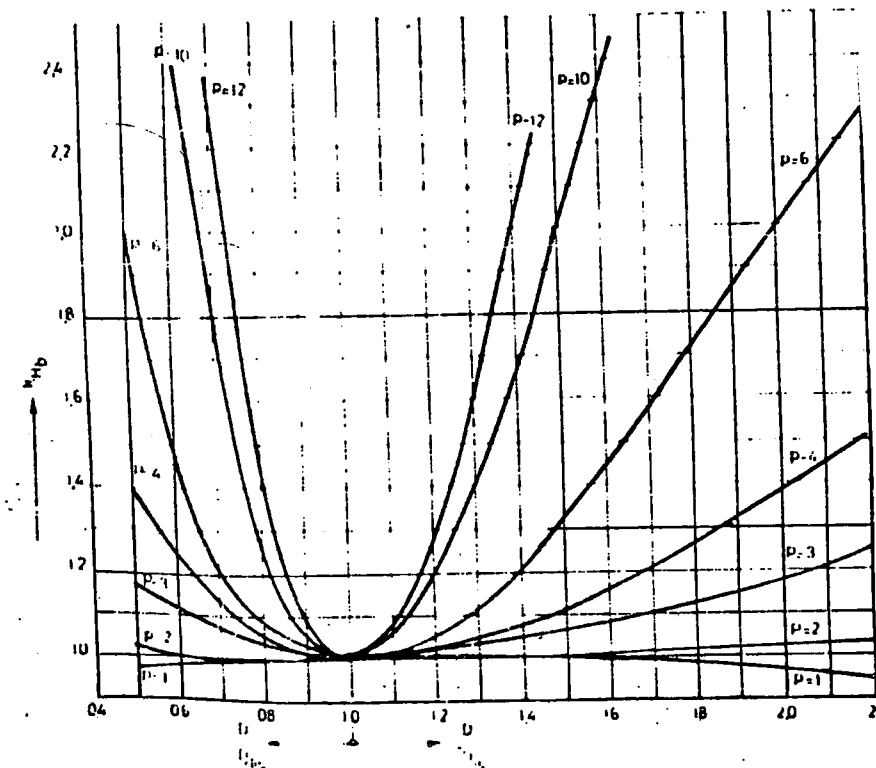
$$\lambda_t = \lambda_{20^\circ} \times \frac{20 + T}{t + T}$$

Bakır için  $T = 235$ ,  $\lambda_{20^\circ} = 57$ 'dir.

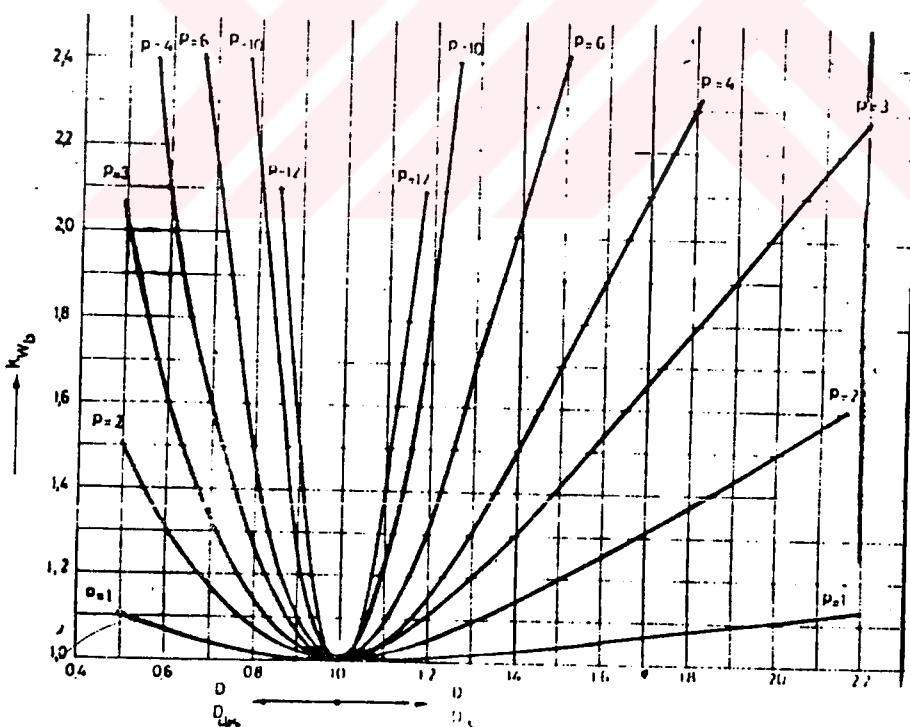
Stator referans sıcaklığı  $120^\circ$  alındığına göre bu sıcaklık için bakır iletkenliği

$$\lambda_{120^\circ} = 57 \times \frac{20 + 235}{120 + 235} = 40,943$$

$$\rho = \frac{1}{\lambda_{120^\circ}} = 0,0244$$



Şekil 1.8  $k_{hb}$  histerzis faktörünün değişik çift kutup sayıları için  $D/D_{dış}$  dolayısıyla  $D/D_{iç}$ 'e bağlı değerleri



Şekil 1.9  $k_{wb}$  Foucault akım faktörünün değişik çift kutup sayıları için  $D/D_{dış}$  dolayısıyla  $D/D_{iç}$ 'e bağlı değerleri

Ortalama iletken uzunluğu

$$L_{iletken} = l_{iletken} \cdot Z_1 = 864 \times 2,3585 = 2040,1$$

Stator sargısının ohmik direnci

$$R_1 = \frac{2040,1}{3 \times 2 \times 2 \times 7,6 \times 1,81} = 0,3 \quad \Omega$$

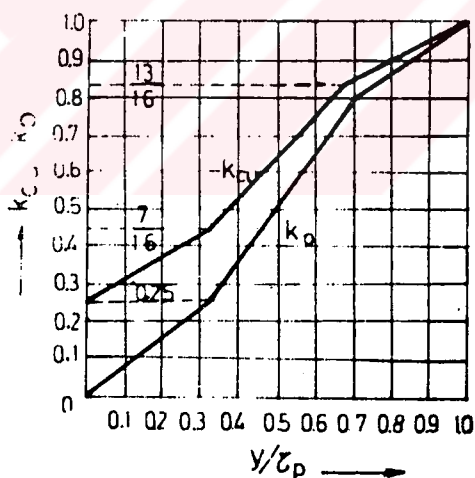
$$r_1 = 0,014$$

Stator reaktanslarının hesabı

Stator sargısının dağılma iletkenliği;

$$\Lambda_0 = \frac{l_{01}}{q} \left[ k_{cu} \frac{h_1}{3b_0} + k_0 \frac{h_2}{b_0} \right]$$

Burada  $k_{cu}$  ve  $k_0$  düzeltme faktörleri olup; şekil 1.10'da  $y/\tau_p$ 'ye göre değerleri verilmiştir.



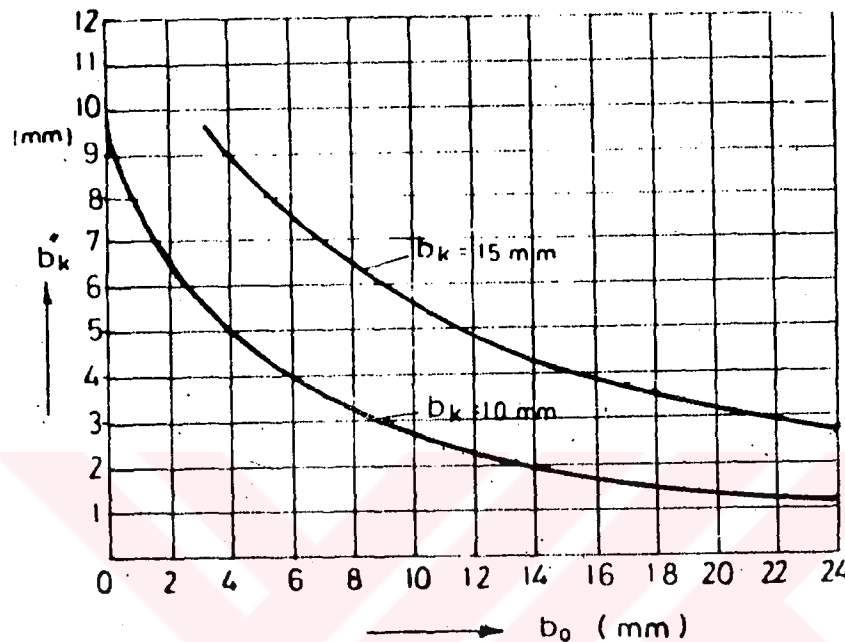
Şekil 1.10 Üç fazlı sargılarda  $y/\tau_p$  kırışlenmesine bağlı olmak üzere  $k_{cu}$  ve  $k_0$  düzeltme faktörleri

$y/\tau_p=10/12$  için  $k_0 = 0,88$ ;  $k_{cu} = 0,92$  dir.

$l_{01}$  fiktif stator uzunluğuudur ve

$$l_{01} = L_{Topl} - \sum b_k'' = 49,35 - 9 \times 0,25 = 47,1 \text{ cm}$$

$b_k''$  nün değeri  $b_0 = 11,5 \text{ mm}$  değeri için  $b_k = 10 \text{ mm}$ 'ye ait eğriden  $b_k'' = 2,5 \text{ mm}$  olarak şekil 1.11'den okunmuştur.



Şekil 1.11 Oluç genişliği  $b_0$ 'ya bağlı olarak indirgenmiş soğutma kanal genişliği  $b_k''$  nin değerleri

Şekil 1.6'dan  $h_1 = 95,7 \text{ mm}$ ,  $h_2 = 3,3 \text{ mm}$ ,  $b_0 = 11,5 \text{ mm}$  dir.

Buna göre

$$\Lambda_0 = \frac{47,1}{4} \left[ 0,92 \frac{5,97}{3 \times 1,15} + 0,88 \frac{0,33}{1,15} \right]$$

$$\Lambda_0 = 11,775 \times (1,592 + 0,252) = 21,71$$

Stator sargısının bobin başı dağılıma iletkenliği,

$$\Lambda_{bb1} = 0,43 \cdot l_{bb} \cdot \xi_s^2$$

$$l_{bb} = l_{cu} - l_{Topl}$$

Burada  $l_{cu}$  iletken uzunluğu olup,  $L_{Topl}$  ise saç paketinin cm cinsinden toplam uzunluğudur.

### Halkalanma reaktansı

$$\Lambda_{ha} = \tau_p \times L_t \times \frac{m_1}{\pi^2} \times \frac{K}{k_c \times k_d \times \delta}$$

Bu bağıntıda  $k_c$  Carter faktörü,  $k_d$  ise doyma faktörüdür. K değeri tablo 1.2'den  $y/\tau_p$  ve  $q$  değerine göre seçilecektir.

Tablo 1.2 Üç fazlı sargılarda hava aralığı dağılmasının hesabında  
yararlanılan K katsayısının muhtelif kırışlenme ( $y/\tau_p$ ) ve  $q$  oluk  
sayılarındaki değerleri

b	Üç Fazlı Sargılar						
q=2	$y/\tau_p$	1,0	0,835	0,66			
	K	0,0265	0,0205	0,0199			
q=3	$y/\tau_p$	1,0	0,89	0,78	0,66		
	K	0,0129	0,0103	0,0090	0,0097		
q=4	$y/\tau_p$	1,0	0,92	0,835	0,75	0,66	
	K	0,0082	0,0066	0,0055	0,0054	0,0061	

$q = 4$ ,  $y/\tau_p = 10 / 12$  için  $K = 0,004$  bulunur.

$k_c = k_{c1} \cdot k_{c2}$  dir.

$$k_{c1} = \frac{\tau_{01}}{\tau_{01} - \gamma_1 \cdot \delta} ; \quad \gamma_1 = \frac{3}{4} \cdot \frac{b_0}{\delta} - 1 = \frac{3}{4} \cdot \frac{1,15}{0,13} - 1 = 5,634$$

$$k_{c1} = \frac{2,618}{2,618 - 5,634 \times 0,13} = 1,388$$

$$\gamma_2 = \frac{3}{4} \cdot \frac{b_{02}}{\delta} - 1 = \frac{3}{4} \cdot \frac{0,25}{0,13} - 1 = 0,442$$

$$k_{c2} = \frac{3,249}{3,249 - 0,442 \times 0,13} = 1,018$$

$$k_c = k_{c1} \cdot k_{c2} \Rightarrow k_c = 1,413 \text{ bulunur.}$$

Buna göre;

$$\Lambda_{ha} = 31,41 \times 41,8 \times \frac{3}{\pi^2} \times \frac{0,004}{1,413 \times 1,5 \times 0,13} = 5,79$$

Asenkron makinanın toplam dağılma reaktansı ise herbiri yukarıda ayrı ayrı incelenen üç dağılma bileşeninden oluşur.

$$X_{1\sigma} = 1,6 \cdot \pi^2 \cdot \frac{f}{p} \cdot w^2 \cdot (\Lambda_0 + \Lambda_{bb} + \Lambda_{ha}) \cdot 10^{-8}$$

$$X_{1\sigma} = 1,6 \cdot \pi^2 \cdot \frac{50}{3} \cdot 144^2 \cdot (21,71 + 68,46 + 5,79) \cdot 10^{-8}$$

$$X_{1\sigma} = 5,23 \Omega$$

Stator boyunduruğunu kışmış magnetik gerilimi

$$V_{j1} = I_{j1} \cdot H_{j1} \text{ dir.}$$

$$B_{j1} = 1 \text{ T için şekil 1.6'dan } H_{j1} = 4 \text{ A/cm okunur.}$$

Ortalama stator boyunduruğu kuvvet çizgisi yolu;

$$l_{j1} = \frac{\pi \cdot (D_a - h_{j1})}{2p} = \frac{\pi \cdot (87 - 7,2)}{6} = 41,873 \text{ cm}$$

$$V_{j1} = 41,873 \times 4 = 167,132 \text{ A bulunur}$$

Hava aralığındaki magnetik gerilim;

$$2V_\delta = 0,8 \times k_c \times \delta \times B_\delta \times 10^4$$

$$2V_\delta = 0,8 \times 1,413 \times 0,13 \times 0,826 \times 10^4 = 1213,823 \text{ A}$$

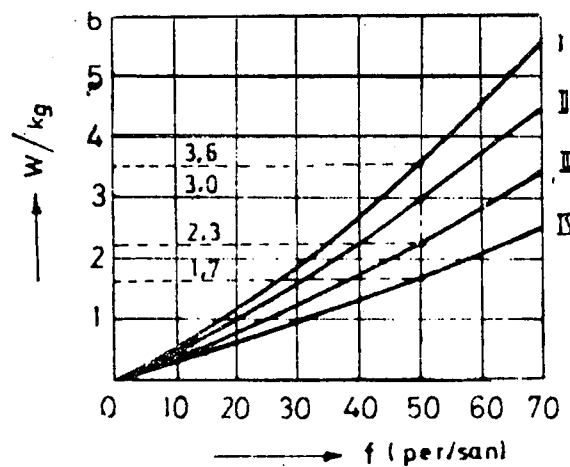
Stator dışlerindeki kayıplar; \_

$p_1$ , 1 T'daki özgül demir kaybı olmak üzere stator dışlerindeki kayıplar

$$P_{dl} = 1,25 \cdot p_1 \cdot B_{dlort}^2 = 1,25 \times 2,3 \times 1,07535^2 = 3,313 \text{ W / kg}$$

$$P_{kdl} = P_{dl} \cdot G_{dl} = 3,313 \times 244 = 808,41 \text{ W}$$

Burada  $P_I$ ; şekil 1.12'den  $f=50$  Hz ve III. Sınıf saç için 2,3 alınarak işlem yapılmıştır.

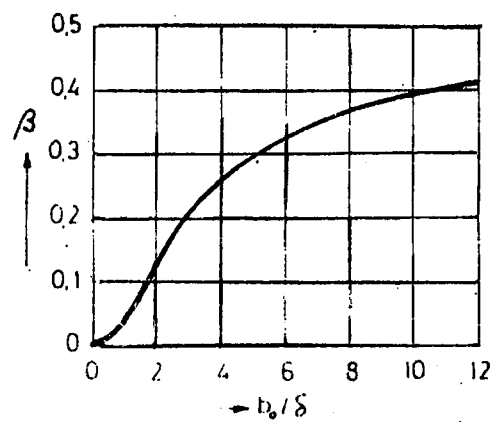


Şekil 1.12 Muhtelif saç nevileri için özgül kaybin frekansa bağlı olarak değişimi

Stator yüzey kaybı hesabı;

$$P_{k_0l} = \frac{k_0}{2} \left( \frac{N_2 \times n}{10000} \right)^{1,5} \left( \frac{\tau_{02} \times \beta_2 \times k_{c2} \times B_\delta}{0,1} \right)^2 \times \pi \times D_l \times \frac{\tau_{01} - a_{01}}{\tau_{01}} \times k_{f_k} \times I_q$$

0,5 mm.'lik saç için  $k_0=2,5$ ,  $a_0=2,5$  mm. alındığında şekil 1.13'den  $a_{02}/\delta = 0,25/0,13=1,92$  için  $\beta_2'=0,1$  dir.



Şekil 1.13 β'nın  $b_0/\delta$ 'ya bağlı olarak Richter'e göre değerleri

$$P_{ky1} = \frac{2,5}{2} \left( \frac{58 \times 1000}{10000} \right)^{1,5} \left( \frac{3,24 \times 0,1 \times 1,018 \times 0,826}{0,1} \right)^2 \pi \times 0,6 \times \frac{2,618 - 1,15}{2,618} \times 0,97 \times 0,4035$$

$$P_{ky1} = 1,25 \times 13,968 \times 7,422 \times 0,413$$

$$P_{ky1} = 53,519 \text{ W}$$

$\vec{E}$  geriliminin hesabi;

$$\begin{aligned}\vec{E} &= \bar{I}_1 \cdot R_1 + j\bar{I}_1 X_{1\sigma} - \bar{U}_1 \\ &= 88 \cdot (0,819 + j0,572) \cdot 0,3 + j88 \cdot (0,819 + j0,572) \cdot 5,25 - 2310 \\ &= 26,4 \cdot (0,819 + j0,572) + j462 \cdot (0,819 + j0,572) - 2310 \\ &= 21,621 + j15,1 + j(378 + j264,26) - 2310 \\ &= 21,621 + j155,1 + j378,37 - 264,26 - 2310 \\ &= -2552,643 + j393,47\end{aligned}$$

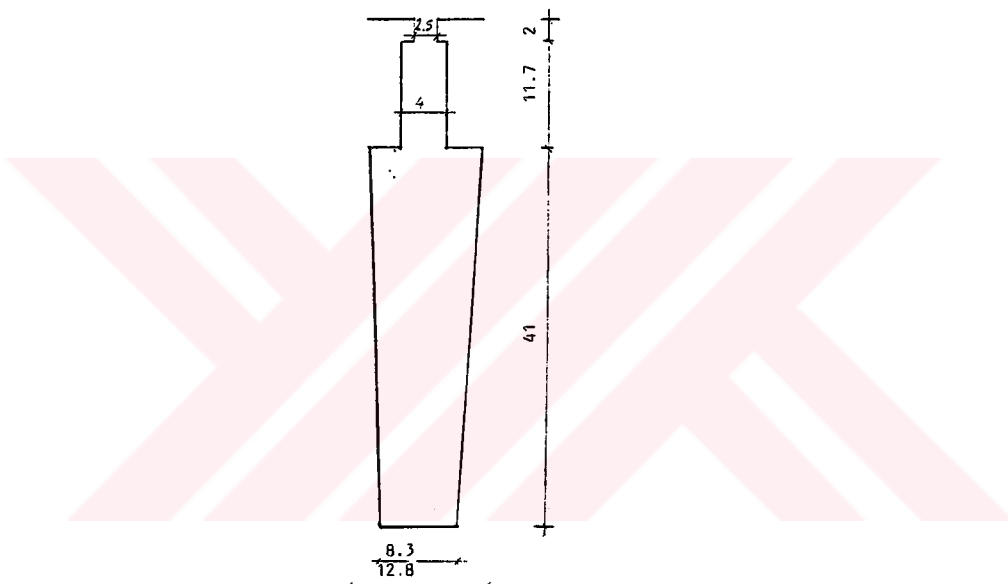
$$|\vec{E}| = 2582,79 \text{ V}$$

## 1.2 Rotor Oluk Şekillerinin Boyutlandırılması

Bu bölümde değişik rotor oluk şekilleri için bunlara ait eşdeğer devre parametreleri hesaplanmıştır. Rotor sargısının değişik tiplerinin, özellikle de yol alma momenti ve akımının etkilerini görmek amacıyla stator yapısı korunarak 7 değişik rotor oluk şekli için hesap yapılmıştır. Bunlar yapılırken toplam oluk yüzeyi, oluk sayısı, hava aralığı ve oluk ağzı genişliği sabit tutulmuştur. Her rotor tipinde rotor çubukları ile kısa devre halkaları özgül direnci aynı olan bakırdañ yapılmıştır.

### 1.2.1 1. Makina Modeli Tanıtımı ve Eşdeğer Devre Parametrelerinin Hesabı

Bu modele ilişkin rotor oluk şekli şekil 1.14'de verilmiştir.



Şekil 1.14 1. Modele ilişkin rotor oluk şekli

Bu model için rotor diş endüksiyonları bulunacak olursa,

$$b_{d2\min} = (600 - 2,6 - 28) \frac{\pi}{58} - 12,8 = 18,041 \text{ mm}$$

$$b_{d2\text{ort}} = (600 - 2,6 - 55) \frac{\pi}{58} - 6,4 = 22,97 \text{ mm}$$

$$b_{d2\max} = \tau_{02} - 2,5 = 29,99 \text{ mm}$$

Buna göre ;

$$B_{d2\max} = \frac{L_i}{k_{fe} \cdot L_{Topl}} \cdot \frac{\tau_{02}}{b_{d2\min}} \cdot B_\delta = \frac{40,35 \times 3,249 \times 0,826}{0,97 \times 49,35 \times 1,8041} = 1,253 \text{ T}$$

$$B_{d2\text{ort}} = \frac{L_i}{k_{fe} \cdot L_{Topl}} \cdot \frac{\tau_{02}}{b_{d2\text{ort}}} \cdot B_\delta = \frac{40,35 \times 3,249 \times 0,826}{0,97 \times 49,35 \times 2,297} = 0,984 \text{ T}$$

$$B_{d2\min} = \frac{L_i}{k_{fe} \cdot L_{Topl}} \cdot \frac{\tau_{02}}{b_{d2\max}} \cdot B_\delta = \frac{40,35 \times 3,249 \times 0,826}{0,97 \times 49,35 \times 2,999} = 0,754 \text{ T}$$

Bu endüksiyonlara ait alan şiddetleri ise şekil 1.6'dan  $H_{d2\max} = 8 \text{ A/cm}$

$$H_{d2\text{ort}} = 4,8 \text{ A/cm}, H_{d2\min} = 4 \text{ A/cm}$$

Ortalama alan şiddeti Simpson kuralından

$$H_{d2\text{ort}} = \frac{H_{d2\max} + H_{d2\min} + 4H_{d2\text{ort}}}{6} = \frac{8 + 4 + 19,2}{6} = 5,2 \text{ A/cm}$$

Rotor dışlerindeki toplam magnetik gerilim

$$2V_{d2} = 2I_{d2} \times H_{d2} = 2 \times 5,2 \times 5,2 = 57,2 \text{ A}$$

Rotor çapı

$$D_r = D_i - 2\delta = 600 - 2 \times 1,3 = 597,4 \text{ mm}$$

Rotor dışlerinin ağırlığı;

$$G_{d2} = \left\{ \pi \left[ \left( \frac{D_r}{2} \right)^2 - \left( \frac{D_r - 2h_{02}}{2} \right)^2 \right] - N_2 \times [S + h_{02} \times b_{02}] \right\} \times k_{fe} \times L_i \times \gamma_{Fe} \times 10^{-3}$$

$$G_{d2} = \left\{ \pi \left[ \left( \frac{59,74}{2} \right)^2 - \left( \frac{59,74 - 11}{2} \right)^2 \right] - 58 \times [4,76 + 0,2 \times 0,25] \right\} \times 0,97 \times 40,35 \times 7,88 \times 10^{-3}$$

$$G_{d2} = 203 \text{ kg}$$

Rotor boyunduruk yüksekliği  $h_{j2}$  ise  $B_{j2} = 0,843 \text{ T}$  için

$$h_{j2} = \frac{\phi / 2}{k_{fe} \times L_i \times B_{j2}} = \frac{0,0775}{2 \times 0,97 \times 0,4035 \times 0,843} = 117,4 \text{ mm}$$

Rotor iç çapı ise

$$D_{ri} = 600 - (2,6 + 2 \times 55 + 117,4) = 370 \text{ mm dir.}$$

Rotor boyunduruğunu  $l_{j2}$  uzunluğu, boyunduruk ortasında ölçülen kutup taksimatına eşittir.

$$l_{j2} = \frac{\pi \times (D_r + h_{j2})}{2p} = \frac{\pi \times (11,74 + 37)}{6} = 25,52 \text{ cm}$$

Rotor boyundurğunun kısmi magnetik gerilimi şekil 1.6'dan  
 $B_{j2}=0,843 \text{ T}$  için  $H_{j2}=4,2 \text{ A/cm}$  ve

$$V_{j2} = l_{j2} \times H_{j2} = 4,2 \times 25,52 = 107,184 \text{ A}$$

Rotor boyunduruk ağırlığı ;

$$G_{j2} = \left[ \left( \frac{D_{ne} + h_{j2}}{2} \right)^2 - \left( \frac{D_{ne}}{2} \right)^2 \right] \times \pi \times k_{fe} \times L_t \times \gamma_{fe} \times 10^{-3}$$

$$G_{j2} = \left[ \left( \frac{37 + 11,74}{2} \right)^2 - \left( \frac{37}{2} \right)^2 \right]^2 \times \pi \times 0,97 \times 40,35 \times 7,88 \times 10^{-3} = 243,827 \text{ kg}$$

Rotor reaktanslarının hesabı

Rotorun dağılma reaktansı

Rotor yüzeyi sabit tutularak makina eşdeğer devresine göre endüktans değeri hesaplanacak olursa

Rotor oluk yüzeyi  $\sum h = 57,73 \text{ mm}$  bulunur. Rotor oluk genişliği  $\sum b = 8,3 \text{ mm}$  bulunur.

$$\lambda_{02} = \frac{h_1}{3b_{02}} + \frac{h_2}{b_{02}}$$

burada  $h_1=57,753 \text{ mm}$   $h_2=2 \text{ mm}$   $b_{02}=8,3 \text{ mm}$

$$\lambda_{02} = \frac{57,753}{3 \times 8,3} + \frac{2}{8,3} = 2,56$$

$$\Lambda_{02} = l_{02} \times \lambda_{02} = 2,56 \times 47,1 = 120,576$$

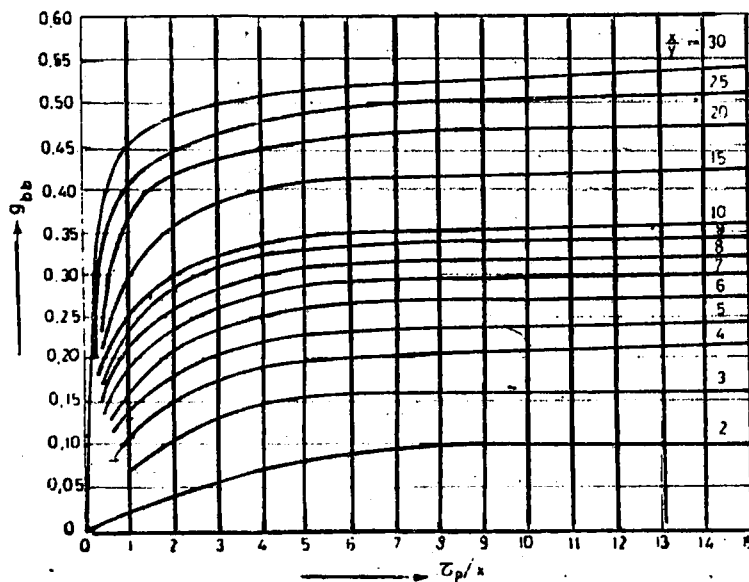
Bobin başı dağılma iletkenliği

$$\Lambda_{bb2} = \frac{Z_2}{2p \times m_1} \times \tau_p \times g_{bb} \text{ dir.}$$

Halka yüksekliği  $h_h=60 \text{ mm}$ ;  $b_h=29,518 \text{ mm}$  dir.

$$y = 0,223 \times (b_h + h_h) = 19,962$$

$$\frac{x}{y} = \frac{197}{19,962} = 9,868 \text{ ve } g_{bb} \text{ şekil 1.15'ten 0,27 seçilir.}$$



Şekil 1.15 Kısa devre kafesli rotorun bobin başı dağılmasının tayininde faydalanan  $g_{bb}$  faktörü

$$\Lambda_{bb2} = \frac{58}{6 \times 3} \times 31,4 \times 0,27 = 27,32$$

Kısa devre kafesinin hava aralığı veya çift halkalanma dağılma iletkenliği

$$\Lambda_{ha} = \frac{Z_2}{2p \times m_1} \times \frac{m_1}{\pi^2} \times \frac{\tau_p \times L_i \times K}{k_c \times k_d \times \delta}$$

Burada K değeri tablo 1.3'ten  $Z_2/2p = 58/6$  için 0,0085 olarak okunur.

$$\Lambda_{ha} = \frac{58}{6 \times 3} \times \frac{3}{\pi^2} \times \frac{31,41 \times 40,35 \times 0,0085}{1,413 \times 1,5 \times 0,13}$$

$$\Lambda_{ha} = 38,293$$

Buna göre

$$X_{2\sigma} = 0,8 \times \pi^2 \times f \times (\Lambda_{02} + \Lambda_{bb2} + \Lambda_{ha2}) \times 10^{-8}$$

$$X_{2\sigma} = 0,8 \times \pi^2 \times 50 \times (120,576 + 27,32 + 38,293) \times 10^{-8}$$

$$X_{2\sigma} = 7,35 \times 10^{-4} \quad \Omega$$

### Primere indirgeme faktörü

Pratik hesaplar için kısa devre kafesini faz sayısı oluk sayısına eşit olan çok farklı bir sargı gibi düşünmek hesaplarda kolaylık sağlar. Böylece  $m_2=N_2$ ,  $w_2=1/2$  ve kısa devre kafesinin sargı faktörü  $\xi_2=1$  olur. Bu koşullarda çubuk akımı ve çubuk EMK'ı aynı zamanda sekonder sargı akımı ve sekonder sargı EMK'ı olur.

Buna göre

$$\ddot{u} = 4 \left( \frac{m_1}{N_2} \right) (w_1 \cdot \xi_2)^2$$

$$\ddot{u} = 4 \left( \frac{3}{58} \right) (144 \times 0,924)^2 = 3662,87$$

$$X'_{2\sigma} = \ddot{u} \cdot X_{2\sigma} = 3662,87 \times 7,35 \times 10^{-4} = 2,692$$

$$x'_{2\sigma} = \frac{X'_{2\sigma}}{X_n} = \frac{2,692}{15,04} = 0,179$$

Rotor direncinin hesabı ;

$$R_2 = \rho \times \left( \frac{l_{ck}}{q_{ck}} + \frac{D_{ha} \times N_2}{2\pi \times p^2 \times q_{ha}} \right)$$

Rotor referans sıcaklığı  $150^\circ C$  alındığından bakırın özgül direnci bu sıcaklık için hesaplanacak olursa

$$\lambda_T = \lambda_{20} \frac{20 + T}{t + T} = 57 \cdot \frac{20 + 235}{150 + 235} = 37,753$$

$$\rho = \frac{1}{\lambda_T} = 0,0264$$

$$R_2 = 0,0264 \times \left( \frac{0,593}{476} + \frac{0,477 \times 58}{2\pi \times 9 \times 1771,1} \right) \times 1,1 = 4,19 \times 10^{-5} \Omega$$

$$R'_2 = 0,0161 ; \quad r'_2 = 0,00752$$

Magnetik devrenin magnetik gerilimi;

$$\theta_{iandevre} = \sum V = 2V_\delta + 2V_{d1} + 2V_{d2} + V_{j1} + V_{j2}$$

$$= 2 \times 1213,823 + 67,2 + 57,2 + 167,132 + 107,184$$

$$= 2826,36 \text{ A}$$

Mıknatışlanma akımının efektif değeri;

$$I_{\mu} = \frac{p \times \sum V}{0,9 \times m_1 \times w_1 \times \xi_s} = \frac{3 \times 2826,36}{0,9 \times 3 \times 144 \times 0,924} = 23,6 \text{ A}$$

$$X_m = \frac{|\vec{E}|}{I_{\mu}} = \frac{2582,79}{23,6} = 109,44 \Omega$$

$$\chi_m = \frac{X_m}{X_n} = \frac{109,44}{15,04} = 7,276 \text{ bulunur.}$$

Stator dağılıma faktörü

$$\sigma_1 = \frac{X_{1\sigma} \times I_{\mu}}{U_1 - X_{1\sigma} \times I_{\mu}} = \frac{X_{1\sigma}}{X_m} = \frac{5,23}{109,44} = 0,0477$$

$$\tau_1 = 1 + \sigma_1 = 1,0477$$

Tashihli L eşdeğer devreden s=1 için kalkış akımı

$$I_{1k} = \frac{\tau_1 \times U_1}{\sqrt{R_k^2 + X_k^2}}$$

$$R_k = \tau_1 \cdot R_1 + \tau_1^2 \cdot R_2' = 1,0477 \times 0,3 + 1,0477^2 \times 0,161 = 0,491$$

$$X_k = \tau_1 \cdot X_{1\sigma} + \tau_1^2 \cdot X_{2\sigma}' = 1,0477 \times 5,23 + 1,0477^2 \times 2,692 = 8,434$$

$$\sqrt{R_k^2 + X_k^2} = 8,448$$

$$I_{1k} = \frac{1,0477 \times 4000}{\sqrt{3} \times 8,448} = 859,148 \text{ A}$$

Yol alma momenty

$$M_{dy} = \frac{60}{2\pi \times n} \times m_1 \times \frac{U_1^2 \times R_2'}{(R_1 + \tau_1 \times R_2')^2 + X_k^2}$$

$$M_{dy} = \frac{60}{2\pi \times 1000} \times 3 \times \frac{2310^2 \times 0,161}{(0,3 + 1,0477 \times 0,161)^2 + 8,434^2} = 344,934 \text{ Nm}$$

$$P_n = M_{dn} \cdot w \Rightarrow M_{dn} = \frac{P_n}{w} = \frac{500000 \times 60}{2 \times 1000 \times \pi} = 4774,64 \text{ Nm}$$

Yol vermedeki iyilik derecesi

$$g = \frac{M_{dy}/M_{dn}}{I_{1k}/I_{1N}} = \frac{344,934/4774,64}{859,148/88} = 0,0074$$

Devrilme momenti

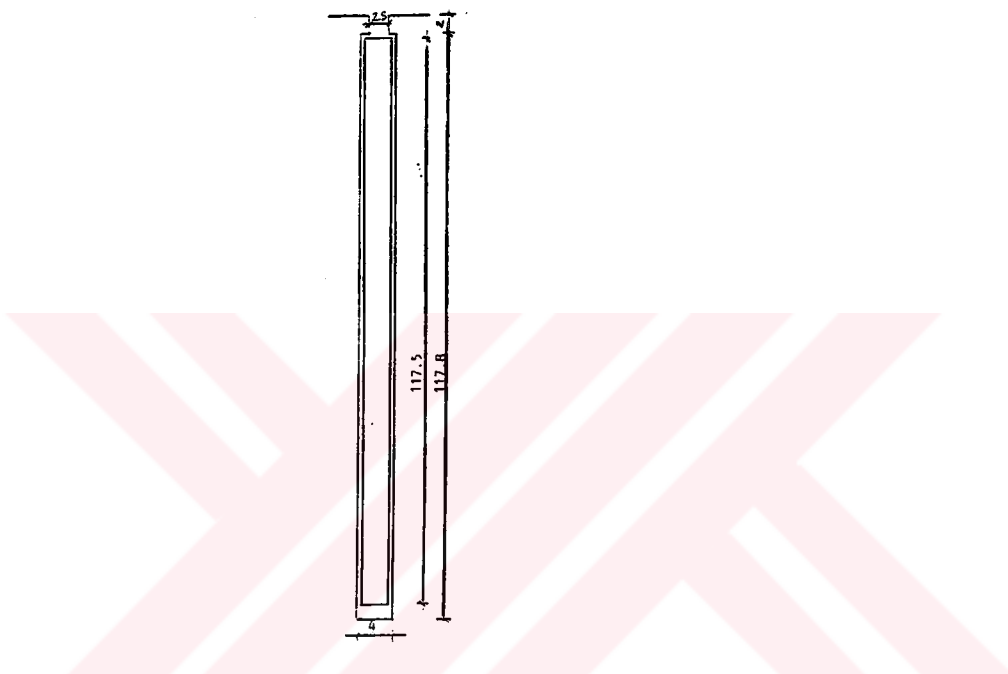
$$M_{dD} = \frac{50}{2\pi \times n} \times \frac{m_1}{2} \times \frac{U_1^2}{[\tau_1 \times R_1 + \sqrt{(\tau_1 \times R_1)^2 + X_K^2}]}$$

$$M_{dD} = \frac{50}{2\pi \times 1000} \times \frac{3}{2} \times \frac{2310^2}{1,0477 \times 0,3 + \sqrt{(1,0477 \times 0,3)^2 + 8,434^2}}$$

$$M_{dD} = 7275,965 \text{ Nm}$$

$$\cos \varphi_K = \frac{R_K}{\sqrt{R_K^2 + X_K^2}} = \frac{0,3}{8,448} = 0,0581 \Rightarrow \varphi_K = 86,668^\circ$$

**1.2.2 2. Makina Modeli Tanımı ve Eşdeğer Devre Parametrelerinin Hesabı**  
 Bu modele ilişkin rotor oluk şekli şekil 1.16'da verilmiştir.



Şekil 1.16 2. Modele ilişkin rotor oluk şekli

$$\tau_{02} = \frac{600\pi - 58 \times 4}{58} + 4 = 32,499 \text{ mm}$$

$$b_{d2\min} = (600 - 2,6 - 239,6) \frac{\pi}{58} - 4 = 15,38 \text{ mm}$$

$$b_{d2\max} = (600 - 2,6 - 119,8) \frac{\pi}{58} - 4 = 21,86 \text{ mm}$$

$$b_{d2\max} = \tau_{02} - 2,5 = 29,99 \text{ mm}$$

Diş endüksiyonları ise;

$$B_{d2\max} = \frac{L_i}{k_{fe} \cdot L_{Topl}} \cdot \frac{\tau_{02}}{b_{d2\min}} \cdot B_\delta = \frac{40,35 \times 3,249 \times 0,826}{0,97 \times 49,3 \times 1,538} = 1,472 \text{ T}$$

$$B_{d2\text{ort}} = \frac{L_i}{k_{fe} \cdot L_{Topl}} \cdot \frac{\tau_{02}}{b_{d2\text{ort}}} \cdot B_\delta = \frac{40,35 \times 3,249 \times 0,826}{0,97 \times 49,3 \times 2,186} = 1,0358 \text{ T}$$

$$B_{d2\min} = \frac{L_i}{k_{fe} \cdot L_{Topl}} \cdot \frac{\tau_{02}}{b_{d2\max}} \cdot B_\delta = \frac{40,35 \times 3,249 \times 0,826}{0,97 \times 49,3 \times 2,999} = 0,755 \text{ T}$$

Bu endüksiyonlara ait alan şiddetleri ise şekil 1.6'dan  $H_{d2\max} = 15 \text{ A/cm}$   
 $H_{d2\text{ort}} = 4,5 \text{ A / cm}$ ,  $H_{d2\min} = 4 \text{ A / cm}$

Ortalama alan şiddeti Simpson kuralına göre;

$$H_{d2\text{ort}} = \frac{H_{d2\max} + H_{d2\min} + 4H_{d2\text{ort}}}{6} = \frac{15 + 4 + 18}{6} = 6,16 \text{ A / cm}$$

Rotor dışlerindeki toplam magnetik gerilim

$$2V_{d2} = 2I_{d2} \times H_{d2} = 2 \times 11,98 \times 6,16 = 147,753 \text{ A}$$

Rotor reaktanslarının hesabı

Rotorun dağılıma reaktansı

$$\lambda_{02} = \frac{h_1}{3b_{02}} + \frac{h_2}{b_{02}} = \frac{117,5}{3 \times 2,5} + \frac{2}{2,5} = 15,66 + 0,8 = 16,466$$

$\Lambda_{02} = I_{02} \times \lambda_{02}$  dir. Burada  $I_{02}$  değeri statorun  $I_{01}$  değerine eşit alınır.

Dolayısıyla

$$\Lambda_{02} = 16,466 \times 47,1 = 755,548$$

Bobin başı dağılıma iletkenliği

$$\Lambda_{bb2} = \frac{Z_2}{2p \times m_t} \times \tau_p \times g_{bb} \text{ dir.}$$

$g_{bb}$  büyüklüğü  $\frac{x}{y}$  ve  $\frac{\tau_p}{x}$  'e bağlı olarak şekil 1.14'ten 0,06 olarak

okunmuştur.

$$y = 0,223 \times (b_h + h_h) \text{ dir.}$$

Burada  $b_h$  ve  $h_h$  cm olarak halka genişliği ve halka yüksekliğidir.

Ortalama halka çapı

$$D_{ha} = 600 - (2,6 + 220) = 377,4 \text{ mm}$$

$h_h = 220 \text{ mm} = 22 \text{ cm}; b_h = 8,05 \text{ mm} = 0,805 \text{ cm} \text{ dir.}$

$$y = 0,223 \times (22 + 0,805) = 5,08$$

Makina boyutlarına tekabül eden  $x$  uzaklığı 127 mm=10 cm

$$\frac{x}{y} = \frac{12,7}{5,08} = 2,375$$

$$\frac{\tau_p}{X} = \frac{31,41}{10} = 3,14$$

Şekil 1.15'ten  $g_{bb} = 0,06$  olarak bulunur. Bu durumda

$$\Lambda_{bb2} = \frac{58}{6 \times 3} \times 31,4 \times 0,06 = 6,07$$

Kısa devre kafesinin hava aralığı veya çift halkalanma dağılma iletkenliği

$$\Lambda_{ha} = \frac{Z_2}{2p \times m_1} \times \frac{m_1}{\pi^2} \times \frac{\tau_p \times L_i \times K}{k_c \times k_d \times \delta}$$

Burada K değeri tablo 1.3'ten  $\frac{Z_2}{2p} = \frac{58}{6}$  için 0,0085 olarak okunur.

$$\Lambda_{ha} = \frac{58}{6 \times 3} \times \frac{3}{\pi^2} \times \frac{31,41 \times 40,35 \times 0,0085}{1,413 \times 1,5 \times 0,13}$$

$$\Lambda_{ha} = 38,293$$

Buna göre

$$X_{2\sigma} = 0,8 \times \pi^2 \times f \times (\Lambda_{02} + \Lambda_{bb2} + \Lambda_{ha2}) \times 10^{-8}$$

$$X_{2\sigma} = 0,8 \times \pi^2 \times 50 \times (755,548 + 6,07 + 38,293) \times 10^{-8}$$

$$X_{2\sigma} = 31,579 \times 10^{-4} \quad \Omega$$

$$X'_{2\sigma} = 11,56 \quad \Omega$$

$$x'_{2\sigma} = 0,769 \text{ bulunur.}$$

Rotor direncinin hesabı :

$$R_2 = \rho \times \left( \frac{l_{ck}}{q_{ck}} + \frac{D_{ha} \times N_2}{2\pi \times p^2 \times q_{ha}} \right)$$

$$R'_2 = 0,155 \quad ; \quad r'_2 = 0,0072$$

Rotor dişlerinin ağırlığı;

Rotor çapı

$$D_r = D_i - 2\delta = 600 - 2 \times 1,3 = 597,4 \text{ mm idi.}$$

$$G_{d2} = \left\{ \pi \left[ \left( \frac{D_r}{2} \right)^2 - \left( \frac{D_r - 2h_{02}}{2} \right)^2 \right] - N_2 \times [S + h_{02} \times b_{02}] \right\} \times k_{fe} \times L_i \times \gamma_{fe} \times 10^{-3}$$

$$G_{d2} = \left\{ \pi \left[ \left( \frac{59,74}{2} \right)^2 - \left( \frac{59,74 - 23,96}{2} \right)^2 \right] - 58 \times [4,76 + 0,2 \times 0,25] \right\} \times 0,97 \times 40,35 \times 7,88 \times 10^{-3}$$

$$G_{d2} = 468,34 \text{ kg}$$

Rotor boyunduruk yüksekliği  $h_{j2}$ ; rotor boyunduruk endüksiyonu

$B_{j2}=0,843$  T alındığında;

$$h_{j2} = \frac{\phi / 2}{k_{fe} \times L_i \times B_{j2}} = \frac{0,0775}{2 \times 0,97 \times 0,4035 \times 0,843} = 117,4 \text{ mm}$$

Rotor iç çapı ise

$$D_{nq} = 600 - (2,6 + 2 \times 119,8 + 117,4) = 240,4 \text{ mm}$$

Rotor boyunduruğunuun  $l_{j2}$  uzunluğu, boyunduruk ortasında ölçülen kutup taksimatına eşittir.

$$l_{j2} = \frac{\pi \times (D_r + h_{j2})}{2p} = \frac{\pi \times (24,04 + 11,74)}{6} = 18,734 \text{ cm}$$

Rotor boyunduruğunuun kısmi magnetik gerilimi şekil 1.6'dan  $H_{j2}=4,2$  A/cm için

$$V_{j2} = l_{j2} \times H_{j2} = 4,2 \times 18,734 = 78,682 \text{ A}$$

Rotor boyunduruk ağırlığı ;

$$G_{j2} = \left[ \left( \frac{D_{nq} + h_{j2}}{2} \right)^2 - \left( \frac{D_{nq}}{2} \right)^2 \right]^2 \times \pi \times k_{fe} \times L_i \times \gamma_{fe} \times 10^{-3}$$

değerler yerine yerleştirilirse,

$$G_{j2} = \left[ \left( \frac{24,04 + 11,9}{2} \right)^2 - \left( \frac{24,04}{2} \right)^2 \right]^2 \times \pi \times 0,97 \times 40,35 \times 7,88 \times 10^{-3}$$

$$G_{j2} = 172,75 \text{ kg}$$

Magnetik devrenin magnetik gerilimi;

$$\theta_{\text{tandevre}} = \sum V = 2V_d + 2V_{d1} + 2V_{d2} + V_{j1} + V_{j2}$$

$$= 2 \times 1213,823 + 67,2 + 57,2 + 147,753 + 78,682$$

$$= 2778,481 \text{ A}$$

Mıknatışlanma akımının efektif değeri;

$$I_\mu = \frac{p \times \sum V}{0,9 \times m_1 \times w_1 \times \xi_s} = \frac{3 \times 2778,481}{0,9 \times 3 \times 144 \times 0,924} = 23,2 \text{ A}$$

$$X_m = \frac{|\vec{E}|}{I_\mu} = \frac{2582,79}{23,2} = 111,327 \Omega$$

$$\chi_m = \frac{X_m}{X_n} = \frac{111,327}{15,04} = 7,4 \text{ bulunur.}$$

Stator dağılma faktörü

$$\sigma_1 = \frac{X_{1\sigma}}{X_m} = \frac{5,23}{111,327} = 0,0469$$

$$\tau_1 = 1 + \sigma_1 = 1,0469$$

Tashihli L eşdeğer devreden s=1 için kalkış akımı

$$I_{1k} = \frac{\tau_1 \times U_1}{\sqrt{R_K^2 + X_K^2}}$$

$$R_K = \tau_1 \cdot R_1 + \tau_1^2 \cdot R_2' = 1,0469 \times 0,3 + 1,0469^2 \times 0,155 = 0,483$$

$$X_K = \tau_1 \cdot X_{1\sigma} + \tau_1^2 \cdot X_{2\sigma}' = 1,0469 \times 5,23 + 1,0469^2 \times 11,56 = 18,14$$

$$I_{1k} = \frac{1,0469 \times 4000}{\sqrt{3} \times 18,151} = 133,196 \text{ A}$$

$$\cos \varphi_K = \frac{R_K}{\sqrt{R_K^2 + X_K^2}} = 0,0266 \Rightarrow \varphi_K = 88,475^\circ$$

Yol alma momenti

$$\begin{aligned}
 M_{dy} &= \frac{60}{2\pi \times n} \times m_l \times \frac{U_1^2 \times R_2'}{(R_1 + \tau_1 \times R_2')^2 + X_k^2} \\
 M_{dy} &= \frac{60}{2\pi \times 1000} \times 3 \times \frac{2310^2 \times 0,155}{(0,3 + 1,0469 \times 0,155)^2 + 18,14^2} \\
 M_{dy} &= 71,960 \text{ Nm}
 \end{aligned}$$

Yol vermedeki iyilik derecesi

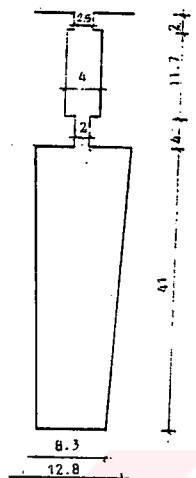
$$g = \frac{M_{dy}/M_{dN}}{I_{1K}/I_{1N}} = \frac{71,960/4774,64}{133,196/88} = 0,0099$$

Devrilme momenti

$$\begin{aligned}
 M_{dD} &= \frac{50}{2\pi \times n} \times \frac{m_l}{2} \times \frac{U_1^2}{[\tau_1 \times R_1 + \sqrt{(\tau_1 \times R_1)^2 + X_k^2}]} \\
 M_{dD} &= \frac{50}{2\pi \times 1000} \times \frac{3}{2} \times \frac{2310^2}{1,0469 \times 0,3 + \sqrt{(1,0469 \times 0,3)^2 + 18,14^2}} \\
 M_{dD} &= 3451,03 \text{ Nm}
 \end{aligned}$$

### 1.2.3 3. Makina Modelinin Tanıtımı ve Eşdeğer Devre Parametrelerinin Hesabı

Bu modele ilişkin rotor oluk şekli şekil 1.17'de verilmiştir.



Şekil 1.17 3. Modele ilişkin rotor oluk şekli

Diş genişlikleri

$$b_{d2\min} = (600 - 2,6 - 35,6) \frac{\pi}{58} - 12,8 = 17,63 \text{ mm}$$

$$b'_{d2} = (600 - 2,6 - 15,7) \frac{\pi}{58} - 4 = 27,5 \text{ mm}$$

$$b''_{d2} = (600 - 2,6 - 31,4) \frac{\pi}{58} - 2 = 28,65 \text{ mm}$$

$$b'''_{d2} = (600 - 2,6 - (14,95 + 4 + 11,7 + 2)) \frac{\pi}{58} - 14,95 = 15,63 \text{ mm}$$

Buna göre dış endüksiyonları

$$B'_{d2} = \frac{L_i}{k_{fe} \cdot L_{Topl}} \cdot \frac{\tau_{02}}{b'_{d2}} \cdot B_\delta = \frac{40,35 \times 3,249 \times 0,826}{0,97 \times 49,3 \times 2,75} = 0,821 \text{ T}$$

$$B''_{d2} = \frac{L_i}{k_{fe} \cdot L_{Topl}} \cdot \frac{\tau_{02}}{b''_{d2}} \cdot B_\delta = \frac{40,35 \times 3,249 \times 0,826}{0,97 \times 49,3 \times 2,865} = 0,79 \text{ T}$$

$$B'''_{d2} = \frac{L_i}{k_{fe} \cdot L_{Topl}} \cdot \frac{\tau_{02}}{b'''_{d2}} \cdot B_\delta = \frac{40,35 \times 3,249 \times 0,826}{0,97 \times 49,3 \times 1,563} = 1,448 \text{ T}$$

Şekil 1.6'dan bu endüksiyonlara ait alan şiddetleri ise  $H_{d2}' = 4,2 \text{ A/cm}$

$$H_{d2}'' = 4,1 \text{ A/cm}, H_{d2}''' = 10 \text{ A/cm}$$

Rotor dışlerindeki toplam magnetik gerilim

$$2V_{d2} = 2(l'_{d2} \times H'_{d2} + l''_{d2} \times H''_{d2} + l'''_{d2} \times H'''_{d2})$$

$$2V_{d2} = 2 \times (4,1 \times 1,3 + 0,4 \times 4 + 4,1 \times 10) = 95,86 \text{ A}$$

$$(D_{nq} = 600 - (2,6 + 2 \times 117,4 + 117,4) = 245,2 \text{ mm alınmıştır.})$$

Buna göre;

$$l_{j2} = \frac{\pi}{6} (34,52 + 11,74) = 18,985 \text{ cm}$$

Rotor boyunduruğunu kismi magnetik gerilimi şekil 1.6'dan  $Bj=0,843 \text{ T}$  için  $H_{j2}=4,2 \text{ A/cm}$  değeri ile

$$V_{j2} = l_{j2} \times H_{j2} = 4,2 \times 18,98 = 75,94 \text{ A}$$

Rotor boyunduruk ağırlığı ;

$$G_{j2} = \left[ \left( \frac{D_{nq} + h_{j2}}{2} \right)^2 - \left( \frac{D_{nq}}{2} \right)^2 \right]^2 \times \pi \times k_{fe} \times L_i \times \gamma_{fe} \times 10^{-3}$$

$$G_{j2} = \left[ \left( \frac{24,52 + 11,74}{2} \right)^2 - \left( \frac{24,52}{2} \right)^2 \right]^2 \times \pi \times 0,97 \times 40,35 \times 7,88 \times 10^{-3}$$

$$G_{j2} = 172,838 \text{ kg bulunur.}$$

Rotor dışlerinin ağırlığı

$$G_{d2} = \left\{ \pi \left[ \left( \frac{D_r}{2} \right)^2 - \left( \frac{D_r - 2h_{02}}{2} \right)^2 \right] - N_2 \times [S + h_{02} \times b_{02}] \right\} \times k_{fe} \times L_i \times \gamma_{fe} \times 10^{-3}$$

$$G_{d2} = \left\{ \pi \left[ \left( \frac{59,74}{2} \right)^2 - \left( \frac{59,74 - 11,74}{2} \right)^2 \right] - 58 \times [4,76 + 0,2 \times 0,25] \right\} \times 0,97 \times 40,35 \times 7,88 \times 10^{-3}$$

$$G_{d2} = 221,42 \text{ kg}$$

### Rotor reaktanslarının hesabı

Bu kısımda çalışma kafesinin eşdeğer şekli çıkartılacak ve bu rotor şekline ait reaktanslar buna göre hesap edilecektir. Eşdeğer şekil bulunurken çalışma kafesinin yüzeyi sabit tutulacak olup; genişliği ise 4 mm. alınacaktır. Böylelikle diğer makina modeli ile karşılaştırma yapma imkanı daha da kolaylaşacaktır.

#### Yol alma kafesinin dağılma reaktansı

$$\lambda_{02d} = \frac{h_d}{3b_d} + \frac{h_4}{b_4} = \frac{11,7}{2} + \frac{2}{2,5} = 1,775$$

$$\Lambda_{02} = 43,31$$

#### Bobin başı dağılma iletkenliği

$$\Lambda_{bb2} = \frac{Z_2}{2p \times m_i} \times \tau_p \times g_{bb} \text{ dir.}$$

$g_{bb}$  büyüklüğü  $\frac{x}{y}$  ve  $\frac{\tau_p}{x}$  'e bağlı olarak şekil 1.14'ten 0,36 olarak

okunmuştur.

$$y = 0,223 \times (b_h + h_h) \text{ dir.}$$

Burada  $b_h$  ve  $h_h$  cm olarak yol alma kafesinin halka genişliği ve halka yüksekliğidir.

$$h_{hd} = 25 \text{ mm} \quad b_{hd} = 7,3 \text{ mm}$$

$$h_{hi} = 75 \text{ mm} \quad b_{hi} = 21,18 \text{ mm}$$

$$D_{hi} = 547,4 \text{ mm} \quad D_{hd} = 572,4 \text{ mm}$$

$$y = 0,223 \times (25 + 7,3) = 7,2 \text{ mm} = 0,72 \text{ cm}$$

$$x = 20,2 \text{ cm}$$

$$\frac{x}{y} = 28,05 \quad \frac{\tau_p}{x} = \frac{31,41}{20,2} = 1,55$$

Buna göre

$$\Lambda_{bb2} = \frac{58}{2 \times 3 \times 3} \times 31,41 \times 0,45 = 45,54$$

#### Yol alma kafesinin reaktansı

$$X_{2\sigma} = 0,8 \times \pi^2 \times 50 \times (45,54 + 43,31) \times 10^{-8} = 3,5 \times 10^{-4} \quad \Omega$$

Çalışma kafesinin dağılma reaktansı

$$\lambda_{oi} = \frac{h_4}{b_4} + \frac{h_d}{b_d} + \frac{h_g}{b_g} + \frac{h_{i4}}{3b_i}$$

$$\lambda_{oi} = \frac{2}{2,5} + \frac{11,7}{4} + \frac{108,137}{12} + 2 = 14,736$$

$$\Lambda_{02} = 14,736 \times 47,1 = 694$$

Bobin başı dağılma iletkenliği

$$y = 0,223 \times (75 + 21,18) = 21,448 \text{ cm} = 2,1448 \text{ cm}$$

$x = 20,6 \text{ cm}$  idi.

$$\frac{x}{y} = 9,6 \quad \frac{\tau_p}{x} = \frac{31,41}{20,6} = 1,524$$

Dolayısıyla şekil 1.14'den bu değerler için 0,27 değeri okunur. Bu durumda

$$\Lambda_{bb2} = \frac{58}{2 \times 3 \times 3} \times 31,41 \times 0,27 = 27,324$$

Çalışma kafesinin reaktansı

$$X_{2\sigma} = 0,8 \times \pi^2 \times 50 \times (\Lambda_{0t} + \Lambda_{bbt}) \times 10^{-8}$$

$$X_{2\sigma} = 0,8 \times \pi^2 \times 50 \times (694 + 27,324) \times 10^{-8} = 28,479 \times 10^{-4} \quad \Omega$$

Halkalanma reaktansı

$$\Lambda_{ha} = \frac{Z_2}{2p \times m_1} \times \frac{m_1}{\pi^2} \times \frac{\tau_p \times L_t \times K}{k_c \times k_d \times \delta}$$

$$\Lambda_{ha} = \frac{58}{2 \times 3 \times 3} \times \frac{3}{\pi^2} \times \frac{31,41 \times 40,35 \times 0,0085}{1,413 \times 0,13 \times 1,5} = 38,293$$

$$X_{2\sigma} = 0,8 \times \pi^2 \times f \times \Lambda_{ha} \times 10^{-8}$$

$$X_{2\sigma} = 0,8 \times \pi^2 \times 50 \times 38,293 \times 10^{-8} = 1,511 \times 10^{-4} \quad \Omega$$

Yol alma kafesinin direnci

$$R_{2d} = \rho \times \left( \frac{l_{cd}}{q_{cd}} + \frac{D_{hd} \times N_2}{2\pi \times p^2 \times q_{hd}} \right) \times 1,1$$

Yukarıda denklemden görüleceği gibi burada lehim yerleri için % 10'luk bir ilave dirence eklenmiştir.

$$R_{2d} = 0,0264 \times 1,1 \times \left( \frac{0,579}{46,8} + \frac{0,572 \times 58}{2\pi \times 9 \times 182,5} \right) = 4,526 \times 10^{-4} \quad \Omega$$

$$R_{2l} = 0,0264 \times 1,1 \times \left( \frac{0,579}{432,55} + \frac{0,547 \times 58}{2\pi \times 9 \times 1588,56} \right) = 4,912 \times 10^{-5} \quad \Omega$$

$$R_{2r} = R_{2l} + R_{2d} = 4,526 \times 10^{-4} + 4,912 \times 10^{-5} = 5,0172 \times 10^{-4} \quad \Omega$$

Çift kafesli ve kısa devre halkaları bağımsız rotorun bileşke ohmik direnci ile bileşke dağılıma reaktansını aşağıdaki bağıntılardan hesap edebiliriz.

$$R_{2r(s)} = \frac{R_d \cdot R_i \cdot R_s + s^2 (R_d \cdot X_{oi}^2 + R_i \cdot X_{od}^2)}{R_i^2 + s^2 X_{oi}^2}$$

$$X_{2or(s)} = \frac{R_d^2 \cdot X_{oi} + R_i^2 \cdot X_{od} + s^2 X_n \cdot X_{od} \cdot X_{oi}}{R_i^2 + s^2 X_{oi}^2}$$

$$X_{2oi} = X_{oi} + X_{oi} = 3,5 \times 10^{-4} + 28,479 \times 10^{-4} = 31,979 \times 10^{-4}$$

$$R_{2r} = \frac{4,526 \times 4,912 \times 5,0172 \times 10^{-13} + 4,526 \times 10^{-4} \times 28,479^2 \times 10^{-8} + 4,912 \times 10^{-5} \times 3,5^2 \times 10^{-8}}{(5,0172 \times 10^{-4})^2 + (31,979 \times 10^{-4})^2}$$

$$R_{2r} = \frac{111,54 \times 10^{-13} + 3670,82 \times 10^{-12} + 60,172 \times 10^{-13}}{25,717 \times 10^{-8} + 1022,65 \times 10^{-8}}$$

$$R_{2r} = \frac{538,794 \times 10^{-12}}{1048,367 \times 10^{-8}} = 0,51393 \times 10^{-4} = 5,139 \times 10^{-5} \quad \Omega$$

$$X_{2or} = \frac{(4,526 \times 10^{-4})^2 \times (28,479 \times 10^{-4} + 3,5 \times 10^{-4}) + 31,979 \times 10^{-4} \times 3,5 \times 10^{-4} \times 28,479 \times 10^{-4}}{1048,367 \times 10^{-8}}$$

$$X_{2or} = 3,665 \times 10^{-4} \quad \Omega$$

$$X_{2o} = X_{2or} + X_{2ha} = 3,665 \times 10^{-4} + 1,511 \times 10^{-4} = 5,176 \times 10^{-4}$$

$$X'_{2o} = 1,89 \quad x'_{2o} = 0,126$$

$$R'_2 = 0,188 \quad ; \quad r'_2 = 0,0087$$

Magnetik devrenin toplam magnetik gerilimi;

$$\begin{aligned} \theta_{tandevre} &= \sum V = 2V_\delta + 2V_{d1} + 2V_{d2} + V_{j1} + V_{j2} \\ &= 2 \times 1213,823 + 67,2 + 95,86 + 147,753 + 75,94 \\ &= 2814,399 \text{ A} \end{aligned}$$

Mıknatışlanma akımının efektif değeri;

$$I_{\mu} = \frac{p \times \sum V}{0,9 \times m_1 \times w_1 \times \xi_s} = \frac{3 \times 2814,399}{0,9 \times 3 \times 144 \times 0,924} = 23,5 \text{ A}$$

$$X_m = \frac{|\vec{E}|}{I_{\mu}} = \frac{2582,79}{23,5} = 109,9 \Omega$$

$$\chi_m = \frac{X_m}{X_n} = 7,3 \text{ bulunur.}$$

Stator dağılıma faktörü

$$\sigma_1 = \frac{X_{1\sigma}}{X_m} = \frac{5,23}{109,9} = 0,0475$$

$$\tau_1 = 1 + \sigma_1 = 1,0475$$

Tashihli L eşdeğer devreden s=1 için kalkış akımı

$$I_{1k} = \frac{\tau_1 \times U_1}{\sqrt{R_k^2 + X_k^2}}$$

$$R_k = \tau_1 \cdot R_1 + \tau_1^2 \cdot R_2' = 1,0475 \times 0,3 + 1,0475^2 \times 0,188 = 0,52$$

$$X_k = \tau_1 \cdot X_{1\sigma} + \tau_1^2 \cdot X_{2\sigma}' = 1,0475 \times 5,23 + 1,0475^2 \times 1,89 = 7,55$$

$$I_{1k} = \frac{1,045 \times 4000}{\sqrt{3} \times 7,567} = 319,69 \text{ A}$$

Yol alma momenti

$$M_{dy} = \frac{60}{2\pi \times n} \times m_1 \times \frac{U_1^2 \times R_2'}{(R_1 + \tau_1 \times R_2')^2 + X_k^2}$$

$$M_{dy} = \frac{60}{2\pi \times 1000} \times 3 \times \frac{2310^2 \times 0,188}{(0,3 + 1,0475 \times 0,188)^2 + 7,55^2}$$

$$M_{dy} = 501,99 \text{ Nm}$$

Yol vermedeki iyilik derecesi

$$g = \frac{M_{dy}/M_{dN}}{I_{1K}/I_{1N}} = \frac{501,99/4774,64}{319,69/88} = 0,0289$$

Devrilme momenti

$$M_{dw} = \frac{50}{2\pi \times n} \times \frac{m_1}{2} \times \frac{U_1^2}{[\tau_1 \times R_1 + \sqrt{(\tau_1 \times R_1)^2 + X_k^2}]}$$

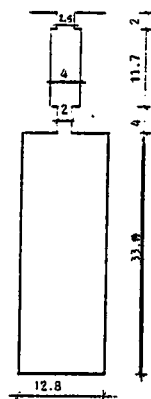
$$M_{dD} = \frac{50}{2\pi \times 1000} \times \frac{3}{2} \times \frac{2310^2}{1,045 \times 0,3 + \sqrt{(1,045 \times 0,3)^2 + 7,55^2}}$$

$$M_{dD} = 8093,38 \text{ Nm}$$

$$\cos \varphi_k = \frac{R_k}{\sqrt{R_k^2 + X_k^2}} = 0,0687 \Rightarrow \varphi_k = 86,06^\circ$$

#### 1.2.4 4. Makina Modelinin Tanıtımı ve Eşdeğer Devre Parametrelerinin Hesabı

Bu modele ilişkin rotor oluk şekli şekil 1.18'de verilmiştir.



Şekil 1.18 4. Modele ilişkin rotor oluk şekli

Yol alma kafesinin halka büyüklükleri

$$b_{hd} = 25 \text{ mm} \quad h_{hd} = 7,3 \text{ mm}$$

Çalışma kafesinin halka büyüklükleri

$$h_{hi} = 21,18 \text{ mm} \quad b_{hi} = 75 \text{ mm}$$

$$D_{hi} = 526,22 \text{ mm} \quad D_{hd} = 572,4 \text{ mm}$$

Diş genişlikleri;

$$b'_{d2} = (600 - 2,6 - 15,7) \frac{\pi}{58} - 4 = 27,5 \text{ mm}$$

$$b''_{d2} = (600 - 2,6 - 31,4) \frac{\pi}{58} - 2 = 28,657 \text{ mm}$$

$$b'''_{d2} = (600 - 2,6 - 69,2) \frac{\pi}{58} - 12,8 = 15,81 \text{ mm}$$

Oluklar arasında kalan değişik kısımlardaki ortalama endüksiyonlar.

$$B'_{d2} = \frac{L_i}{k_{fe} \cdot L_{Topl}} \cdot \frac{\tau_{02}}{b'_{d2}} \cdot B_s = \frac{40,35 \times 3,249 \times 0,826}{0,97 \times 49,3 \times 2,75} = 0,823 \text{ T}$$

$$B''_{d2} = \frac{L_i}{k_{fe} \cdot L_{Topl}} \cdot \frac{\tau_{02}}{b''_{d2}} \cdot B_s = \frac{40,35 \times 3,249 \times 0,826}{0,97 \times 49,3 \times 2,8657} = 0,79 \text{ T}$$

$$B'''_{d2} = \frac{L_i}{k_{fe} \cdot L_{Topl}} \cdot \frac{\tau_{02}}{b'''_{d2}} \cdot B_s = \frac{40,35 \times 3,249 \times 0,826}{0,97 \times 49,3 \times 1,581} = 1,432 \text{ T}$$

Şekil 1.6'dan bu endüksiyonlara ait alan şiddetleri ise  $H_{d2}' = 4 \text{ A/cm}$

$$H_{d2}'' = 3,8 \text{ A/cm}, H_{d2}''' = 150 \text{ A/cm}$$

Rotor dışlerindeki toplam magnetik gerilim

$$2V_{d2} = 2(l'_{d2} \times H'_{d2} + l''_{d2} \times H''_{d2} + l'''_{d2} \times H'''_{d2})$$

$$2V_{d2} = 2 \times (4 \times 1,37 + 0,4 \times 3,8 + 3,36 \times 150) = 1022 \text{ A}$$

Rotor boyunduruğunu  $l_{j2}$  uzunluğu, boyunduruk ortasında ölçülen kutup taksimatına eşittir.

$$l_{j2} = \frac{\pi \times (D_{nq} + h_{j2})}{2p} \text{ idi.}$$

Boyunduruk endüksiyonu  $B_{j2}=0,843 \text{ T}$  için  $H_{j2}$ ; şekil 1.6'dan 4 A/cm okunur.

$$D_{nq} = 600 - (2,6 + 103 + 117,4) = 377 \text{ mm}$$

$$l_{j2} = \frac{\pi \times (377 + 11,74)}{6} = 25,88 \text{ cm}$$

$$V_{j2} = l_{j2} \times H_{j2} = 4 \times 25,88 = 103,54 \text{ A}$$

Rotor boyunduruk ağırlığı ;

$$G_{j2} = \left[ \left( \frac{D_{nq} + h_{j2}}{2} \right)^2 - \left( \frac{D_{nq}}{2} \right)^2 \right]^2 \times \pi \times k_{fe} \times L_i \times \gamma_{fe} \times 10^{-3}$$

$$G_{j2} = \left[ \left( \frac{37,7 + 10,26}{2} \right)^2 - \left( \frac{37,7}{2} \right)^2 \right]^2 \times \pi \times 0,97 \times 40,35 \times 7,88 \times 10^{-3}$$

$$G_{j2} = 212,887 \text{ kg}$$

Rotor dişlerinin ağırlığı;

$$G_{d2} = \left\{ \pi \left[ \left( \frac{D_r}{2} \right)^2 - \left( \frac{D_r - 2h_{02}}{2} \right)^2 \right] - N_2 \times [S + h_{02} \times b_{02}] \right\} \times k_{fe} \times L_i \times \gamma_{Fe} \times 10^{-3}$$

$$G_{d2} = \left\{ \pi \left[ \left( \frac{59,74}{2} \right)^2 - \left( \frac{59,74 - 2 \times 5,13}{2} \right)^2 \right] - 58 \times [4,76 + 0,2 \times 0,25] \right\} \times 0,97 \times 40,35 \times 7,88 \times 10^{-3}$$

$$G_{d2} = 185,401 \text{ kg}$$

Rotor reaktanslarının hesabı

Yol alma kafesinin dağılma reaktansı

$$\lambda_{02d} = \frac{h_d}{b_d} + \frac{h_d}{3b_d} = \frac{11,7}{12} + \frac{2}{2,5} = 1,775$$

$$\Lambda_{02} = l_{02} \times \lambda_{02} \text{ idi. } l_0 = 47,1 \text{ cm için}$$

$$\Lambda_{02} = 83,6$$

Bobin başı dağılma iletkenliği

$$\Lambda_{bb2} = \frac{Z_2}{2p \times m_l} \times \tau_p \times g_{bb} \text{ dir.}$$

$g_{bb}$  büyüklüğü  $\frac{x}{y}$  ve  $\frac{\tau_p}{x}$  'e bağlı olarak şekil 1.14'ten 0,42 olarak

okunmuştur.

$$y = 0,223 \times (b_h + h_h) \text{ dir.}$$

Burada  $b_h$  ve  $h_h$  cm olarak halka genişliği ve halka yüksekliğidir.

$$y = 0,223 \times (7,3 + 25) = 7,2 \text{ mm} = 0,72 \text{ cm}$$

$$\frac{x}{y} = 26,84 \quad \frac{\tau_p}{x} = \frac{31,41}{19,3} = 1,627$$

$$\Lambda_{bb2} = \frac{58}{6 \times 3} \times 31,4 \times 0,42 = 42,5$$

Yol alma kafesinin reaktansı

$$X_{2\sigma} = 0,8 \times \pi^2 \times f \times (\Lambda_{0d} + \Lambda_{bb2}) \times 10^{-8}$$

$$X_{2\sigma} = 0,8 \times \pi^2 \times 50 \times (83,6 + 42,5) \times 10^{-8}$$

$$X_{2\sigma} = 4,978 \times 10^{-4} \Omega$$

Çalışma kafesinin dağılma reaktansı

$$\lambda_{02i} = \frac{h_d}{2b_d} + \frac{h_g}{b_g} + \frac{h_i}{3b_i} = \frac{11,7}{2 \times 4} + \frac{4}{2} + \frac{33,8}{3 \times 12,8} = 4,33$$

$$\Lambda_{0i} = l_{0i} \times \lambda_{0i} = 47,1 \times 4,33 = 203,943$$

Bobin başı dağılma iletkenliği

$$y = 0,223 \times (b_{hi} + h_{hi}) = 0,223(75 + 21,18) = 21,448 \text{ mm} = 2,1448 \text{ cm}$$

$$x = 18,9 \text{ cm} \text{ için } \frac{x}{y} = 8,18 \quad \tau_p \Big/ x = \frac{31,41}{18,9} = 1,66$$

Dolayısıyla şekil 1.14'den  $g_{bb} = 0,22$  okunur.

$$\Lambda_{bbi} = \frac{58}{6 \times 3} \times 31,41 \times 0,22 = 22,25$$

$$\Lambda_{ha} = 38,293$$

Çalışma kafesinin reaktansı

$$X_{2oi} = 0,8 \times \pi^2 \times f \times (\Lambda_{0i} + \Lambda_{bbi}) \times 10^{-8}$$

$$X_{2oi} = 0,8 \times \pi^2 \times 50 \times (201,943 + 22,25) \times 10^{-8}$$

$$X_{2oi} = 8,85 \times 10^{-4} \Omega$$

Makinanın büyüklüklerinde değişiklik olmadığından burada da önceki bölümlerdeki değer kullanılacaktır.

Yol alma kafesinin direnci

$$R_{2d} = \rho \times \left( \frac{l_{qd}}{q_{qd}} + \frac{D_{hd} \times N_2}{2\pi \times p^2 \times q_{hd}} \right) \times 1,1$$

$$R_{2d} = 0,0264 \times 1,1 \times \left( \frac{0,579}{46,8} + \frac{0,572 \times 58}{2\pi \times 9 \times 182,5} \right)$$

$$R_{2d} = 4,526 \times 10^{-4} \Omega$$

$$R_{2i} = 0,0264 \times 1,1 \times \left( \frac{0,579}{432,64} + \frac{0,526 \times 58}{2\pi \times 9 \times 1588,56} \right)$$

$$R_{2i} = 4,811 \times 10^{-5} \Omega$$

$$R_{2t} = R_{2i} + R_{2d} = 4,526 \times 10^{-4} + 4,811 \times 10^{-5} = 5 \times 10^{-4} \Omega$$

$$X_{2oi} = X_{oi} + X_{oi} = 4,978 \times 10^{-4} + 8,85 \times 10^{-4} = 13,828 \times 10^{-4}$$

Çift kafesli ve kısa devre halkaları bağımsız rotorun bileşke ohmik direnci ile bileşke dağılma reaktansı  $s=1$  için

$$R_{2r} = \frac{R_d \cdot R_i \cdot R_s + R_d \cdot X_{oi}^2 + R_i \cdot X_{od}^2}{R_i^2 + X_{oi}^2}$$

$$X_{2\sigma r} = \frac{R_d^2 \cdot X_{oi} + R_i^2 \cdot X_{od} + X_n \cdot X_{od} \cdot X_{oi}}{R_i^2 + X_{oi}^2}$$

$$R_{2r} = \frac{4,526 \times 4,811 \times 5 \times 10^{-13} + 4,526 \times 10^{-4} \times (8,85 \times 10^{-4})^2 + 4,811 \times 10^{-5} \times (4,978 \times 10^{-4})^2}{(5 \times 10^{-4})^2 + (13,828 \times 10^{-4})^2}$$

$$X_{2\sigma r} = \frac{(4,526 \times 10^{-4})^2 \times 8,85 \times 10^{-4} + (4,811 \times 10^{-4})^2 \times 4,979 \times 10^{-4} + 4,978 \times 8,85 \times 13,828 \times 10^{-12}}{(5 \times 10^{-4})^2 + (13,828 \times 10^{-4})^2}$$

$$R_{2r} = \frac{108,872 \times 10^{-13} + 354,487 \times 10^{-12} + 119,218 \times 10^{-13}}{216,213 \times 10^{-8}}$$

$$R_{2r} = \frac{263,538 \times 10^{-13}}{216,213 \times 10^{-8}} = 1,218 \times 10^{-5} \Omega$$

$$X_{2\sigma r} = \frac{181,289 \times 10^{-12} + 115,219 \times 10^{-14} + 585,4 \times 10^{-12}}{216,213 \times 10^{-8}}$$

$$X_{2\sigma r} = \frac{767,841 \times 10^{-12}}{216,213 \times 10^{-8}} = 3,55 \times 10^{-4} \Omega$$

$$X_{2\sigma} = X_{2\sigma r} + X_{2hu} = 3,551 \times 10^{-4} + 1,511 \times 10^{-4} = 5,062 \times 10^{-4}$$

$$X'_{2\sigma} = 1,3 \quad x'_{2\sigma} = 0,0864$$

$$R'_2 = 0,0446 \quad ; \quad r'_2 = 0,002$$

Magnetik devrenin toplam magnetik gerilimi;

$$\begin{aligned} \theta_{tamdevre} &= \sum V = 2V_d + 2V_{d1} + 2V_{d2} + V_{j1} + V_{j2} \\ &= 2 \times 1213,823 + 67,2 + 103,54 + 147,753 + 1022 \\ &= 3768,139 \text{ A} \end{aligned}$$

Mıknatışlanma akımının efektif değeri;

$$I_\mu = \frac{p \times \sum V}{0,9 \times m_1 \times w_1 \times \xi_s} = \frac{3 \times 3768,139}{0,9 \times 3 \times 144 \times 0,924} = 31,466 \text{ A}$$

$$X_m = \frac{|\vec{E}|}{I_\mu} = \frac{2582,79}{31,466} = 82,081 \Omega$$

Stator dağılıma faktörü

$$\sigma_1 = \frac{X_{1\sigma}}{X_m} = \frac{5,23}{82,081} = 0,0637$$

$$\tau_1 = 1 + \sigma_1 = 1,0637$$

Tashihli L eşdeğer devreden s=1 için kalkış akımı

$$I_{1k} = \frac{\tau_1 \times U_1}{\sqrt{R_k^2 + X_k^2}}$$

$$R_k = \tau_1 \cdot R_1 + \tau_1^2 \cdot R_2' = 1,0637 \times 0,3 + 1,0637^2 \times 0,466 = 0,823$$

$$X_k = \tau_1 \cdot X_{1\sigma} + \tau_1^2 \cdot X_{2\sigma}' = 1,0637 \times 5,23 + 1,0637^2 \times 1,3 = 7,034$$

$$I_{1k} = \frac{1,0637 \times 4000}{\sqrt{3} \times 7,082} = 346,865 \text{ A}$$

Yol alma momenti

$$\begin{aligned} M_{dy} &= \frac{60}{2\pi \times n} \times m_1 \times \frac{U_1^2 \times R_2'}{(R_1 + \tau_1 \times R_2')^2 + X_k^2} \\ M_{dy} &= \frac{60}{2\pi \times 1000} \times 3 \times \frac{2310^2 \times 0,446}{(0,3 + 1,0637 \times 0,446)^2 + 7,034^2} \\ M_{dy} &= 1361,489 \text{ Nm} \end{aligned}$$

Yol vermedeki iyilik derecesi

$$g = \frac{M_{dy}/M_{dN}}{I_{1K}/I_{1N}} = \frac{1361,489/4774,64}{346,865/88} = 0,0723$$

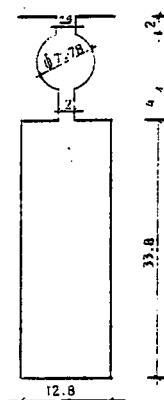
Devrilme momenti

$$\begin{aligned} M_{dD} &= \frac{50}{2\pi \times n} \times \frac{m_1}{2} \times \frac{U_1^2}{[\tau_1 \times R_1 + \sqrt{(\tau_1 \times R_1)^2 + X_k^2}]} \\ M_{dD} &= \frac{50}{2\pi \times 1000} \times \frac{3}{2} \times \frac{2310^2}{1,0637 \times 0,3 + \sqrt{(1,0637 \times 0,3)^2 + 7,034^2}} \\ M_{dD} &= 8653,8 \text{ Nm} \end{aligned}$$

$$\cos \varphi_k = \frac{R_k}{\sqrt{R_k^2 + X_k^2}} = \frac{0,823}{7,082} = 0,1162 \Rightarrow \varphi_k = 83,326^\circ$$

### 1.2.5 5. Makina Modelinin Tanıtımı ve Eşdeğer Devre Parametrelerinin Hesabı

Bu modele ilişkin rotor oluk şekli şekil 1.19'da verilmiştir.



Şekil 1.19 5. Modele ilişkin rotor oluk şekli

Yol alma kafesinin halka büyüklükleri

$$b_{hd} = 9,125 \text{ mm} \quad h_{hd} = 20 \text{ mm}$$

Çalışma kafesinin halka büyüklükleri

$$h_{hi} = 50 \text{ mm} \quad b_{hi} = 31,7712 \text{ mm}$$

Diş genişlikleri;

$$b'_{d2} = (600 - 2,6 - 11,718) \frac{\pi}{58} - 7,718 = 24 \text{ mm}$$

$$b''_{d2} = (600 - 2,6 - 23,436) \frac{\pi}{58} - 2 = 29,08 \text{ mm}$$

$$b'''_{d2} = (600 - 2,6 - 61,236) \frac{\pi}{58} - 12,8 = 16,241 \text{ mm}$$

Buna göre diş endüksiyonları

$$B'_{d2} = \frac{L_i}{k_{fe} \cdot L_{Topl}} \cdot \frac{\tau_{02}}{b'_{d2}} \cdot B_s = \frac{40,35 \times 3,249 \times 0,826}{0,97 \times 49,3 \times 2,4} = 0,943 \text{ T}$$

$$B''_{d2} = \frac{L_i}{k_{fe} \cdot L_{Topl}} \cdot \frac{\tau_{02}}{b''_{d2}} \cdot B_s = \frac{40,35 \times 3,249 \times 0,826}{0,97 \times 49,3 \times 2,908} = 0,778 \text{ T}$$

$$B'''_{d2} = \frac{L_i}{k_{fe} \cdot L_{Topl}} \cdot \frac{\tau_{02}}{b'''_{d2}} \cdot B_s = \frac{40,35 \times 3,249 \times 0,826}{0,97 \times 49,3 \times 1,624} = 1,394 \text{ T}$$

Şekil 1.6'dan bu endüksiyonlara ait alan şiddetleri ise  $H_{d2}' = 4,5 \text{ A/cm}$

$$H_{d2}'' = 3,5 \text{ A/cm}, H_{d2}''' = 75 \text{ A/cm}$$

Rotor dışlerindeki toplam magnetik gerilim

$$2V_{d2} = 2(l_{d2}' \times H_{d2}') + l_{d2}'' \times H_{d2}'' + l_{d2}''' \times H_{d2}'''$$

$$2V_{d2} = 2 \times (4,5 \times 0,97 + 3,5 \times 0,4 + 75 \times 3,38) = 518,53 \text{ A}$$

$$l_{j2} = \frac{\pi \times (D_{nq} + h_{j2})}{2p}$$

$$l_{j2} = \frac{\pi \times (384,964 + 11,74)}{6} = 263,03 \text{ mm}$$

Rotor boyunduruğunun kimsi magnetik gerilimi şekil 1.6'dan  $H_{j2}=4,2 \text{ A/cm}$  okunur.

$$V_{j2} = l_{j2} \times H_{j2} = 4,2 \times 26,3 = 110,46 \text{ A}$$

Rotor boyunduruk ağırlığı ;

$$G_{j2} = \left[ \left( \frac{D_{nq} + h_{j2}}{2} \right)^2 - \left( \frac{D_{nq}}{2} \right)^2 \right]^2 \times \pi \times k_{fe} \times L_i \times \gamma_{fe} \times 10^{-3}$$

$$G_{j2} = \left[ \left( \frac{38,49 + 9,516}{2} \right)^2 - \left( \frac{38,49}{2} \right)^2 \right]^2 \times \pi \times 0,97 \times 40,35 \times 7,88 \times 10^{-3}$$

$$G_{j2} = 199,267 \text{ kg}$$

Rotor dışlerinin ağırlığı;

$$G_{d2} = \left\{ \pi \left[ \left( \frac{D_r}{2} \right)^2 - \left( \frac{D_r - 2h_{02}}{2} \right)^2 \right] - N_2 \times [S + h_{02} \times b_{02}] \right\} \times k_{fe} \times L_i \times \gamma_{fe} \times 10^{-3}$$

$$G_{d2} = \left\{ \pi \left[ \left( \frac{59,74}{2} \right)^2 - \left( \frac{59,74 - 9,516}{2} \right)^2 \right] - 58 \times [4,76 + 0,2 \times 0,25] \right\} \times 0,97 \times 40,35 \times 7,88 \times 10^{-3}$$

$$G_{d2} = 167,426 \text{ kg}$$

Rotor reaktans değerinin hesabı

Yol alma kafesinin dağılma iletkenliği

$$\lambda_{0d} = 0,66 + \frac{h_4}{b_4} = 0,66 + \frac{2}{2,5} = 1,46$$

$$\Lambda_{0d} = 47,1 \times 1,46 = 68,766$$

Bobin başı dağılma iletkenliği

$$\Lambda_{bb2d} = \frac{Z_2}{2p \times m_i} \times \tau_p \times g_{bb} \quad y = 0,223 \times (b_{hd} + h_{hd})$$

$$b_{hd}=20 \text{ mm} \quad h_{hd}=9,125 \text{ mm}$$

$y = 0,223 \times (b_{hd} + h_{hd})$  'de değerler yerine konulursa,  $y=6,494$  bulunur.

$$x_d = 183,28 \text{ mm} \text{ olduğundan}$$

$$\frac{\tau_p}{x_d} = 1,713 \quad \frac{x_d}{y} = 2,822$$

Şekil 1.14'ten  $g_{bb}=0,10$  bulunur. Böylece ;

$$\Lambda_{bb2d} = \frac{58}{6 \times 3} \times 31,4 \times 0,10 = 10,12$$

Yol alma kafesinin reaktansı

$$X_{2od} = 0,8 \times \pi^2 \times f \times (\Lambda_{0d} + \Lambda_{bb}) \times 10^{-8}$$

$$X_{2od} = 0,8 \times \pi^2 \times 50 \times (68,766 + 10,12) \times 10^{-8}$$

$$X_{2od} = 3,11 \times 10^{-4} \quad \Omega$$

Çalışma kafesinin dağılma reaktansı

$$\lambda_{0i} = 0,8 + \frac{h_g}{b_g} + \frac{h_l}{3b_l} = 0,8 + \frac{4}{2} + \frac{33,8}{3 \times 12,8} = 3,68$$

$$\Lambda_{0i} = l_{0i} \times \lambda_{0i} = 47,1 \times 3,68 = 173,328$$

Bobin başı dağılma iletkenliği

$$y = 0,223 \times (b_{hi} + h_{hi}) \text{ idi. } b_{hi}=31,7712 \text{ mm ; } h_{hi}=50 \text{ mm}$$

için değerler yerine konursa

$$y = 0,223(5 + 3,177) = 1,823 \text{ cm}$$

$$x = 191,28 \text{ mm için } \frac{x}{y} = 10,49 \quad \frac{\tau_p}{x} = \frac{31,41}{19,128} = 1,642$$

Şekil 1.14'den  $g_{bb} = 0,28$  okunur.

Bu durumda bobin başı dağılma iletkenliği

$$\Lambda_{bb} = \frac{N_2}{2p \times m_1} \times \tau_p \times g_{bb}$$

$$\Lambda_{bb} = \frac{58}{6 \times 3} \times 31,41 \times 0,28 = 28,33$$

Çalışma kafesinin reaktansı

$$X_{2oi} = 0,8 \times \pi^2 \times f \times (\Lambda_{0i} + \Lambda_{bb}) \times 10^{-8}$$

$$X_{2oi} = 0,8 \times \pi^2 \times 50 \times (173,28 + 28,33) \times 10^{-8}$$

$$X_{2oi} = 7,961 \times 10^{-4} \quad \Omega$$

Faz başına yol alma kafesinin ohmik direnci

$$D_{hd} = 600 - (0,26 + 20) = 579,74 \text{ mm}$$

Rotor kafesinin direnç ve endüktans değerleri

Yol alma kafesinin direnci

$$R_{2d} = \rho \times \left( \frac{l_{cd}}{q_{cd}} + \frac{D_{hd} \times N_2}{2\pi \times p^2 \times q_{hd}} \right) \times 1,1$$

$$R_{2d} = 0,0264 \times 1,1 \times \left( \frac{0,579}{46,8} + \frac{0,579 \times 58}{2\pi \times 9 \times 182,5} \right)$$

$$R_{2d} = 4,537 \times 10^{-4} \quad \Omega$$

Çalışma kafesinin direnci;

$$R_{2i} = \rho \times \left( \frac{l_{ci}}{q_{ci}} + \frac{D_{hi} \times N_2}{2\pi \times p^2 \times q_{hi}} \right) \times 1,1$$

$$R_{2i} = 0,0264 \times 1,1 \times \left( \frac{0,579}{432,55} + \frac{0,509 \times 58}{2\pi \times 9 \times 1588,56} \right)$$

$$R_{2i} = 4,841 \times 10^{-5} \quad \Omega$$

$$R_{2r} = \frac{R_d \cdot R_t \cdot R_s + R_d \cdot X_{oi}^2 + R_t \cdot X_{ot}^2}{R_t^2 + X_{oi}^2}$$

$$X_{2or} = \frac{R_d^2 \cdot X_{oi} + R_t^2 \cdot X_{ot} + X_n \cdot X_{ot} \cdot X_{oi}}{R_t^2 + X_{oi}^2}$$

$$R_t = R_{2i} + R_{2d} = 4,841 \times 10^{-5} + 4,537 \times 10^{-4} = 5,021 \times 10^{-4} \quad \Omega$$

$$X_t = X_{ot} + X_{oi} = 3,11 \times 10^{-4} + 7,961 \times 10^{-4} = 11,071 \times 10^{-4}$$

$$R_{2r} = \frac{4,537 \times 0,4841 \times 5,021 \times 10^{-13} + 4,537 \times 10^{-1} \times (7,961 \times 10^{-4})^2 + 0,4841 \times 10^{-4} \times (3,11 \times 10^{-4})^2}{(5,021 \times 10^{-4})^2 + (11,071 \times 10^{-4})^2}$$

$$X_{2\sigma} = \frac{(4,537 \times 10^{-4})^2 \times 7,961 \times 10^{-4} + (0,4841 \times 10^{-4})^2 \times 3,11 \times 10^{-4} + 11,071 \times 7,961 \times 3,11 \times 10^{-12}}{(5,021 \times 10^{-4})^2 + (11,071 \times 10^{-4})^2}$$

$$R_{2r} = \frac{11,027 \times 10^{-13} + 287,543 \times 10^{-12} + 4,682 \times 10^{-12}}{147,77 \times 10^{-8}}$$

$$R_{2r} = 1,985 \times 10^{-4} \quad \Omega$$

$$X_{2\sigma} = \frac{163,872 \times 10^{-12} + 0,728 \times 10^{-12} + 274,1 \times 10^{-12}}{147,77 \times 10^{-8}}$$

$$X_{2\sigma} = 2,968 \times 10^{-4} \quad \Omega$$

$$X_{2\sigma} = X_{2\sigma} + X_{2hu} = 2,968 \times 10^{-4} + 1,511 \times 10^{-4} = 4,479 \times 10^{-4}$$

$$X'_{2\sigma} = 1,64 \quad X'_{2\sigma} = 0,109$$

$$R'_2 = 0,751 \quad ; \quad r'_2 = 0,0349$$

Magnetik devrenin toplam magnetik gerilimi;

$$\begin{aligned} \theta_{tamdevre} &= \sum V = 2V_\delta + 2V_{d1} + 2V_{d2} + V_{j1} + V_{j2} \\ &= 2 \times 1213,823 + 67,2 + 518,53 + 147,753 + 110,46 \\ &= 3271,589 \text{ A} \end{aligned}$$

Mıknatışlanma akımının efektif değeri;

$$I_\mu = \frac{P \times \sum V}{0,9 \times m_1 \times w_1 \times \xi_s} = \frac{3 \times 3271,589}{0,9 \times 3 \times 144 \times 0,924} = 27,32 \text{ A}$$

$$X_m = \frac{|\vec{E}|}{I_\mu} = \frac{2582,79}{27,32} = 94,538 \quad \Omega$$

Stator dağılma faktörü

$$\sigma_1 = \frac{X_{1\sigma}}{X_m} = \frac{5,23}{94,538} = 0,0553$$

$$\tau_1 = 1 + \sigma_1 = 1,0553$$

Tashihli L eşdeğer devreden s=1 için kalkış akımı

$$I_{1k} = \frac{\tau_1 \times U_1}{\sqrt{R_k^2 + X_k^2}}$$

$$R_K = \tau_1 \cdot R_1 + \tau_1^2 \cdot R'_2 = 1,0553 \times 0,3 + 1,0553^2 \times 0,751 = 1,152$$

$$X_K = \tau_1 \cdot X_{1\sigma} + \tau_1^2 \cdot X'_{2\sigma} = 1,0553 \times 5,23 + 1,0553^2 \times 1,64 = 7,345$$

$$I_{1k} = \frac{1,0553 \times 4000}{\sqrt{3} \times 7,435} = 327,788 \text{ A}$$

Yol alma momenti

$$\begin{aligned} M_{dy} &= \frac{60}{2\pi \times n} \times m_1 \times \frac{U_1^2 \times R_2'}{(R_1 + \tau_1 \times R_2')^2 + X_k^2} \\ M_{dy} &= \frac{60}{2\pi \times 1000} \times 3 \times \frac{2310^2 \times 0,751}{(0,3 + 1,0553 \times 0,751)^2 + 7,345^2} \\ M_{dy} &= 2081,943 \text{ Nm} \end{aligned}$$

Yol vermedeki iyilik derecesi

$$g = \frac{M_{dy}/M_{dN}}{I_{1K}/I_{1N}} = \frac{2081,943/4774,64}{327,788/88} = 0,117$$

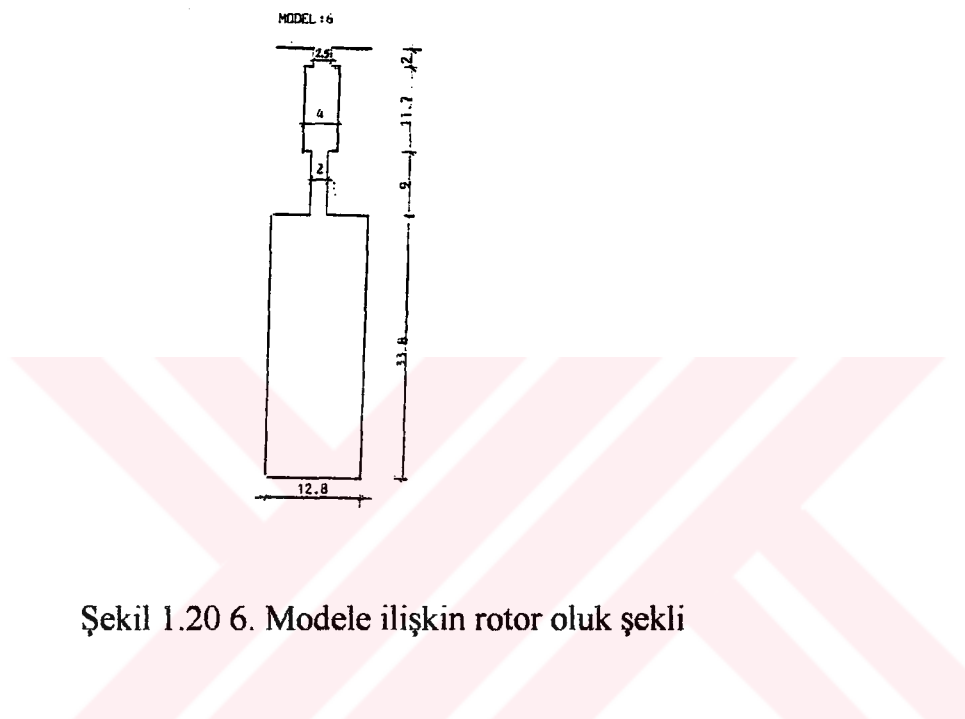
Devrilme momenti

$$\begin{aligned} M_{dD} &= \frac{50}{2\pi \times n} \times \frac{m_1}{2} \times \frac{U_1^2}{[\tau_1 \times R_1 + \sqrt{(\tau_1 \times R_1)^2 + X_k^2}]} \\ M_{dD} &= \frac{50}{2\pi \times 1000} \times \frac{3}{2} \times \frac{2310^2}{1,0553 \times 0,3 + \sqrt{(1,0553 \times 0,3)^2 + 7,345^2}} \\ M_{dD} &= 8306,155 \text{ Nm} \end{aligned}$$

$$\cos \varphi_K = \frac{R_K}{\sqrt{R_K^2 + X_K^2}} = \frac{1,152}{7,435} = 0,154 \Rightarrow \varphi_K = 81,086^\circ$$

### 1.2.6 6. Makina Modelinin Tanıtımı ve Eşdeğer Devre Parametrelerinin Hesabı

Bu modele ilişkin rotor oluk şekli şekil 1.20'de verilmiştir.



Şekil 1.20 6. Modele ilişkin rotor oluk şekli

**Yol alma kafesinin halka büyüklükleri**

$$b_{hd} = 7,3 \text{ mm} \quad h_{hd} = 25 \text{ mm}$$

**Çalışma kafesinin halka büyüklükleri**

$$h_{hi} = 75 \text{ mm} \quad b_{hi} = 21,18 \text{ mm}$$

$$D_{hi} = 472,4 \text{ mm} \quad D_{hd} = 572,4 \text{ mm}$$

Faz başına yol alma kafesinin ohmik direnci; % 10 lehim yerleri için ilavelerle birlikte.

$$R_{2d} = \rho \times \left( \frac{l_{qd}}{q_{qd}} + \frac{D_{hd} \times N_2}{2\pi \times p^2 \times q_{hd}} \right) \times 1,1$$

$$R_{2d} = 0,0264 \times 1,1 \times \left( \frac{0,579}{46,8} + \frac{0,572 \times 58}{2\pi \times 9 \times 182,5} \right)$$

$$R_{2d} = 4,526 \times 10^{-4} \quad \Omega$$

$$R_{2i} = 0,0264 \times 1,1 \times \left( \frac{0,579}{432,55} + \frac{0,472 \times 58}{2\pi \times 9 \times 1588,56} \right)$$

$$R_{2i} = 4,772 \times 10^{-5} \quad \Omega$$

$$R_t = R_{2i} + R_{2d} = 5 \times 10^{-4} \quad \Omega$$

Diş genişlikleri;

$$b'_{d2} = (600 - 2,6 - 15,7) \frac{\pi}{58} - 4 = 27,5 \quad \text{mm}$$

$$b''_{d2} = (600 - 2,6 - 36,4) \frac{\pi}{58} - 2 = 28,386 \quad \text{mm}$$

$$b'''_{d2} = (600 - 2,6 - 79,2) \frac{\pi}{58} - 12,8 = 15,26 \quad \text{mm}$$

$$B'_{d2} = \frac{L_i}{k_{fe} \cdot L_{Topl}} \cdot \frac{\tau_{02}}{b'_{d2}} \cdot B_\delta = \frac{40,35 \times 3,249 \times 0,826}{0,97 \times 49,3 \times 2,75} = 0,822 \quad \text{T}$$

$$B''_{d2} = \frac{L_i}{k_{fe} \cdot L_{Topl}} \cdot \frac{\tau_{02}}{b''_{d2}} \cdot B_\delta = \frac{40,35 \times 3,249 \times 0,826}{0,97 \times 49,3 \times 2,8386} = 0,796 \quad \text{T}$$

$$B'''_{d2} = \frac{L_i}{k_{fe} \cdot L_{Topl}} \cdot \frac{\tau_{02}}{b'''_{d2}} \cdot B_\delta = \frac{40,35 \times 3,249 \times 0,826}{0,97 \times 49,3 \times 1,526} = 1,482 \quad \text{T}$$

Şekil 1.6'dan bu endüksiyonlara ait alan şiddetleri ise  $H_{d2}' = 4,2 \text{ A/cm}$

$$H_{d2}'' = 3,9 \text{ A/cm}, H_{d2}''' = 10 \text{ A/cm}$$

Rotor dışlarında toplam magnetik gerilim

$$2V_{d2} = 2(l'_{d2} \times H'_{d2} + l''_{d2} \times H''_{d2} + l'''_{d2} \times H'''_{d2})$$

$$2V_{d2} = 2 \times (4,2 \times 1,3 + 0,9 \times 3,9 + 3,38 \times 10) = 85,54 \text{ A}$$

$h_{j2}=117,4 \text{ mm}$  idi.

Rotor iç çapı  $D_{riç}$  ise

$$D_{riç} = 600 - (2,6 + 113 + 117,4) = 367 \text{ mm}$$

$$l_{j2} = \frac{\pi \times (D_{riç} + h_{j2})}{2p}$$

$$l_{j2} = \frac{\pi \times (367 + 117,4)}{6} = 253,63 \text{ mm} = 25,363 \text{ cm}$$

Rotor boyunduruğundaki toplam magnetik gerilim

$$V_{j2} = I_{j2} \times H_{j2} = 4,2 \times 25,363 = 106,52 \text{ A}$$

Rotor boyunduruk ağırlığı ;

$$G_{j2} = \left[ \left( \frac{D_{nj} + h_{j2}}{2} \right)^2 - \left( \frac{D_{nj}}{2} \right)^2 \right]^2 \times \pi \times k_{fe} \times L_i \times \gamma_{fe} \times 10^{-3}$$

$$G_{j2} = \left[ \left( \frac{36,7 + 11,3}{2} \right)^2 - \left( \frac{36,7}{2} \right)^2 \right]^2 \times \pi \times 0,97 \times 40,35 \times 7,88 \times 10^{-3}$$

$$G_{j2} = 231,841 \text{ kg}$$

Rotor dışlerinin ağırlığı;

$$G_{d2} = \left\{ \pi \left[ \left( \frac{D_r}{2} \right)^2 - \left( \frac{D_r - 2h_{02}}{2} \right)^2 \right] - N_2 \times [S + h_{02} \times b_{02}] \right\} \times k_{fe} \times L_i \times \gamma_{fe} \times 10^{-3}$$

$$G_{d2} = \left\{ \pi \left[ \left( \frac{59,74}{2} \right)^2 - \left( \frac{59,74 - 11,3}{2} \right)^2 \right] - 58 \times [4,76 + 0,2 \times 0,25] \right\} \times 0,97 \times 40,35 \times 7,88 \times 10^{-3}$$

$$G_{d2} = 210,067 \text{ kg}$$

Rotor reaktanslarının hesabı

Yol alma kafesinin dağılma reaktansı

$$\lambda_{02d} = \frac{h_4}{b_4} + \frac{h_d}{3b_d} = \frac{11,7}{12} + \frac{2}{2,5} = 1,775$$

$$\Lambda_{02d} = 47,1 \times 1,775 = 83,6$$

Bobin başı dağılma iletkenliği

$$y = 0,223 \times (b_{hi} + h_{hi}) = 0,223(7,3 + 25) = 0,72 \text{ cm}$$

$$x = 194,816 \text{ mm için } \frac{x}{y} = 27,05 \quad \tau_p/x = \frac{31,41}{19,481} = 1,612$$

Şekil 1.14'den  $g_{bb} = 0,45$  bulunur.

$$\Lambda_{bb2} = \frac{58}{6 \times 3} \times 31,41 \times 0,36 = 36,43$$

Yol alma kafesinin reaktansı

$$X_{2oi} = 0,8 \times \pi^2 \times f \times (\Lambda_{0d} + \Lambda_{bb}) \times 10^{-8}$$

$$X_{2oi} = 0,8 \times \pi^2 \times 50 \times (83,6 + 36,43) \times 10^{-8}$$

$$X_{2oi} = 4,738 \times 10^{-4} \Omega$$

Çalışma kafesinin dağılma reaktansı

$$\lambda_{0i} = \frac{h_d}{2b_d} + \frac{h_g}{b_g} + \frac{h_t}{3b_t} = \frac{11,7}{2 \times 4} + \frac{9}{2} + \frac{33,8}{3 \times 12,8} = 6,84$$

$$\Lambda_{0i} = l_{0i} \times \lambda_{0i} = 47,1 \times 6,84 = 322,164$$

Bobin başı dağılma iletkenliği

$$y = 0,223 \times (b_{hi} + h_{hi}) = 0,223(75 + 21,18) = 21,448 \text{ mm} = 2,1448 \text{ cm}$$

$$x = 205,16 \text{ mm} \text{ için } \frac{x}{y} = 9,56 \quad \frac{\tau_p}{x} = \frac{31,41}{20,51} = 1,531$$

Şekil 1.14'den  $g_{bb} = 0,27$  bulunur.

$$\Lambda_{bbi} = \frac{N_2}{2p \times m} \times \tau_p \times g_{bb}$$

$$\Lambda_{bbi} = \frac{58}{6 \times 3} \times 31,41 \times 0,27 = 27,32$$

$$X_{2oi} = 0,8 \times \pi^2 \times f \times (\Lambda_{0i} + \Lambda_{bbi}) \times 10^{-8}$$

$$X_{2oi} = 0,8 \times \pi^2 \times 50 \times (322,164 + 27,32) \times 10^{-8}$$

$$X_{2oi} = 13,79 \times 10^{-4} \Omega$$

Çift kafesli ve kısa devre halkaları bağımsız rotorun bileşke ohmik direnci ile bileşke dağılma reaktansı  $s=1$  için

$$R_{2r} = \frac{R_d \cdot R_t \cdot R_s + R_d \cdot X_{oi}^2 + R_t \cdot X_{ot}^2}{R_t^2 + X_{oi}^2}$$

$$X_{2or} = \frac{R_d^2 \cdot X_{oi} + R_t^2 \cdot X_{ot} + X_n \cdot X_{ot} \cdot X_{oi}}{R_t^2 + X_{oi}^2}$$

$$R_{2r} = \frac{4,526 \times 4,772 \times 5 \times 10^{-13} + 4,526 \times 10^{-4} \times (13,79 \times 10^{-4})^2 + 4,772 \times 10^{-5} \times (4,738 \times 10^{-4})^2}{(5 \times 10^{-4})^2 + (18,535 \times 10^{-4})^2}$$

$$R_{2r} = \frac{107,99 \times 10^{-13} + 860,682 \times 10^{-12} + 107,12 \times 10^{-13}}{368,54 \times 10^{-8}}$$

$$R_{2r} = 8,172 \times 10^{-5} \Omega$$

$$X_{2or} = \frac{(4,526 \times 10^{-4})^2 \times 13,79 \times 10^{-4} + (4,772 \times 10^{-5})^2 \times 4,738 \times 10^{-4} + 18,535 \times 4,735 \times 13,79 \times 10^{-12}}{368,54 \times 10^{-8}}$$

$$X_{2or} = \frac{282,483 \times 10^{-12} + 107,893 \times 10^{-11} + 1211,02 \times 10^{-12}}{368,54 \times 10^{-8}}$$

$$X_{2or} = 4,055 \times 10^{-4} \Omega$$

$$R_t = R_i + R_d = 4,772 \times 10^{-4} + 4,526 \times 10^{-5} = 5 \times 10^{-4} \Omega$$

$$X_{\sigma\sigma} = X_{\sigma\sigma} + X_{\sigma\sigma} = 13,79 \times 10^{-4} + 4,738 \times 10^{-4} = 18,535 \times 10^{-4}$$

$$X'_{2\sigma} = 1,485 \quad x'_{2\sigma} = 0,0987$$

$$R'_2 = 0,299 \quad ; \quad r'_2 = 0,0138$$

Magnetik devrenin toplam magnetik gerilimi;

$$\begin{aligned}\theta_{tamdevre} &= \sum V = 2V_\delta + 2V_{d1} + 2V_{d2} + V_{j1} + V_{j2} \\ &= 2 \times 1213,823 + 67,2 + 106,52 + 147,753 + 85,54 \\ &= 2384,65 \text{ A}\end{aligned}$$

Mıknatışlanma akımının efektif değeri;

$$\begin{aligned}I_\mu &= \frac{p \times \sum V}{0,9 \times m_1 \times w_1 \times \xi_s} = \frac{3 \times 2384,65}{0,9 \times 3 \times 144 \times 0,924} = 23,671 \text{ A} \\ X_m &= \frac{|\vec{E}|}{I_\mu} = \frac{2582,79}{23,671} = 109,11 \Omega\end{aligned}$$

Stator dağılıma faktörü

$$\sigma_1 = \frac{X_{1\sigma}}{X_m} = \frac{5,23}{109,11} = 0,0479$$

$$\tau_1 = 1 + \sigma_1 = 1,0479$$

Tashihli L eşdeğer devreden s=1 için kalkış akımı

$$I_{1k} = \frac{\tau_1 \times U_1}{\sqrt{R_K^2 + X_K^2}}$$

$$R_K = \tau_1 \cdot R_1 + \tau_1^2 \cdot R_2' = 1,0479 \times 0,3 + 1,0479^2 \times 0,299 = 0,642$$

$$X_K = \tau_1 \cdot X_{1\sigma} + \tau_1^2 \cdot X'_{2\sigma} = 1,0479 \times 5,23 + 1,0479^2 \times 1,485 = 7,111$$

$$I_{1k} = \frac{1,0479 \times 4000}{\sqrt{3} \times 7,111} = 338,939 \text{ A}$$

Yol alma momenti

$$M_{dy} = \frac{60}{2\pi \times n} \times m_1 \times \frac{U_1^2 \times R_2'}{(R_1 + \tau_1 \times R_2')^2 + X_K^2}$$

$$M_{dy} = \frac{60}{2\pi \times 1000} \times 3 \times \frac{2310^2 \times 0,299}{(0,3 + 1,0479 \times 0,299)^2 + 7,111^2}$$

$$M_{dy} = 897,237 \text{ Nm}$$

Yol vermedeki iyilik derecesi

$$g = \frac{M_{dy}/M_{dN}}{I_{IK}/I_{IN}} = \frac{897,237/4774,64}{338,939/88} = 0,08$$

Devrilme momenti

$$M_{dD} = \frac{50}{2\pi \times n} \times \frac{m_1}{2} \times \frac{U_1^2}{[\tau_1 \times R_1 + \sqrt{(\tau_1 \times R_1)^2 + X_K^2}]}$$

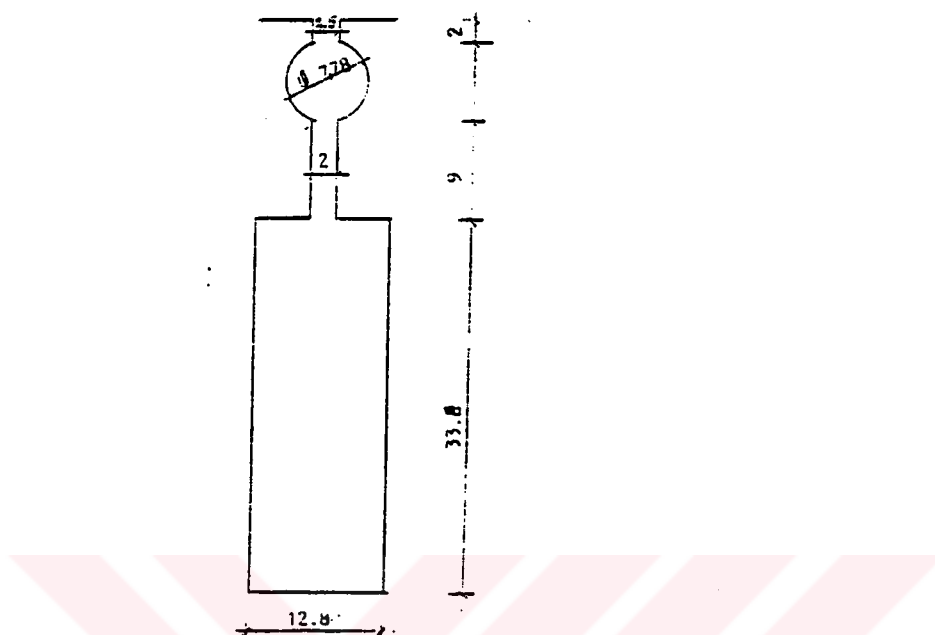
$$M_{dD} = \frac{50}{2\pi \times 1000} \times \frac{3}{2} \times \frac{2310^2}{1,0479 \times 0,3 + \sqrt{(1,0479 \times 0,3)^2 + 7,111^2}}$$

$$M_{dD} = 8570 \text{ Nm}$$

$$\cos \varphi_K = \frac{R_K}{\sqrt{R_K^2 + X_K^2}} = \frac{0,642}{7,139} = 0,0899 \Rightarrow \varphi_K = 84,843^\circ$$

### 1.2.7 7. Makina Modelinin Tanıtımı ve Eşdeğer Devre Parametrelerinin Hesabı

Bu modele ilişkin rotor oluk şekli şekil 1.21'de verilmiştir.



Şekil 1.21 7. Modele ilişkin rotor oluk şekli

Yol alma kafesinin halka büyüklükleri

$$b_{hd} = 9,125 \text{ mm} \quad h_{hd} = 20 \text{ mm}$$

Çalışma kafesinin halka büyüklükleri

$$h_{hi} = 50 \text{ mm} \quad b_{hi} = 31,7712 \text{ mm}$$

Diş genişlikleri;

$$b'_{d2} = (600 - 2,6 - 11,718) \frac{\pi}{58} - 7,718 = 24 \text{ mm}$$

$$b''_{d2} = (600 - 2,6 - 28,436) \frac{\pi}{58} - 2 = 28,818 \text{ mm}$$

$$b'''_{d2} = (600 - 2,6 - 71,236) \frac{\pi}{58} - 12,8 = 15,699 \text{ mm}$$

$$B'_{d2} = \frac{L_i}{k_{fe} \cdot L_{Topl}} \cdot \frac{\tau_{02}}{b'_{d2}} \cdot B_\delta = \frac{40,35 \times 3,249 \times 0,826}{0,97 \times 49,3 \times 2,4} = 0,943 \text{ T}$$

$$B''_{d2} = \frac{L_i}{k_{fe} \cdot L_{Topl}} \cdot \frac{\tau_{02}}{b''_{d2}} \cdot B_\delta = \frac{40,35 \times 3,249 \times 0,826}{0,97 \times 49,3 \times 2,8818} = 0,784 \text{ T}$$

$$B'''_{d2} = \frac{L_i}{k_{fe} \cdot L_{Topl}} \cdot \frac{\tau_{02}}{b'''_{d2}} \cdot B_\delta = \frac{40,35 \times 3,249 \times 0,826}{0,97 \times 49,3 \times 1,5699} = 1,442 \text{ T}$$

Şekil 1.6'daki mıknatışlanma eğrilerinden  $p_i > 3$  W/kg'luk saç için bu endüksiyonlara ait alan şiddetleri ise  $H_{d2}' = 4,7 \text{ A/cm}$   $H_{d2}'' = 4 \text{ A/cm}$ ,  $H_{d2}''' = 10 \text{ A/cm}$

Rotor dışlarındeki toplam magnetik gerilim

$$2V_{d2} = 2(l'_{d2} \times H'_{d2} + l''_{d2} \times H''_{d2} + l'''_{d2} \times H'''_{d2})$$

$$2V_{d2} = 2 \times (4,7 \times 0,978 + 0,9 \times 4 + 3,36 \times 10) = 41,796 \text{ A}$$

Rotor boyunduruğunuñ  $l_{j2}$  uzunluğu, boyunduruk ortasında ölçülen kutup taksimatına eşittir.

Rotor iç çapı  $D_{riç}$  ise

$$D_{riç} = 600 - (2,6 + 113 + 117,4) = 374,964 \text{ mm}$$

Bu durumda  $l_{j2}$  ise;

$$l_{j2} = \frac{\pi \times (D_{riç} + h_{j2})}{2p}$$

$$l_{j2} = \frac{\pi \times (374,964 + 117,4)}{6} = 257,801 \text{ mm}$$

Rotor boyunduruğunuñ kısmi magnetik gerilimi  $V_{j2}$ :

$V_{j2} = l_{j2} \times H_{j2}$  dir.  $B_{j2}=0,843 \text{ T}$  için şekil 1.6'dan  $H_{j2}=4,2 \text{ A/cm}$  dir.

$V_{j2}=108,276$  dir.

Rotor boyunduruk ağırlığı ;

$$G_{j2} = \left[ \left( \frac{D_{riç} + h_{j2}}{2} \right)^2 - \left( \frac{D_{riç}}{2} \right)^2 \right]^2 \times \pi \times k_{fe} \times L_i \times \gamma_{fe} \times 10^{-3}$$

$$G_{j2} = \left[ \left( \frac{37,49 + 10,51}{2} \right)^2 - \left( \frac{37,49}{2} \right)^2 \right]^2 \times \pi \times 0,97 \times 40,35 \times 7,88 \times 10^{-3}$$

$$G_{j2} = 217,645 \text{ kg}$$

Rotor dişlerinin ağırlığı;

$$G_{d2} = \left\{ \pi \left[ \left( \frac{D_r}{2} \right)^2 - \left( \frac{D_r - 2h_{02}}{2} \right)^2 \right] - N_2 \times [S + h_{02} \times b_{02}] \right\} \times k_{f\theta} \times L_i \times \gamma_{Fe} \times 10^{-3}$$

$$G_{d2} = \left\{ \pi \left[ \left( \frac{59,74}{2} \right)^2 - \left( \frac{59,74 - 10,516}{2} \right)^2 \right] - 58 \times [4,7 + 0,2 \times 0,25] \right\} \times 0,97 \times 40,35 \times 7,88 \times 10^{-3}$$

$$G_{d2} = 192,588 \text{ kg}$$

Rotor reaktanslarının hesabı

Yol alma kafesinin dağılma reaktansı

$$\lambda_{02d} = 0,66 + \frac{h_4}{b_4} = 0,66 + \frac{2}{2,5} = 1,46$$

$$\Lambda_{0d} = 47,1 \times 1,46 = 68,766$$

Bobin başı dağılma iletkenliği

$$\Lambda_{bb2d} = \frac{Z_2}{2p \times m_1} \times \tau_p \times g_{bb}$$

$$y = 0,223 \times (b_{hd} + h_{hd})$$

$b_{hd}=20 \text{ mm}$ ,  $h_{hd}=9,125 \text{ mm}$  için  $y = 6,494$  bulunur.

$$x_d = 200 \text{ mm} \text{ olduğundan } \frac{x_d}{y} = 3 \quad \frac{\tau_p}{x_d} = 1,57 \text{ bulunur.}$$

Şekil 1.14'den  $g_{bb} = 0,075$  bulunur. Böylece;

$$\Lambda_{bbd} = \frac{58}{6 \times 3} \times 31,41 \times 0,075 = 7,59$$

Yol alma kafesinin reaktansı

$$X_{2od} = 0,8 \times \pi^2 \times f \times (\Lambda_{0d} + \Lambda_{bbd}) \times 10^{-8}$$

$$X_{2od} = 0,8 \times \pi^2 \times 50 \times (68,766 + 7,59) \times 10^{-8}$$

$$X_{2od} = 3,0144 \times 10^{-4} \Omega$$

Çalışma kafesinin dağılma iletkenliği

$$\lambda_{0i} = 0,8 + \frac{h_g}{b_g} + \frac{h_i}{3b_i} = 0,8 + \frac{4}{2} + \frac{33,8}{3 \times 12,8} = 3,68$$

$$\Lambda_{0i} = l_{0i} \times \lambda_{0i} = 47,1 \times 3,68 = 173,328$$

Bobin başı dağılma iletkenliği

$$y = 0,223 \times (b_{hi} + h_{hi}) = 0,223(5 + 3,177) = 1,823$$

$$x = 209 \text{ mm için } \frac{x}{y} = 11,46 \quad \tau_p/x = \frac{31,41}{20,51} = 1,5$$

Şekil 1.14'den  $g_{bb} = 0,28$  bulunur.

Bu durumda bobin başı dağılıma iletkenliği

$$\begin{aligned}\Lambda_{bb} &= \frac{N_2}{2p \times m} \times \tau_p \times g_{bb} \\ \Lambda_{bb} &= \frac{58}{6 \times 3} \times 31,41 \times 0,28 = 28,336\end{aligned}$$

Çalışma kafesinin reaktansı

$$\begin{aligned}X_{2\sigma i} &= 0,8 \times \pi^2 \times f \times (\Lambda_{0i} + \Lambda_{bb}) \times 10^{-8} \\ X_{2\sigma i} &= 0,8 \times \pi^2 \times 50 \times (173,328 + 28,336) \times 10^{-8} \\ X_{2\sigma i} &= 7,961 \times 10^{-4} \quad \Omega\end{aligned}$$

Halkalanma reaktansı ; bir önceki bölümle aynı değerdedir, çünkü, makina büyüklükleri değişmemiştir.

Faz başına yol alma kafesinin ohmik direnci

$$\begin{aligned}R_{2d} &= \rho \times \left( \frac{l_{qd}}{q_{qd}} + \frac{D_{hd} \times N_2}{2\pi \times p^2 \times q_{hd}} \right) \times 1,1 \\ R_{2d} &= 0,0264 \times 1,1 \times \left( \frac{0,579}{47,53} + \frac{0,579 \times 58}{2\pi \times 9 \times 182,5} \right) \\ R_{2d} &= 4,482 \times 10^{-4} \quad \Omega \\ D_{hi} &= 600 - (0,26 + 40 + 50) = 509,74 \text{ mm} \\ R_{2i} &= 0,0264 \times 1,1 \times \left( \frac{0,579}{432,64} + \frac{0,50974 \times 58}{2\pi \times 9 \times 1588,56} \right) \\ R_{2i} &= 4,842 \times 10^{-5} \quad \Omega \\ R_t &= R_{2i} + R_{2d} = 4,966 \times 10^{-4} \quad \Omega\end{aligned}$$

Çift kafesli ve kısa devre halkaları bağımsız rotorun bileşke ohmik direnci ile bileşke reaktansı  $s=1$  için

$$\begin{aligned}R_{2r} &= \frac{R_d \cdot R_i \cdot R_s + R_d \cdot X_{\sigma i}^2 + R_i \cdot X_{\sigma d}^2}{R_i^2 + X_{\sigma i}^2} \\ X_{2\sigma r} &= \frac{R_d^2 \cdot X_{\sigma i} + R_i^2 \cdot X_{\sigma d} + X_{ri} \cdot X_{\sigma d} \cdot X_{\sigma i}}{R_i^2 + X_{\sigma i}^2}\end{aligned}$$

$$R_{2r} = \frac{4,482 \times 4,842 \times 4,966 \times 10^{-13} + 4,482 \times 10^{-4} \times (7,962 \times 10^{-4})^2 + 4,966 \times 10^{-5} \times (3,0441 \times 10^{-4})^2}{(4,966 \times 10^{-4})^2 + (10,975 \times 10^{-4})^2}$$

$$R_{2r} = \frac{107,72 \times 10^{-13} + 284,12 \times 10^{-12} + 45,124 \times 10^{-13}}{145,111 \times 10^{-8}}$$

$$R_{2r} = 1,249 \times 10^{-4} \quad \Omega$$

$$X_{2\sigma} = \frac{(4,482 \times 10^{-4})^2 \times 7,961 \times 10^{-4} + (4,842 \times 10^{-5})^2 \times 3,0144 \times 10^{-4} + 3,0144 \times 7,961 \times 10,975 \times 10^{-12}}{(4,966 \times 10^{-4})^2 + (10,975 \times 10^{-4})^2}$$

$$X_{2\sigma} = \frac{282,483 \times 10^{-12} + 107,893 \times 10^{-14} + 1211,02 \times 10^{-12}}{145,111 \times 10^{-8}}$$

$$X_{2\sigma} = 2,921 \times 10^{-4} \quad \Omega$$

$$X_{2\sigma} = X_{2\sigma} + X_{2ha} = 2,921 \times 10^{-4} + 1,511 \times 10^{-4} = 4,432 \times 10^{-4}$$

$$X'_{2\sigma} = 1,623 \quad x'_{2\sigma} = 0,1079$$

$$R'_2 = 0,457 \quad ; \quad r'_2 = 0,0212$$

Magnetik devrenin topam magnetik gerilimi;

$$\begin{aligned} \theta_{tamdevre} &= \sum V = 2V_s + 2V_{d1} + 2V_{d2} + V_{j1} + V_{j2} \\ &= 2 \times 1213,823 + 67,2 + 41,796 + 147,753 + 108,276 \\ &= 2792,671 \text{ A} \end{aligned}$$

Mıknatışlanma akımının efektif değeri;

$$I_\mu = \frac{p \times \sum V}{0,9 \times m_1 \times w_1 \times \xi_s} = \frac{3 \times 2792,671}{0,9 \times 3 \times 144 \times 0,924} = 23,32 \text{ A}$$

$$X_m = \frac{|\vec{E}|}{I_\mu} = \frac{2582,79}{23,32} = 110,75 \quad \Omega$$

Stator dağılıma faktörü

$$\sigma_1 = \frac{X_{1\sigma}}{X_m} = \frac{5,23}{110,75} = 0,0472$$

$$\tau_1 = 1 + \sigma_1 = 1,0472$$

Tashihli L eşdeğer devreden s=1 için kalkış akımı

$$I_{1k} = \frac{\tau_1 \times U_1}{\sqrt{R_K^2 + X_K^2}}$$

$$R_K = \tau_1 \cdot R_l + \tau_1^2 \cdot R'_2 = 1,0472 \times 0,3 + 1,0472^2 \times 0,457 = 0,815$$

$$X_K = \tau_1 \cdot X_{1\sigma} + \tau_1^2 \cdot X'_{2\sigma} = 1,0472 \times 5,23 + 1,0472^2 \times 1,623 = 7,256$$

$$I_{1k} = \frac{1,0472 \times 4000}{\sqrt{3} \times 7,3} = 331,183 \text{ A}$$

Yol alma momenti

$$\begin{aligned} M_{dy} &= \frac{60}{2\pi \times n} \times m_1 \times \frac{U_1^2 \times R'_2}{(R_1 + \tau_1 \times R'_2)^2 + X_K^2} \\ M_{dy} &= \frac{60}{2\pi \times 1000} \times 3 \times \frac{2310^2 \times 0,457}{(0,3 + 1,0472 \times 0,457)^2 + 7,256^2} \\ M_{dy} &= 1311,79 \text{ Nm} \end{aligned}$$

Yol vermedeki iyilik derecesi

$$g = \frac{M_{dy}/M_{dN}}{I_{1K}/I_{1N}} = \frac{1311,79/4774,64}{331,183/88} = 0,073$$

Devrilme momenti

$$\begin{aligned} M_{dD} &= \frac{50}{2\pi \times n} \times \frac{m_1}{2} \times \frac{U_1^2}{[\tau_1 \times R_1 + \sqrt{(\tau_1 \times R_1)^2 + X_K^2}]} \\ M_{dD} &= \frac{50}{2\pi \times 1000} \times \frac{3}{2} \times \frac{2310^2}{1,0472 \times 0,3 + \sqrt{(1,0472 \times 0,3)^2 + 7,256^2}} \\ M_{dD} &= 8406,4 \text{ Nm} \end{aligned}$$

$$\cos \varphi_K = \frac{R_K}{\sqrt{R_K^2 + X_K^2}} = \frac{0,815}{7,3} = 0,11 \Rightarrow \varphi_K = 83,58^\circ$$

### **1.3 Çeşitli Modellerin Performanslarının İncelenmesi**

#### **1.3.1 1.Makina Modeli İçin Performansların Hesabı**

Rotor yüzey kaybı

$$P_{ky2} = \frac{k_0}{2} \times \left( \frac{N_1 \times n}{10000} \right)^{1,5} \times \left( \frac{\tau_{01} \times B'_1 \times k_{cl} \times B_\delta}{0,1} \right)^2 \times \pi \times D_r \times \frac{\tau_{02} - a_{02}}{\tau_{02}} \times k_{Fe} \times L_i$$

$$\frac{a_{01}}{\delta} = \frac{1,15}{0,26} = 4,42$$

Şekil 1.13'den  $\beta_1=0,27$  bulunur. Rotorda 0,5 mm.'lik saç kullanıldığından  $k_0=2,5$ 'dir. Şu halde;

$$P_{ky2} = \frac{2,5}{2} \times \left( \frac{72 \times 1000}{10000} \right)^{1,5} \times \left( \frac{3,141 \times 0,27 \times 1,388 \times 0,826}{0,1} \right)^2 \times \pi \times 0,5974 \times \frac{3,249 - 0,25}{3,249} \times 0,97 \times 0,4035$$

$$P_{ky2} = 1548 \text{ W}$$

Rotor pulzasyon kayipları

$$P_{kp2} = \frac{k_p}{2} \times \sigma_w \times \frac{1}{36} \times \left( \frac{N_1 \times n}{10000} \times \frac{B_{p2}}{0,1} \right)^2 \times G_{d2}$$

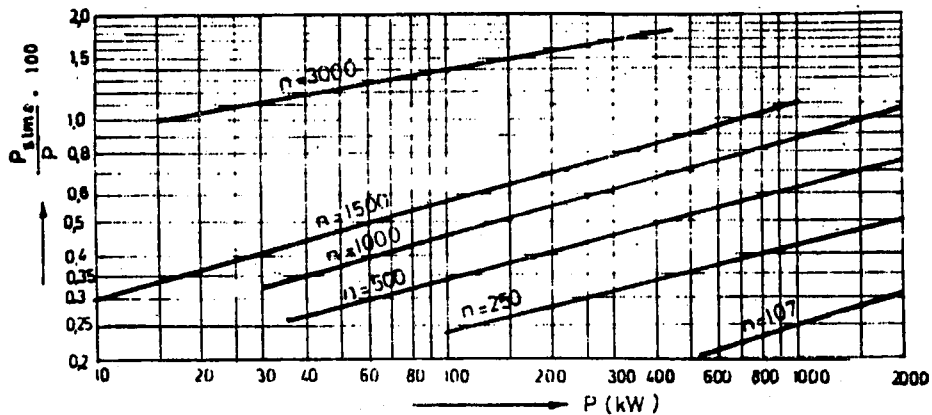
Bu denklemde  $k_p=1,9$ ;  $\sigma_w=1,6$ ;  $G_{d2} = 203 \text{ kg}$

$$P_{kp2} = \frac{1,9}{2} \times 1,6 \times \frac{1}{36} \times \left( \frac{72 \times 1000}{10000} \times \frac{0,111}{0,1} \right)^2 \times 203 = 547,454 \text{ W}$$

% 10 emniyet payı ve çiplak çubukların oluklara sürülmesi dolayısıyla meydana gelecek ilave kayipları gözetmek amacıyla % 30 'luk ilave yapılmak suretiyle toplam yüzey ve pulzasyon kayipları

$$\begin{aligned} \Sigma P_{ky+p} &= (P_{ky1} + P_{kp1} + P_{kp2} + P_{ky2}) \times 1,1 \times 1,3 \\ &= (53,519 + 6,988 + 547,454 + 1548) \times 1,1 \times 1,3 \\ P_{ky+p} &= 3083,024 \text{ W} \text{ bulunur.} \end{aligned}$$

Hava ve yatak sürtünme kayipları için şekil 1.21'den  $\frac{P_{stme}}{P} \times 100 = 0,7$  bulunur.



Şekil 1.22 Asenkron makinanın hava ve yatak sürtünme kayipları

Buna ilave olarak vantilatörler için % 1 gelmekte ve böylece

$$P_{kstme} = 500 \times 10^3 \times 0,017 \approx 8500 \text{ W}$$

Çubuk akımı ;  $s=0,0035$

$$I_{\zeta k} \approx I_2 = \frac{P_m + P_{stme} + P_{ky+p}}{N_2 \times E_{\zeta k} \times (1-s)} = \frac{500000 + 8500 + 3083,024}{58 \times 8,348 \times 0,9965}$$

$$I_2 = 1060,3 \text{ A}$$

Rotor kafesi ohmik kayipları

$$P_{kCu2} = m_2 \times I_2^2 \times R_2 = 58 \times (1060,3)^2 \times 4,19 \times 10^{-5} = 2732,113 \text{ W}$$

Toplam kayiplar

Stator sargası ohmik kayipları

$$P_{kCu1} = 6969,6 \text{ W}$$

Rotor kafesi ohmik kayipları

$$P_{kCu2} = 2732,113 \text{ W}$$

İlave kayiplar

$$P_{kilave} = 3000 \text{ W}$$

Stator saç paketi demir kayiplari

$$\text{dislerdeki kayiplar} \quad P_{kd1} = 808,41 \text{ W}$$

$$\text{boyunduruk kayiplari} \quad P_{kj1} = 1692,368 \text{ W}$$

Stator ve rotorun toplam yüzey ve pulzasyon kayiplari  $3083,024 \text{ W}$

Hava ve yatak sürtünme kayiplari  $P_{ksurtunme} = 8500 \text{ W}$

Toplam kayiplar  $P_k = 26785,515 \text{ W}$

$$\eta_n = \frac{P_n}{P_n + \sum P_{kayip}} = \frac{500}{500 + 26,785515} = 0,94915 = \% 94,915$$

Boşta çalışma akımının aktif bileşeni

$$I_v = \frac{P_{kj1} + P_{kd1} + P_{kj+p} + P_{kime}}{m_1 \times U_1} = \frac{1692,368 + 808,41 + 3083,024 + 8500}{3 \times \frac{4000}{\sqrt{3}}} =$$

$$I_v = 2,0328 \text{ A}$$

$$I'_2 = \dot{u} \times I_2 = 0,0724 \times 1060,3 = 76,765$$

Motorun nominal yükte şebekeden çeken reaktif güç ( $P_{dew}$ )

$$\begin{aligned} P_{dew} &= m_1 \times [E_1 \times I_\mu + X_{1\sigma} \times I_1^2 + X'_{2\sigma} \times I_2'^2] \times 10^{-3} \text{ kVAr} \\ P_{dew} &= 3 \times [2221,64 \times 23,6 + 5,23 \times 88^2 + 2,692 \times 76,765^2] \times 10^{-3} \\ &= 326,387 \text{ kVAr} \end{aligned}$$

Motorun nominal yükte şebekeden çeken aktif güç

$$P_w = \frac{P_n}{\eta} = \frac{500}{0,94915} = 526,787 \text{ kW}$$

Nominal yükteki güç faktörü

$$\cos \varphi_n = \frac{P_w}{\sqrt{P_w^2 + P_{dew}^2}} = \frac{526,787}{\sqrt{526,787^2 + 326,387^2}} = 0,85$$

Boşta çalışma akımı

$$I_0 = \sqrt{I_N^2 + I_v^2} = \sqrt{23,6^2 + 2,0328^2} = 23,687 \text{ A}$$

Boşta çalışmada güç faktörü

$$\cos \varphi_{10} = \frac{I_v}{I_0} = \frac{2,0328}{23,687} = 0,0858 \quad \varphi_{10} = 85,076$$

$$R_m = \frac{|\vec{E}|}{|\vec{I}_v|} = \frac{2582,79}{2,0328} = 1270,55 \Omega \quad r_m = 59,0353$$

Halka Direnci;

$$R_h = \rho \times 1.1 \times \frac{D_h N_2}{2\pi p^2 q_{hi}} = 0.0264 \times 1.1 \times \frac{0.477 \times 58}{2\pi \times 9 \times 1588.56} = 8.943 \times 10^{-6}$$

$$\Delta R_h = \frac{R_h}{N_2 \times 2 \times \sin^2(\pi p / N_2)} = \frac{8.943 \times 10^{-6}}{58 \times 2 \times \sin^2(3\pi / 58)} = 2.945 \times 10^{-6}$$

$$R_{\zeta K} = \rho \times \frac{L_{\zeta K}}{q_{\zeta K}} \times 1.1 = 0.0264 \times 1.1 \times \frac{0.57}{432.64} = 3.826 \times 10^{-5}$$

$$s = \frac{I_{\zeta K}}{E_{\zeta K}} [R_{\zeta K} + \Delta R_h] = \frac{1060.3}{8.348} (3.826 + 0.08943) \times 10^{-5}$$

$$s\% = 0.599$$

### 1.3.2. 2. Makina Modeli İçin Performans Hesabı

Rotor pulzasyon kayipları

$$P_{kp2} = \frac{k_p}{2} \times \sigma_w \times \frac{1}{36} \times \left( \frac{N_1 \times n}{10000} \times \frac{B_{p2}}{0,1} \right)^2 \times G_{d2}$$

$$\gamma_1 = \frac{\left(\frac{a_{01}}{\delta}\right)^2}{5 + \frac{a_{01}}{\delta}} = \frac{\left(\frac{11,5}{1,3}\right)^2}{5 + \frac{11,5}{1,3}} = 5,66$$

$$B_{p2} = \frac{\gamma_1 \times \delta}{2\tau_{02}} \cdot B_{don} = \frac{5,66 \times 0,13 \times 1,0358}{2 \times 3,249} = 0,117$$

$$P_{kp2} = \frac{1,9}{2} \times 1,6 \times \frac{1}{36} \times \left( \frac{72 \times 1000}{10000} \times \frac{0,117}{0,1} \right)^2 \times 468,34 = 2806,52 \text{ W}$$

% 10 emniyet payı ve çiplak çubukların oluklara sürülmesi dolayısıyla meydana gelecek ilave kayipları gözetmek amacıyla % 30 'luk ilave yapılmak suretiyle toplam yüzey ve pulzasyon kayipları

$$\begin{aligned} \Sigma P_{ky+p} &= (P_{ky1} + P_{kp1} + P_{kp2} + P_{ky2}) \times 1,1 \times 1,3 \\ &= (53,519 + 6,988 + 547,454 + 1548) \times 1,1 \times 1,3 \\ P_{ky+p} &= 3083,024 \text{ W} \text{ bulunur.} \end{aligned}$$

Çubuk akımı :

$$I_{CK} \equiv I_2 = \frac{P_m + P_{stme} + P_{ky+p}}{N_2 \times E_{ck} \times (1-s)}$$

s=0,0035 için değerler yerine konursa

$$I_{ck} = \frac{500000 + 8500 + 3083,024}{58 \times 8,348 \times 0,9965} = 1060,3 \text{ A}$$

Burada  $E_{ck}$  çubuk gerilimi önceki bölümdeki gibi 8,348 V alınmıştır.

Rotor kafesi ohmik kayipları

$$P_{kCu2} = m_2 \times I_2^2 \times R_2 = 58 \times (1060,3)^2 \times 4,251 \times 10^{-5} = 2771,889 \text{ W}$$

#### Toplam kayiplar

Stator sargısı ohmik kayipları

$$P_{kCu1} = 6969,6 \text{ W}$$

Rotor kafesi ohmik kayipları

$$P_{kCu2} = 2771,889 \text{ W}$$

İlave kayiplar

$$P_{kilave} = 3000 \text{ W}$$

Stator saç paketi demir kayıpları

$$\begin{array}{ll} \text{dişlerdeki kayıplar} & P_{kd1} = 808,41 \text{ W} \\ \text{boyunduruk kayıpları} & P_{kj1} = 1692,368 \text{ W} \end{array}$$

Stator ve rotorun toplam yüzey ve pulzasyon kayıpları 3083,024 W

Hava ve yatak sürtünme kayıpları  $P_{ksürtünme} = 8500 \text{ W}$

Toplam kayıplar  $P_k = 26825,291 \text{ W}$

$$\eta_n = \frac{P_n}{P_n + \sum P_{kayip}} = \frac{500}{500 + 26,825} = 0,9490 = \% 94,908$$

Boşta çalışma akımının aktif bileşeni

$$I_v = \frac{P_{kj1} + P_{kd1} + P_{ky+p} + P_{ktne}}{m_1 \times U_1} = \frac{1692,368 + 808,41 + 3083,024 + 8500}{3 \times 4000 / \sqrt{3}} \quad I_v = 2,0328 \text{ A}$$

$$I'_2 = \bar{u} \times I_2 = 0,0724 \times 1060,3 = 76,765$$

Motorun nominal yükte şebekeden çektiği reaktif güç ( $P_{dew}$ )

$$\begin{aligned} P_{dew} &= m_1 \times [E_1 \times I_\mu + X_{1\sigma} \times I_1^2 + X'_{2\sigma} \times I_2'^2] \times 10^{-3} \text{ kVAr} \\ P_{dew} &= 3 \times [2221,64 \times 23,2 + 5,23 \times 88^2 + 11,56 \times 76,765^2] \times 10^{-3} \\ &= 480,494 \text{ kVAr} \end{aligned}$$

Motorun nominal yükte şebekeden çektiği aktif güç

$$P_w = \frac{P_n}{\eta} = \frac{500}{0,9490} = 526,825 \text{ kW}$$

Nominal yükteki güç faktörü

$$\cos \varphi_n = \frac{P_w}{\sqrt{P_w^2 + P_{dew}^2}} = \frac{526,825}{713,035} = 0,7388$$

Boşta çalışma akımı

$$I_0 = \sqrt{I_N^2 + I_v^2} = \sqrt{23,2^2 + 2,0328^2} = 23,288 \text{ A}$$

Boşta çalışmada güç faktörü

$$\cos \varphi_{10} = \frac{I_v}{I_0} = \frac{2,0328}{23,288} = 0,0872 \quad \varphi_{10} = 84,994$$

$$R_m = \frac{|\vec{E}|}{|\vec{I}_v|} = \frac{2582,79}{2,0328} = 1270,55 \Omega \quad r_m = 59,0353$$

$$R_h = \rho \times 1.1 \times \frac{D_h N_2}{2\pi p^2 q_h} = 0.0264 \times 1.1 \times \frac{0.3774 \times 58}{2\pi \times 9 \times 1588.56} = 7.0762 \times 10^{-6}$$

$$\Delta R_h = \frac{R_h}{N_2 \times 2 \times \sin^2(\pi p / N_2)} = \frac{7.0762 \times 10^{-6}}{58 \times 2 \times \sin^2(3\pi / 58)} = 2.33 \times 10^{-6}$$

Çubuk büyüklükleri değişmediğinden çubuk direnci  $R_{\zeta K}$  aynı kalır.

$$s = \frac{I_{\zeta K}}{E_{\zeta K}} [R_{\zeta K} + \Delta R_h] = \frac{1060.3}{8.348} (3.826 + 0.233) \times 10^{-5}$$

$$s\% = 0.5155$$

### 1.3.3. .3. Makina Modeli İçin Performansların Hesabı

Rotor pulzasyon kayipları

$$P_{kp2} = \frac{k_p}{2} \times \sigma_w \times \frac{1}{36} \times \left( \frac{N_1 \times n}{10000} \times \frac{B_{p2}}{0,1} \right)^2 \times G_{d2}$$

$$\gamma_1 = \frac{\left( \frac{a_{01}}{\delta} \right)^2}{5 + \frac{a_{01}}{\delta}} = \frac{\left( \frac{11,5}{1,3} \right)^2}{5 + \frac{11,5}{1,3}} = 5,66$$

$$B_{p2} = \frac{\gamma_1 \times \delta}{2 \tau_{02}} \cdot B_{dort} = \frac{5,66 \times 0,13 \times 1}{2 \times 3,249} = 0,113$$

$$P_{kp2} = \frac{1,9}{2} \times 1,6 \times \frac{1}{36} \times \left( \frac{72 \times 1000}{10000} \times \frac{0,113}{0,1} \right)^2 \times 221,42 = 618,842 \text{ W}$$

% 10 emniyet payı ve çiplak çubukların oluklara sürülmesi dolayısıyla meydana gelecek ilave kayipları gözetmek amacıyla % 30 'luk ilave yapılım suretiyle toplam yüzey ve pulzasyon kayipları

$$\begin{aligned} \Sigma P_{ky+p} &= (P_{ky1} + P_{kp1} + P_{kp2} + P_{ky2}) \times 1,1 \times 1,3 \\ &= (53,519 + 6,988 + 618,842 + 1548) \times 1,1 \times 1,3 \\ P_{ky+p} &= 3185,11 \text{ W bulunur.} \end{aligned}$$

Çubuk akımı ; (s=0,0045 için)

$$\begin{aligned} I_{CK} \approx I_2 &= \frac{P_m + P_{stme} + P_{ky+p}}{N_2 \times E_{ek} \times (1-s)} \\ I_{ek} &= \frac{500000 + 8500 + 3185,11}{58 \times 8,348 \times 0,9955} = 1061,575 \text{ A} \end{aligned}$$

Rotor kafesi ohmik kayipları

$$P_{kCu2} = m_2 \times I_2^2 \times R_2 = 58 \times (1061,575)^2 \times 5,139 \times 10^{-3} = 3358,984 \text{ W}$$

#### Toplam kayiplar

Stator sargısı ohmik kayipları

$$P_{kCu1} = 6969,6 \text{ W}$$

Rotor kafesi ohmik kayipları

$$P_{kCu2} = 3358,984 \text{ W}$$

İlave kayiplar

$$P_{kilave} = 3000 \text{ W}$$

Stator saç paketi demir kayipları

$$\text{dişlerdeki kayiplar} \quad P_{kdl} = 808,41 \text{ W}$$

$$\text{boyunduruk kayiplari} \quad P_{kj1} = 1692,368 \text{ W}$$

boyunduruk kayıpları

$$P_{kj1} = 1692,368 \text{ W}$$

Stator ve rotorun toplam yüzey ve pulzasyon kayıpları

$$3185,11 \text{ W}$$

Hava ve yatak sürtünme kayıpları

$$P_{ksürtünme} = 8500 \text{ W}$$

Toplam kayıplar

$$P_k = 27514,472 \text{ W}$$

$$\eta_n = \frac{P_n}{P_n + \sum P_{kayip}} = \frac{500}{500 + 27,514472} = 0,94784 = \% \ 94,784$$

Boşta çalışma akımının aktif bileşeni

$$I_v = \frac{P_{kj1} + P_{kd1} + P_{kp+p} + P_{kime}}{m_1 \times U_1} = \frac{1692,368 + 808,41 + 3185,11 + 8500}{3 \times 4000 / \sqrt{3}}$$

$$I_v = 2,047 \text{ A}$$

$$I_2' = \dot{u} \times I_2 = 0,0724 \times 1061,575 = 76,858$$

Motorun nominal yükte şebekeden çeken reaktif güç ( $P_{dev}$ )

$$P_{dev} = m_1 \times [E_1 \times I_\mu + X_{1\sigma} \times I_1^2 + X'_{2\sigma} \times I_2'^2] \times 10^{-3} \text{ kVAr}$$

$$P_{dev} = 3 \times [2221,64 \times 23,5 + 5,23 \times 88^2 + 1,89 \times 76,858^2] \times 10^{-3} \\ = 311,622 \text{ kVAr}$$

Motorun nominal yükte şebekeden çeken aktif güç

$$P_w = \frac{P_n}{\eta} = \frac{500}{0,94784} = 527,515 \text{ kW}$$

Nominal yükteki güç faktörü

$$\cos \varphi_n = \frac{P_w}{\sqrt{P_w^2 + P_{dev}^2}} = \frac{527,515}{\sqrt{527,515^2 + 311,622^2}} = 0,86 \quad \varphi_n = 30,57$$

Boşta çalışma akımı

$$I_0 = \sqrt{I_N^2 + I_v^2} = \sqrt{23,5^2 + 1,959^2} = 23,581 \text{ A}$$

Boşta çalışmada güç faktörü

$$\cos \varphi_{10} = \frac{I_v}{I_0} = \frac{1,959}{23,581} = 0,083 \quad \varphi_{10} = 85,234$$

$$R_m = \frac{|\vec{E}|}{|I_v|} = \frac{2582,79}{1,959} = 1318,422 \Omega \quad r_m = 61,26$$

$$R_h = \rho \times 1.1 \times \frac{D_{ht} N_2}{2\pi p^2 q_{ht}} = 0.0264 \times 1.1 \times \frac{0.5474 \times 58}{2\pi \times 9 \times 1588.56} = 10.2636 \times 10^{-6}$$

$$\Delta R_h = \frac{R_h}{N_2 \times 2 \times \sin^2(\pi p / N_2)} = \frac{10.2636 \times 10^{-6}}{58 \times 2 \times \sin^2(3\pi / 58)} = 3.38 \times 10^{-6}$$

Çubuk büyüklükleri değişmediğinden çubuk direnci  $R_{CK}$  aynı kalır.

$$s = \frac{I_{CK}}{E_{CK}} [R_{CK} + \Delta R_h] = \frac{1061.575}{8.348} (3.826 + 0.338) \times 10^{-5}$$

$$s\% = 0.5295$$

### 1.3.4 4. Makina Modeli İçin Performanslarının Hesabı

Rotor pulzasyon kayipları

$$P_{kp2} = \frac{k_p}{2} \times \sigma_w \times \frac{1}{36} \times \left( \frac{N_1 \times n}{10000} \times \frac{B_{p2}}{0,1} \right)^2 \times G_{d2}$$

Hava aralığı ve stator oluk ağızı değişmediğinden  $\gamma_1=5,66$

$$B_{p2} = \frac{\gamma_1 \times \delta}{2\tau_{02}} \cdot B_{don} = \frac{5,66 \times 0,13 \times 1}{2 \times 3,249} = 0,113$$

$$P_{kp2} = \frac{1,9}{2} \times 1,6 \times \frac{1}{36} \times \left( \frac{72 \times 1000}{10000} \times \frac{0,113}{0,1} \right)^2 \times 185,901$$

$$P_{kp2} = 519,57 \text{ W}$$

% 10 emniyet payı ve çiplak çubukların oluklara sürülmesi dolayısıyla meydana gelecek ilave kayipları gözetmek amacıyla % 30 'luk ilave yapılmak suretiyle toplam yüzey ve pulzasyon kayipları

$$\begin{aligned} \Sigma P_{ky+p} &= (P_{ky1} + P_{kp1} + P_{kp2} + P_{ky2}) \times 1,1 \times 1,3 \\ &= (53,519 + 6,988 + 519,57 + 1548) \times 1,1 \times 1,3 \\ P_{ky+p} &= 3043,15 \text{ W} \text{ bulunur.} \end{aligned}$$

Çubuk akımı ; ( $s=0,0045$  için)

$$I_{\zeta k} \cong I_2 = \frac{P_m + P_{same} + P_{ky+p}}{N_2 \times E_{\zeta k} \times (1-s)}$$

$$I_{\zeta k} = \frac{500000 + 8500 + 3043,15}{58 \times 8,348 \times 0,9955} = 1061,281 \text{ A}$$

Rotor kafesi ohmik kayipları

$$P_{kCu2} = m_2 \times I_2^2 \times R_2 = 58 \times (1061,281)^2 \times 1,218 \times 10^{-5} = 795,676 \text{ W}$$

#### Toplam kayiplar

Stator sargısı ohmik kayipları

$$P_{kCu1} = 6969,6 \text{ W}$$

Rotor kafesi ohmik kayipları

$$P_{kCu2} = 795,676 \text{ W}$$

İlave kayiplar

$$P_{kilave} = 3000 \text{ W}$$

Stator saç paketi demir kayipları

$$\text{dişlerdeki kayiplar} \quad P_{kd1} = 808,41 \text{ W}$$

$$\text{boyunduruk kayiplari} \quad P_{kj1} = 1692,368 \text{ W}$$

Stator ve rotorun toplam yüzey ve pulzasyon kayipları

$$3043,15 \text{ W}$$

Hava ve yatak sürtünme kayipları

$$P_{ksürtünme} = 8500 \text{ W}$$

Toplam kayiplar

$$P_k = 24809,204 \text{ W}$$

$$\eta_n = \frac{P_n}{P_n + \sum P_{kayıp}} = \frac{500}{500 + 24,8092} = 0,95272 = \% \ 95,272$$

Boşta çalışma akımının aktif bileşeni

$$I_v = \frac{P_{kj1} + P_{kal} + P_{ky+p} + P_{kime}}{m_1 \times U_1} = \frac{1692,368 + 808,41 + 3043,15 + 8500}{3 \times 4000 / \sqrt{3}}$$

$$I_v = 2,027 \text{ A}$$

$$I'_2 = \dot{u} \times I_2 = 0,0724 \times 1061,281 = 76,836$$

Motorun nominal yükte şebekeden çektiği reaktif güç ( $P_{dew}$ )

$$P_{dew} = m_1 \times [E_1 \times I_\mu + X_{1\sigma} \times I_1^2 + X'_{2\sigma} \times I_2'^2] \times 10^{-3} \text{ kVAr}$$

$$P_{dew} = 3 \times [2221,64 \times 23,5 + 5,23 \times 88^2 + 1,89 \times 76,836^2] \times 10^{-3}$$

$$= 354,246 \text{ kVAr}$$

Motorun nominal yükte şebekeden çektiği aktif güç

$$P_w = \frac{P_n}{\eta} = \frac{500}{0,95272} = 524,813 \text{ kW}$$

Nominal yükteki güç faktörü

$$\cos \varphi_n = \frac{P_w}{\sqrt{P_w^2 + P_{dew}^2}} = \frac{524196}{633,181} = 0,8278 \quad \varphi_n = 34,118$$

Boşta çalışma akımı

$$I_0 = \sqrt{I_N^2 + I_v^2} = \sqrt{31,466^2 + 1,938^2} = 31,525 \text{ A}$$

Boşta çalışmada güç faktörü

$$\cos \varphi_{10} = \frac{I_v}{I_0} = \frac{1,938}{31,525} = 0,0614 \quad \varphi_{10} = 86,475$$

$$R_m = \frac{|\vec{E}|}{|\vec{I}_v|} = \frac{2582,79}{1,938} = 1332,7 \Omega \quad r_m = 61,923$$

$$R_h = \rho \times 1.1 \times \frac{D_{hl} N_2}{2\pi p^2 q_{hl}} = 0.0264 \times 1.1 \times \frac{0.52622 \times 58}{2\pi \times 9 \times 1588.56} = 9.866 \times 10^{-6}$$

$$\Delta R_h = \frac{R_h}{N_2 \times 2 \times \sin^2(\pi p / N_2)} = \frac{9.866 \times 10^{-6}}{58 \times 2 \times \sin^2(3\pi / 58)} = 3.2495 \times 10^{-6}$$

Çubuk boyutları değişmediğinden çubuk direnci  $R_{\zeta K}$  aynı kalır.

$$s = \frac{I_{\zeta K}}{E_{\zeta K}} [R_{\zeta K} + \Delta R_h] = \frac{1061}{8.348} (3.826 + 0.32495) \times 10^{-5}$$

$$s\% = 0.5275$$

### 1.3.5 5. Makina Modeli İçin Performanslarının Hesabı

Rotor pulzasyon kayipları

$$P_{kp2} = \frac{k_p}{2} \times \sigma_w \times \frac{1}{36} \times \left( \frac{N_1 \times n}{10000} \times \frac{B_{p2}}{0,1} \right)^2 \times G_{d2}$$

Hava aralığı ve stator oluk ağızı değişmediğinden  $\gamma_1=5,66$

$$B_{p2} = \frac{\gamma_1 \times \delta}{2\tau_{02}} \cdot B_{dot} = \frac{5,66 \times 0,13 \times 1}{2 \times 3,249} = 0,113$$

$$P_{kp2} = \frac{1,9}{2} \times 1,6 \times \frac{1}{36} \times \left( \frac{72 \times 1000}{10000} \times \frac{0,113}{0,1} \right)^2 \times 167,426$$

$$P_{kp2} = 467,934 \text{ W}$$

% 10 emniyet payı ve çiplak çubukların oluklara sürülmesi dolayısıyla meydana gelecek ilave kayipları gözetmek amacıyla % 30 'luk ilave yapılmak suretiyle toplam yüzey ve pulzasyon kayipları

$$\begin{aligned} \Sigma P_{ky+p} &= (P_{ky1} + P_{kp1} + P_{kp2} + P_{ky2}) \times 1,1 \times 1,3 \\ &= (53,519 + 6,988 + 467,934 + 1548) \times 1,1 \times 1,3 \\ P_{ky+p} &= 2969,31 \text{ W} \text{ bulunur.} \end{aligned}$$

Çubuk akımı ; (s=0,0045 için)

$$I_{\zeta k} \cong I_2 = \frac{P_m + P_{stme} + P_{ky+p}}{N_2 \times E_{\zeta k} \times (1-s)}$$

$$I_{\zeta k} = \frac{500000 + 8500 + 2969,31}{58 \times 8,348 \times 0,9955} = 1061,128 \text{ A}$$

Rotor kafesi ohmik kayipları

$$P_{kCu2} = m_2 \times I_2^2 \times R_2 = 58 \times (1061,128)^2 \times 2,052 \times 10^{-5} = 13401,12 \text{ W}$$

#### Toplam kayiplar

Stator sargısı ohmik kayipları

$$P_{kCu1} = 6969,6 \text{ W}$$

Rotor kafesi ohmik kayipları

$$P_{kCu2} = 12963,553 \text{ W}$$

İlave kayiplar

$$P_{kilave} = 3000 \text{ W}$$

Stator saç paketi demir kayipları

dişlerdeki kayiplar

$$P_{kdl} = 808,41 \text{ W}$$

boyunduruk kayipları

$$P_{kj1} = 1692,368 \text{ W}$$

Stator ve rotorun toplam yüzey ve pulzasyon kayıpları 2356,11 W

Hava ve yatak sürtünme kayıpları  $P_{ksürtünme} = 8500 \text{ W}$

Toplam kayıplar  $P_k = 36290,041 \text{ W}$

$$\eta_n = \frac{P_n}{P_n + \sum P_{kayip}} = \frac{500}{500 + 36,290041} = 0,9323 = \% 93,23$$

Boşta çalışma akımının aktif bileşeni

$$I_v = \frac{P_{kj1} + P_{kd1} + P_{ky+p} + P_{kme}}{m_1 \times U_1} = \frac{1692,368 + 808,41 + 2969,31 + 8500}{3 \times 4000 / \sqrt{3}}$$

$$I_v = 2,0164 \text{ A}$$

$$I'_2 = \dot{u} \times I_2 = 0,0724 \times 1061,128 = 76,825$$

Motorun nominal yükte şebekeden çektiği reaktif güç ( $P_{dev}$ )

$$P_{dev} = m_1 \times [E_1 \times I_\mu + X_{1\sigma} \times I_1^2 + X'_{2\sigma} \times I_2'^2] \times 10^{-3} \text{ kVAr}$$

$$P_{dev} = 3 \times [2221,64 \times 23,5 + 5,23 \times 88^2 + 1,89 \times 76,825^2] \times 10^{-3}$$

$$= 332,627 \text{ kVAr}$$

Motorun nominal yükte şebekeden çektiği aktif güç

$$P_w = \frac{P_n}{\eta} = \frac{500}{0,9323} = 536,3 \text{ kW}$$

Nominal yükteki güç faktörü

$$\cos \varphi_n = \frac{P_w}{\sqrt{P_w^2 + P_{dev}^2}} = \frac{536,3}{\sqrt{536,3^2 + 332,627^2}} = 0,8498 \quad \varphi_n = 31,8$$

Boşta çalışma akımı

$$I_0 = \sqrt{I_N^2 + I_v^2} = \sqrt{27,32^2 + 2,0164^2} = 27,394 \text{ A}$$

Boşta çalışmada güç faktörü

$$\cos \varphi_{10} = \frac{I_v}{I_0} = \frac{2,0164}{27,394} = 0,0736 \quad \varphi_{10} = 85,778$$

$$R_m = \frac{|\vec{E}|}{|\vec{I}_v|} = \frac{2582,79}{2,0164} = 1280,891 \Omega \quad r_m = 59,515$$

$$R_h = \rho \times 1.1 \times \frac{D_{hi} N_2}{2\pi p^2 q_{hi}} = 0.0264 \times 1.1 \times \frac{0.509 \times 58}{2\pi \times 9 \times 1588.56} = 9.543 \times 10^{-6}$$

$$\Delta R_h = \frac{R_h}{N_2 \times 2 \times \sin^2(\pi p / N_2)} = \frac{9.543 \times 10^{-6}}{58 \times 2 \times \sin^2(3\pi / 58)} = 3.1432 \times 10^{-6}$$

Çubuk büyüklükleri değişmediğinden çubuk direnci  $R_{\zeta K}$  aynı kalır.

$$s = \frac{I_{\zeta K}}{E_{\zeta K}} [R_{\zeta K} + \Delta R_h] = \frac{1059.421}{8.348} (3.826 + 0.31432) \times 10^{-5}$$

$$s\% = 0.525$$

### 1.3.6 6.Makina Modeli İçin Performanslarının Hesabı

Rotor pulzasyon kayipları

$$P_{kp2} = \frac{k_p}{2} \times \sigma_w \times \frac{1}{36} \times \left( \frac{N_1 \times n}{10000} \times \frac{B_{p2}}{0,1} \right)^2 \times G_{d2}$$

Hava aralığı ve stator oluk ağzı değişmediğinden  $\gamma_1=5,66$

$$B_{p2} = \frac{\gamma_1 \times \delta}{2\tau_{02}} \cdot B_{dort} = \frac{5,66 \times 0,13 \times 1}{2 \times 3,249} = 0,113$$

$$P_{kp2} = \frac{1,9}{2} \times 1,6 \times \frac{1}{36} \times \left( \frac{72 \times 1000}{10000} \times \frac{0,113}{0,1} \right)^2 \times 210,067$$

$$P_{kp2} = 587,111 \text{ W}$$

% 10 emniyet payı ve çiplak çubukların oluklara sürülmesi dolayısıyla meydana gelecek ilave kayipları gözetmek amacıyla % 30 'luk ilave yapılmak suretiyle toplam yüzey ve pulzasyon kayipları

$$\begin{aligned} \Sigma P_{ky+p} &= (P_{ky1} + P_{kp1} + P_{kp2} + P_{ky2}) \times 1,1 \times 1,3 \\ &= (53,519 + 6,988 + 587,111 + 1548) \times 1,1 \times 1,3 \\ P_{ky+p} &= 3139,73 \text{ W} \text{ bulunur.} \end{aligned}$$

Çubuk akımı ; ( $s=0,0045$  için)

$$I_{CK} \cong I_2 = \frac{P_m + P_{stme} + P_{ky+p}}{N_2 \times E_{ck} \times (1-s)}$$

$$I_{ck} = \frac{500000 + 8500 + 3139,733}{58 \times 8,348 \times 0,9955} = 1061,48 \text{ A}$$

Rotor kafesi ohmik kayipları

$$P_{kCu2} = m_2 \times I_2^2 \times R_2 = 58 \times (1061,48)^2 \times 8,172 \times 10^{-5} = 5340,49 \text{ W}$$

Toplam kayiplar

Stator sargası ohmik kayipları

$$P_{kCu1} = 6969,6 \text{ W}$$

Rotor kafesi ohmik kayipları

$$P_{kCu2} = 5340,49 \text{ W}$$

İlave kayiplar

$$P_{kilave} = 3000 \text{ W}$$

Stator saç paketi demir kayipları

dişlerdeki kayiplar

$$P_{kd1} = 808,41 \text{ W}$$

boyunduruk kayiplari

$$P_{kj1} = 1692,368 \text{ W}$$

Stator ve rotorun toplam yüzey ve pulzasyon kayipları

$$3139,733 \text{ W}$$

Hava ve yatak sürtünme kayipları

$$P_{ksürtünme} = 8500 \text{ W}$$

Toplam kayiplar

$$P_k = 29450,6 \text{ W}$$

$$\eta_n = \frac{P_n}{P_n + \sum P_{kayip}} = \frac{500}{500 + 29,450} = 0,9443 = \% 94,43$$

Boşta çalışma akiminin aktif bileşeni

$$I_v = \frac{P_{kj1} + P_{kdl} + P_{ky+p} + P_{kane}}{m_1 \times U_1} = \frac{1692,368 + 808,41 + 3139,733 + 8500}{3 \times 4000 / \sqrt{3}}$$

$$I_v = 2,041 \text{ A}$$

$$I_2^i = \bar{u} \times I_2 = 0,0724 \times 1061,48 = 76,851$$

Motorun nominal yükte şebekeden çektiği reaktif güç ( $P_{dew}$ )

$$P_{dew} = m_1 \times [E_1 \times I_\mu + X_{1\sigma} \times I_1^2 + X'_{2\sigma} \times I_2'^2] \times 10^{-3} \text{ kVAr}$$

$$P_{dew} = 3 \times [2221,64 \times 23,5 + 5,23 \times 88^2 + 1,89 \times 76,851^2] \times 10^{-3} \\ = 354,215 \text{ kVAr}$$

Motorun nominal yükte şebekeden çektiği aktif güç

$$P_w = \frac{P_n}{\eta} = \frac{500}{0,9443} = 529,450 \text{ kW}$$

Nominal yükteki güç faktörü

$$\cos \varphi_n = \frac{P_w}{\sqrt{P_w^2 + P_{dew}^2}} = \frac{529,450}{637,013} = 0,8311 \quad \varphi_n = 33,395$$

Boşta çalışma akımı

$$I_0 = \sqrt{I_N^2 + I_v^2} = \sqrt{31,466^2 + 2,041^2} = 31,532 \text{ A}$$

Boşta çalışmada güç faktörü

$$\cos \varphi_{10} = \frac{I_v}{I_0} = \frac{2,041}{31,532} = 0,0641 \quad \varphi_{10} = 86,288$$

$$R_m = \frac{|\vec{E}|}{|\vec{I}_v|} = \frac{2582,79}{2,041} = 1265,453 \Omega \quad r_m = 58,7981$$

$$R_h = \rho \times 1.1 \times \frac{D_{hi} N_2}{2\pi p^2 q_{hi}} = 0.0264 \times 1.1 \times \frac{0.4724 \times 58}{2\pi \times 9 \times 1588.56} = 8.8574 \times 10^{-6}$$

$$\Delta R_h = \frac{R_h}{N_2 \times 2 \times \sin^2(\pi p / N_2)} = \frac{8.8574 \times 10^{-6}}{58 \times 2 \times \sin^2(3\pi / 58)} = 2.917 \times 10^{-6}$$

Çubuk büyüklükleri değişmediğinden çubuk direnci  $R_{çK}$  aynı kalacaktır.

$$s = \frac{I_{çK}}{E_{çK}} [R_{çK} + \Delta R_h] = \frac{1061.48}{8.348} (3.826 + 0.2917) \times 10^{-5}$$

$s\% = 0.5235$

### 1.3.7 7. Makina Modeli İçin Performansların Hesabı

Rotor pulzasyon kayıpları

$$P_{kp2} = \frac{k_p}{2} \times \sigma_v \times \frac{1}{36} \times \left( \frac{N_1 \times n}{10000} \times \frac{B_{p2}}{0,1} \right)^2 \times G_{d2}$$

Hava aralığı ve stator oluk ağızı değişmediğinden  $\gamma_1=5,66$

$$B_{p2} = \frac{\gamma_1 \times \delta}{2 \tau_{o2}} \cdot B_{don} = \frac{5,66 \times 0,13 \times 1}{2 \times 3,249} = 0,113$$

$$P_{kp2} = \frac{1,9}{2} \times 1,6 \times \frac{1}{36} \times \left( \frac{72 \times 1000}{10000} \times \frac{0,113}{0,1} \right)^2 \times 192,588$$

$$P_{kp2} = 538,26 \text{ W}$$

% 10 emniyet payı ve çiplak çubukların oluklara sürülmeleri dolayısıyla meydana gelecek ilave kayıpları gözetmek amacıyla % 30 'luk ilave yapılmak suretiyle toplam yüzey ve pulzasyon kayıpları

$$\begin{aligned} \Sigma P_{ky+p} &= (P_{ky1} + P_{kp1} + P_{kp2} + P_{ky2}) \times 1,1 \times 1,3 \\ &= (53,519 + 6,988 + 538,26 + 1548) \times 1,1 \times 1,3 \\ P_{ky+p} &= 2146,767 \text{ W} \text{ bulunur.} \end{aligned}$$

Çubuk akımı ; ( $s=0,0045$  için)

$$\begin{aligned} I_{\zeta k} \equiv I_2 &= \frac{P_m + P_{stme} + P_{ky+p}}{N_2 \times E_{\zeta k} \times (1-s)} \\ I_{\zeta k} &= \frac{500000 + 8500 + 2146,767}{58 \times 8,348 \times 0,9955} = 1059,421 \text{ A} \end{aligned}$$

Rotor kafesi ohmik kayıpları

$$P_{kCu2} = m_2 \times I_2^2 \times R_2 = 58 \times (1059,421)^2 \times 1,249 \times 10^{-4} = 8163,24 \text{ W}$$

#### Toplam kayıplar

Stator sargası ohmik kayıpları

$$P_{kCu1} = 6969,6 \text{ W}$$

Rotor kafesi ohmik kayıpları

$$P_{kCu2} = 8163,24 \text{ W}$$

İlave kayıplar

$$P_{kilave} = 3000 \text{ W}$$

Stator saç paketi demir kayıpları

$$\text{dişlerdeki kayıplar} \quad P_{kd1} = 808,41 \text{ W}$$

$$\text{boşluklarda kayıplar} \quad P_{kj1} = 1692,368 \text{ W}$$

Stator ve rotorun toplam yüzey ve pulzasyon kayıpları 2146,767 W

Hava ve yatak sürtünme kayıpları  $P_{ksürtünme} = 8500 \text{ W}$

Toplam kayıplar  $P_k = 31280,385 \text{ W}$

$$\eta_n = \frac{P_n}{P_n + \sum P_{kayip}} = \frac{500000}{531280,385} = 0,9411 = \% 94,11$$

Boşta çalışma akımının aktif bileşeni

$$I_v = \frac{P_{kj1} + P_{kd1} + P_{ky+p} + P_{kome}}{m_1 \times U_1} = \frac{1692,368 + 808,41 + 2146,767 + 8500}{3 \times 4000 / \sqrt{3}}$$

$$I_v = 1,897 \text{ A}$$

$$I'_2 = \bar{u} \times I_2 = 0,0724 \times 1059,421 = 76,702$$

Motorun nominal yükte şebekeden çektiği reaktif güç ( $P_{dev}$ )

$$P_{dev} = m_1 \times [E_1 \times I_\mu + X_{1\sigma} \times I_1^2 + X'_{2\sigma} \times I_2'^2] \times 10^{-3} \text{ kVAr}$$

$$P_{dev} = 3 \times [2221,64 \times 23,5 + 5,23 \times 88^2 + 1,623 \times 76,702^2] \times 10^{-3} \\ = 305,574 \text{ kVAr}$$

Motorun nominal yükte şebekeden çektiği aktif güç

$$P_w = \frac{P_n}{\eta} = \frac{500}{0,9411} = 531,293 \text{ kW}$$

Nominal yükteki güç faktörü

$$\cos \varphi_a = \frac{P_w}{\sqrt{P_w^2 + P_{dev}^2}} = \frac{531,293}{612,901} = 0,866 \quad \varphi_a = 29,9$$

Boşta çalışma akımı

$$I_0 = \sqrt{I_N^2 + I_v^2} = \sqrt{23,32^2 + 1,897^2} = 23,397 \text{ A}$$

Boşta çalışmada güç faktörü

$$\cos \varphi_{10} = \frac{I_v}{I_0} = \frac{1,897}{23,397} = 0,081 \quad \varphi_{10} = 85,349$$

$$R_m = \frac{|\bar{E}|}{|\bar{I}_v|} = \frac{2582,79}{1,897} = 1361,512 \quad \Omega \quad r_m = 63,261$$

$$R_h = \rho \times 1.1 \times \frac{D_{hi} N_2}{2\pi p^2 q_{hi}} = 0.0264 \times 1.1 \times \frac{0.509 \times 58}{2\pi \times 9 \times 1588.56} = 9.543 \times 10^{-6}$$

$$\Delta R_h = \frac{R_h}{N_2 \times 2 \times \sin^2(\pi p / N_2)} = \frac{9.543 \times 10^{-6}}{58 \times 2 \times \sin^2(3\pi / 58)} = 3.1432 \times 10^{-6}$$

Çubuk büyüklükleri değişmediğinden çubuk direnci  $R_{\zeta K}$  aynı kalır.

$$s = \frac{I_{\zeta K}}{E_{\zeta K}} [R_{\zeta K} + \Delta R_h] = \frac{1059.421}{8.348} (3.826 + 0.31432) \times 10^{-5}$$

$$s\% = 0.525$$

#### 1.4. Çeşitli Rotor Oluğ Şekillerine İlişkin Klasik Yöntemle Hesaplanan Performanslara Ait Büyüklüklerin Karşılaştırılması

Klasik yönteme makina modelleri için bulunan performans değerleri Tablo 1.3 'de verilmiştir.

Tablo 1.3 Çeşitli makina modellerinin performanslarına ait büytlüklerin klasik yöntemle hesaplanan değerleri

	Verim (%)	$\cos \varphi_1$	$\cos \varphi_0$	$\cos \varphi_K$	$M_{d\gamma} [\text{Nm}]$	$M_{dd} [\text{Nm}]$	$I_r [A]$	$g$	$s (\%)$
Model 1	94,915	0,85	0,0858	0,0581	344,934	7275,965	1060,3	0,0074	0,599
Model 2	94,90	0,7388	0,0872	0,0266	71,960	3451,03	1060,3	0,0099	0,5155
Model 3	94,784	0,86	0,083	0,0687	501,99	8093,38	1061,575	0,0289	0,5295
Model 4	95,272	0,8278	0,0614	0,1162	1361,489	8653,8	1061,281	0,0723	0,5275
Model 5	93,23	0,8498	0,0736	0,154	2081,943	8306,155	1061,128	0,117	0,525
Model 6	94,43	0,8311	0,0641	0,0899	897,237	8570	1061,48	0,08	0,5235
Model 7	94,11	0,866	0,081	0,11	1311,79	8406,4	1059,421	0,073	0,525

## **2. BÖLÜM INDAN Bilgisayar Programı**

### **2.1 INDAN Hazır Paket Programının Tanıtımı [2]**

INDAN ( Induction Motor Analysis ) yukarıda da belirtildiği gibi indüksiyon motorlarının analizinde kullanılan bir bilgisayar programıdır. Bu programı çalıştırabilmek için, kullanılacak bilgisayarın en az 640 kB hard disk, matematik işlemcisi ile MS - DOS işletim sisteminin olması gerekmektedir.

Programda dosya adları, DOS işletim sistemine uygun olduğu sürece istenildiği gibi seçilebilir ; ancak dosya adlarının ve içeriğinin hatırlanabilmesi için aşağıda belirtildiği gibi isimlendirme yapılması tavsiye edilir.

Örnek ; 500-6.001; burada 500 ; [ kW ] cinsinden motor gücü ; 6, çift kutup sayısı ; 001 ise tasarım no'sudur.

Yeni veri girişi eski veriler değiştirilerek yapılır. Bunun için önce eski dosya, başka dosyaya kopyalanır.

Örnek : Eski dosya adı Z1 olsun.

INPUT DEMO.INP Z1 komutu yazılınca ve demodaki bilgiler sırayla ekrana gelince bu verilerin altında yeni veri olarak ne girileceği de sorulur. Buralara istenilen değerler girilir.

INPUT < dosya ismi > komutu girilince de o isimde saklanan dosyanın verileri girilebilir. Yeni veriler girilse dahi bunlar saklansa da ( ki saklanmayacaktır ) bir anlam ifade etmez.

RUN < dosya ismi > makina stator ve rotor resmini ekrana verir.

PLOTPRN < dosya ismi > makina stator ve rotor resminin kağıda basılmasını sağlar.

COPYPRN < dosya ismi > komutu sadece çıkış değerlerini kağıda basar ama bunların ne anlama geldiğini belirtmez.

COPYPRN OUTPUT < dosya ismi > komutu makina çıkış değerlerini (devir sayısı, empedanslar, ağırlıklar vs.) kağıda basar.

INDAN programının çalıştırılması esnasında sorulan sorular Ek B 1'de belirtilmiştir.

Bu soruların yanıtlanması esnasında dikkat edilecek bazı hususlar şöyle sıralanabilir.

Öncelikle güçler kW, kVA; uzunluk ölçüleri mm cinsinden girilmelidir. Aksiyal soğutma varsa soğutma kanalı sayısı ve genişliği 0 girilmelidir. Burada veri girişi radyal soğutma için yapılacaktır. Çeşitli konstruktif nedenlerden dolayı açık ağızlı oluklar tercih edilebilir. Böyle bir durumda Ek:B 1'de 4. ana birimin 41. ve 51. satırlarında aynı veri girişi yapılmalıdır. Aynı nedenlerden dolayı oluk kıvrım derinliği de ağız açık oluklar için 0 olarak girilmelidir.

İletken uzunluğu ve ek direncin pu (birim) değeri girişi istenirse yapılmayabilir. Program bunu otomatik olarak yapabilmektedir. Referans stator sıcaklığının  $120^{\circ}$  olarak alınması tavsiye edilmektedir.

Stator sargı kodu ise projede ele alınan sargı çeşidine göre 1,2 veya 3 şeklinde girilebilir. Burada 1, tek olukta iki tabakalı sargı ; 2, olugun üst kısmında iki tabakalı sargıyı ; 3, olugun alt kısmında iki tabakalı sargı olduğu anlamına gelmektedir.

Rotor oluk derinliğinde stator da olduğu gibi hava aralığından oluk tabanına kadar olan yükseklik mm cinsinden yazılacaktır. Burada rotor oluk şekli dairesel ise kıvrım (taper) derinliği 0 olarak girilir.

Rotor sargı kodu da, stator da olduğu gibi rotor oluk şekline göre 1,2,3 veya 4 şeklinde girilir. Burada;

1. Yamuk ve dikdörtgen şeklindeki tek kafesli oluklar
2. Tek kafesli ama herhangi bir geometrik şekli olmayan oluklar için
3. Çift veya 3 kafesli rotor oluk şekli olup üst kafesi dikdörtgendir.
4. Çift veya 3 kafesli rotor oluk şekli olup; üst kafesi dairedir.

Referans stator sıcaklığının  $180^{\circ} \text{ C}$  olarak girilmesi tavsiye edilmektedir.

Programda sorulan D1, D2, D3, D4 ve W1, W2, W3, W4 gibi yükseklik ve genişlıkların hangi rotor oluk şekli için nereyi gösterdiği ve veri girişi yapabilmek için gerekebilecek bilgiler detaylı olarak Ek:B 1'de sunulmuştur.

## **2.2 INDAN (Induction Motor Analysis) Bilgisayar Programı Yardımıyla Elde Edilen Sonuçlar**

### **2.2.1 INDAN Programı Yardımıyla Hesaplanan Eşdeğer Devre Parametreleri**

#### **2.2.1.1 1. Makina Modeli İçin Hesaplanan Değerler**

INDAN programıyla 1. makina modeli için bulunan değerler Tablo 2.1 'de verilmiştir.

**Tablo 2.1 INDAN programıyla hesaplanan 1. makina modeline ait değerler**

pu $X_1$	0,13705
pu $X_2$	2,60198
pu $R_2$	0,00593
$R_m$	93,74148
Rotor Sargı Ağırlığı	183,4
Dis Ağırlığı	201,2
Boyunca Ağırlığı	244
Max. Aki. Yegünlüğü	
Rotor Disleri	1,747
Rotor Boyunduruğu	1,652

#### **2.2.1.2 2. Makina Modeli İçin Hesaplanan Değerler**

INDAN programıyla 2. makina modeli için bulunan değerler Tablo 2.2 'de verilmiştir.

**Tablo 2.2 INDAN programıyla hesaplanan 2. makina modeline ait değerler**

pu $X_1$	0,30282
pu $X_2$	3,18759
pu $R_2$	0,00599
$R_m$	94,67256
Rotor Sargı Ağırlığı	166,2
Dis Ağırlığı	468,5
Boyunca Ağırlığı	170
Max. Aki. Yegünlüğü	
Rotor Disleri	2,049
Rotor Boyunduruğu	1,652

### 2.2.1.3 3. Makina Modeli İçin Hesaplanan Değerler

INDAN programıyla 3. makina modeli için bulunan değerler Tablo 2.3 'de verilmiştir.

**Tablo 2.3 INDAN programıyla hesaplanan 3. makina modeline ait değerler**

pu $X_1$	0,17649
pu $X_n$	2,45403
pu $R_2$	0,00594
$R_m$	93,43890
<b>Rotor Sarmal Ağırlığı</b>	<b>186,2</b>
<b>Dış Ağırlığı</b>	<b>217,3</b>
<b>Boyunduk Ağırlığı</b>	<b>239,8</b>
<b>Max. Aki Yükseliği</b>	
<b>Rotor Dişleri</b>	<b>1,787</b>
<b>Rotor Boyundurumu</b>	<b>1,652</b>

### 2.2.1.4 4. Makina Modeli İçin Hesaplanan Değerler

INDAN programıyla 4. makina modeli için bulunan değerler Tablo 2.4 'de verilmiştir.

**Tablo 2.4 INDAN programıyla hesaplanan 4. makina modeline ait değerler**

pu $X_1$	0,16769
pu $X_n$	0,167169
pu $R_2$	0,00595
$R_m$	91,76535
<b>Rotor Sarmal Ağırlığı</b>	<b>188,6</b>
<b>Dış Ağırlığı</b>	<b>244</b>
<b>Boyunduk Ağırlığı</b>	<b>557,2</b>
<b>Max. Aki Yükseliği</b>	
<b>Rotor Dişleri</b>	<b>2,254</b>
<b>Rotor Boyundurumu</b>	<b>1,652</b>

### 2.2.1.5 5. Makina Modeli İçin Hesaplanan Değerler

INDAN programıyla 5. makina modeli için bulunan değerler Tablo 2.5 'de verilmiştir.

Tablo 2.5 INDAN programıyla hesaplanan 5. makina modeline ait değerler

$\text{pu } X_{L_2}$	0,14040
$\text{pu } X_m$	2,13099
$\text{pu } R_2$	0,0059
$R_m$	92,63944
Rotor Sargı Ağırlığı	188,9
Dis Ağırlığı	161,1
Boyunca Ağırlığı	252,6
Max. Aks. Yıgrınlığı	
Rotor Disleri	2,187
Rotor Boyundurugu	1,652

### 2.2.1.6 6. Makina Modeli İçin Hesaplanan Değerler

INDAN programıyla 6. makina modeli için bulunan değerler Tablo 2.6 'de verilmiştir.

Tablo 2.6 INDAN programıyla hesaplanan 6. makina modeline ait değerler

$\text{pu } X_{L_2}$	0,21639
$\text{pu } X_m$	1,36122
$\text{pu } R_2$	0,00606
$R_m$	89,31894
Rotor Sargı Ağırlığı	192,9
Dis Ağırlığı	244
Boyunca Ağırlığı	557,2
Max. Aks. Yıgrınlığı	
Rotor Disleri	2,345
Rotor Boyundurugu	1,652

### **2.2.1.7 7. Makina Modeli İçin Hesaplanan Değerler**

INDAN programıyla 7. makina modeli için bulunan değerler Tablo 2.7 'de verilmiştir.

**Tablo 2.7 INDAN programıyla hesaplanan 7. makina modeline ait değerler**

pu $X_{l_2}$	0,18967
pu $X_m$	1,78580
pu $R_m$	0,00604
$R_m$	91,48392
Rotor Sarıgı Ağırlığı	194,7
Dis Ağırlığı	183,4
Boyunduk Ağırlığı	246,9
Max. Aks Yıgrılığın	
Rotor Disleri	2,272
Rotor Boyundarlığı	1,652

### **2.2.2 INDAN (Induction Motor Analysis) Programında Hesaplanan Ek Değerler**

Burada çeşitli oranlarda yükleme durumunda makinaların performansına ilişkin önemli bazı değerler sırayla sunulacaktır. Daha detaylı bilgiler Ek:B 2'de verilmiştir.

#### **2.2.2.1 1. Makina Modeli**

1.makina modelinin performanslarına ait INDAN programıyla bulunan değerler Tablo 2.8'de verilmiştir.

**Tablo 2.8 1.makinaya ait performansların INDAN programıyla hesaplanan değerleri**

Yükleme Oranı	% 125	% 100	% 75	% 50	% 25
Kayma	0,728	0,562	0,410	0,268	0,132
Cos $\phi_n$	0,857	0,847	0,812	0,724	0,501
$P_k$ yüzey	4845	3168	1937	1095	601
Verim %	95,135	95,376	95,259	94,351	90,414
Hız Moment Eğrisi					
% Kayma		% 100	% 75	% 50	% 25
pu Moment		1,392	1,336	1,262	1,209
Güç Faktörü		0,298	0,294	0,288	0,288

### 2.2.2.2. 2. Makina Modeli

2.makinanın performanslarına ait INDAN programıyla bulunan değerler Tablo 2.9'de verilmiştir.

**Tablo 2.9 2.makinaya ait performansların INDAN programıyla hesaplanan değerleri**

Yükleme Oranı	% 125	% 100	% 75	% 50	% 25
Kayma	0,933	0,642	0,434	0,274	0,133
Cos $\varphi_n$	0,759	0,8	0,803	0,752	0,563
P <sub>k yüzey</sub>	6314	3653	1990	1012	471
Verim %	94,150	94,967	95,187	94,454	90,754
Hız Moment Eğrisi					
% Kayma		% 100	% 75	% 50	% 25
pu Moment		1,525	1,624	1,738	1,847
Güç Faktörü		0,318	0,339	0,370	0,424

### 2.2.2.3 3. Makina Modeli

3.makinanın performanslarına ait INDAN programıyla bulunan değerler Tablo 2.10'da verilmiştir.

**Tablo 2.10 3.makinaya ait performansların INDAN programıyla hesaplanan değerleri**

Yükleme Oranı	% 125	% 100	% 75	% 50	% 25
Kayma	0,757	0,576	0,416	0,27	0,133
Cos $\varphi_n$	0,829	0,822	0,789	0,7	0,479
P <sub>k yüzey</sub>	5210	3373	2058	1172	658
Verim %	94,913	95,226	95,147	94,246	90,261
Hız Moment Eğrisi					
% Kayma		% 100	% 75	% 50	% 25
pu Moment		2,434	2,407	2,225	1,77
Güç Faktörü		0,450	0,466	0,421	0,394

#### **2.2.2.4 4. Makina Modeli**

4.makinanın performanslarına ait INDAN programıyla bulunan değerler Tablo 2.11'de verilmiştir.

**Tablo 2.11 4.makinaya ait performansların INDAN programıyla hesaplanan değerleri**

Yükleme Oranı	% 125	% 100	% 75	% 50	% 25
Kayma	0,766	0,585	0,424	0,276	0,136
Cos $\phi_n$	0,792	0,773	0,723	0,613	0,39
P <sub>k yüzey</sub>	5727	3830	2465	1543	1007
Verim %	94,63	94,915	94,781	93,752	89,337
Hız Moment Eğrisi					
% Kayma		% 100	% 75	% 50	% 25
p <sub>u</sub> Moment		2,646	2,594	2,362	1,831
Güç Faktörü		0,468	0,483	0,478	0,421

#### **2.2.2.5 5. Makina Modeli**

5.makinanın performanslarına ait INDAN programıyla bulunan değerler Tablo 2.12'de verilmiştir.

**Tablo 2.12 5.makinaya ait performansların INDAN programıyla hesaplanan değerleri**

Yükleme Oranı	% 125	% 100	% 75	% 50	% 25
Kayma	0,735	0,567	0,413	0,27	0,133
Cos $\phi_n$	0,829	0,811	0,765	0,661	0,434
P <sub>k yüzey</sub>	5202	3463	2189	1319	809
Verim %	94,939	95,176	95,034	94,054	89,863
Hız Moment Eğrisi					
% Kayma		% 100	% 75	% 50	% 25
p <sub>u</sub> Moment		2,160	2,208	2,114	1,764
Güç Faktörü		0,385	0,402	0,408	0,381

### 2.2.2.6 6. Makina Modeli

6.makinanın performanslarına ait INDAN programıyla bulunan değerler Tablo 2.13'de verilmiştir.

Tablo 2.13 6.makinaya ait performansların INDAN programıyla hesaplanan değerleri

Yükleme Oranı	% 125	% 100	% 75	% 50	% 25
Kayma	0,85	0,633	0,45	0,29	0,142
Cos $\varphi_n$	0,703	0,682	0,622	0,506	0,305
P <sub>k</sub> yüzey	7398	5019	3380	2311	1703
Verim %	93,663	94,082	93,949	92,723	87,495
Hız Moment Eğrisi					
% Kayma		% 100	% 75	% 50	% 25
p <sub>u</sub> Moment		3,124	3,150	2,924	2,214
Güç Faktörü		0,516	0,552	0,575	0,529

### 2.2.2.7 7. Makina Modeli

7.makinanın performanslarına ait INDAN programıyla bulunan değerler Tablo 2.14'de verilmiştir.

Tablo 2.14 7.makinaya ait performansların INDAN programıyla hesaplanan değerleri

Yükleme Oranı	% 125	% 100	% 75	% 50	% 25
Kayma	0,797	0,603	0,434	0,281	0,138
Cos $\varphi_n$	0,772	0,756	0,706	0,597	0,378
P <sub>k</sub> yüzey	6048	4022	2588	1631	1079
Verim %	94,43	94,771	94,663	93,63	89,145
Hız Moment Eğrisi					
% Kayma		% 100	% 75	% 50	% 25
p <sub>u</sub> Moment		2,707	2,869	2,824	2,247
Güç Faktörü		0,445	0,484	0,519	0,498

### 3. BÖLÜM

#### ***3.1 Klasik Yöntem ve INDAN Bilgisayar Programı Yardımıyla Çeşitli Modeller İçin Hesaplanan Eşdeğer Devre Parametrelerin Karşılaştırılması***

Bu bölümde yapılacak olan karşılaştırma Tablo 3.1'de sunulmuştur. Bu tablodaki büyülüklere bağlı olarak klasik yöntemle bulunan diğer bazı değerler Ek:A.1'de sunulmuştur. Ek:A.2'de ise yine klasik yöntemle hesaplanan makina performanslarına ilişkin ek bazı değerler verilmiştir.



Tablo 3.1 Çeşitli Rotor Oluk Şekillerine Sahip Makinaların Esdeğer Devre Parametrelerinin Karşılaştırılması

BÜYÜKLÜK	MODEL 1	MODEL 3	MODEL 4	MODEL 6	MODEL 7	MODEL 5	MODEL 2
K							
L							
A							
S							
K							
pu X <sub>2g</sub>	0,179	0,126	0,215	0,215	0,193	0,194	0,769
pu X <sub>m</sub>	7,276	7,3	5,457	7,25	7,36	6,28	7,4
pu R <sub>2</sub>	0,00752	0,0083	0,00812	0,00812	0,0082	0,00824	0,0072
pu R <sub>m</sub>	59,953	61,26	61,923	58,7981	63,261	59,515	59,0353
-							
pu X <sub>2g</sub>	0,1375	0,17649	0,16749	0,21639	0,18967	0,1404	0,30282
pu X <sub>m</sub>	2,6198	2,4403	1,85969	1,36122	1,7858	2,13099	3,18759
pu R <sub>2</sub>	0,00593	0,0094	0,0059	0,00606	0,00604	0,0059	0,00599
pu R <sub>m</sub>	93,7414	93,4389	91,763	89,3189	91,4839	92,6394	94,6725

## **4. BÖLÜM**

### **4.1 INDAN Programı Yardımıyla Yapılan Hesaplar Esas Alınarak Çeşitli Rotor Oluk Şekillerinin Motor Çıkış Büyüklüklerine Göre Karşılaştırılması**

Bu bölümde makinaların sadece % 100 yüklenmesi durumunda performansların nasıl etkilendiği Tablo 4.1'de verilmiştir. Bazı büyüklükler 2. bölüm 2. kısımda da sunulmuş olmasına rağmen değişimin nasıl bir şekilde olduğunun görülebilmesi daha kolay olacaktır.

**Tablo 4.1 Tüm makina modellerinin motor çıkış büyüklüklerinin %100 yüklenme durumu için INDAN programıyla hesaplanan değerleri**

	Verim %	$\cos \varphi_n$	$I_Y$	s	$p_u M_{dd}^*$
Model 1	95,376	0,847	1071	0,5562	2,444
Model 2	94,967	0,8	1145,8	0,642	1,432
Model 3	95,226	0,822	1083,2	0,576	2,07
Model 4	94,915	0,773	1090,6	0,585	2,214
Model 5	95,176	0,811	1078	0,567	2,412
Model 6	94,082	0,682	1125	0,633	1,758
Model 7	94,771	0,756	1099,4	0,603	2,218

\* : Temel Moment 4810,34 Nm'dir.

## **5. BÖLÜM      Sonuç**

Her iki yöntemle yapılan incelemelerden de görülmektedir ki değişik rotor oluk şekillerinin değişik etkileri vardır. Her ne kadar birbirlerine göre çok büyük üstünlükleri olmasa da önemli olan işletme koşuluna uygun rotor kafes yapısının seçilmesidir. Genel kullanımda ise üst oluşu dairesel alt oluşu dikdörtgen (veya kare) kesitli çift kafesli asenkron makinanın diğer rotor şekillerine sahip olan makinalara göre tercih edilebileceği söylenebilir. Büyük yol alma momenti istenen uygulamalarda çift kafesli rotor oluk şeqli tercih edilmelidir. Oluk genişliği az yüksekliği büyük olan rotor oluk şekillerinde yol alma akımı biraz daha büyütür.

Hesaplamalar aşamasında rotor kafesinin direnci düşürüldüğünde kaçak reaktansın değerinin arttığı görülmüştür. Şu da bilinmelidir ki, rotor direncinin düşürülmesi rotor kayıplarını da değiştirmektedir (azaltmaktadır). Bunun verim üzerinde olumlu etkiler yaptığı da aşıkardır.

Rotor kafes yapılarının arasındaki uzaklık arttıkça kalkış akımının düşmesi olumlu bir özellik olarak söylenebilir. Ancak devrilme momentinin de düşmesi bunu gölgelemektedir.

Bu çalışma da hesaplamalar aşamasında gözlemlenen dikkat çekici bir başka husus da mıknatışlanma akımı ve mıknatışlanma eğrilerinin önemidir. Bir önceki bölümde de belirtildiği gibi bu büyüklükler hemen hemen tüm makina konstrüksiyonunda kendilerini hissettirmişlerdir. Sonuçlardan da izlenebileceği gibi rotor oluk kafesleri arasındaki uzaklık arttıkça motor veriminde de, çok küçük oranda da olsa, azalma görülmektedir. Bunun yanında yine rotor kafesleri birbirine yakın olan modellerde devrilme momentinin de daha yüksek bir değerde olması olumlu bir özelliklektir. Ayrıca bu tip motorlarda kayma daha küçük olmaktadır.

Klasik yöntem, her ne kadar uzun ve dolayısıyla zaman alıcı bir yol olsa da işletme alanında gerekebilecek detaylı bilgileri de içerdiginden tercih edilmesi mantıksal bir



seçimdir; ancak eğer sınırlı bir bilgiye hem süratli hem de o an için gerekmeyen detaylara girmeden ulaşımak isteniyorsa INDAN programı ile kolaylıkla amaca ulaşılabilir. Programın diğer bir avantajı ise değişik yük durumlarında makina büyüklüklerinin ne durumda olduğunu da göstermesidir.



## KAYNAKLAR

- [1] BODUROĞLU Turgut  
Elektrik Makineleri Dersleri , Cilt II , Kısım III  
Beta Yayınları İSTANBUL,1993
- [2] ANDERSEN D. W.; INDAN - User's Manual  
1993 yılında Elektrik Makineleri Ana Bilim Dalı tarafından satın alınmıştır.
- [3] BODUROĞLU. Turgut  
Elektrik Makineleri Dersleri , Cilt III , Kısım II  
Beta Yayınları İSTANBUL,1993
- [4] GÜZELBEYOĞLU Nurdan  
Elektrik Makineleri I - II  
İ.T.Ü. Rektörlüğü No: 1493 , 1992
- [5] SARIOĞLU Kemal  
Elektrik Makinelerinin Temelleri; Cilt:3  
Asenkron Makineler  
Çağlayan Yayınları İSTANBUL,1984
- [6] KOCABAŞ A.Derya  
Elektrik makinalarında uzay harmoniklerinin uzay fazörleriyle bilgisayar destekli analizi, Yüksek Lisans Tezi , Ocak 1997, İSTANBUL

EK. A.1 Klasik Yöntemle Hesaplanan Çeşitli Rotor Oluk Şekillerine Sahip Makina Modellerinin Esdeger Devre Parametrelerinde  
Kullanılan Ek Büyüklükler

BÜYÜKLÜK	MODEL 1	MODEL 3	MODEL 4	MODEL 6	MODEL 7	MODEL 5	MODEL 2
$J_K$	859,148	319,69	346,865	338,939	331,183	327,788	133,196
$J_\mu$	23,6	23,5	31,466	23,671	23,32	27,32	23,2
$J_V$	2,0328	2,047	2,027	2,041	1,897	2,0164	2,0328
$I_0$	23,687	23,581	31,525	31,532	23,397	27,384	23,288
$R_K$	0,491	0,52	0,823	0,642	0,815	1,152	0,483
$X_K$	8,434	7,55	7,034	7,111	7,256	7,345	18,14

EK. A 2 Klasik Yöntemle Hesaplanan Çeşitli Rotor Oluşum Sekillerine Sahip Makina Modellerinin Performanslarının Hesabına İlişkin  
Ek Büyüklükler

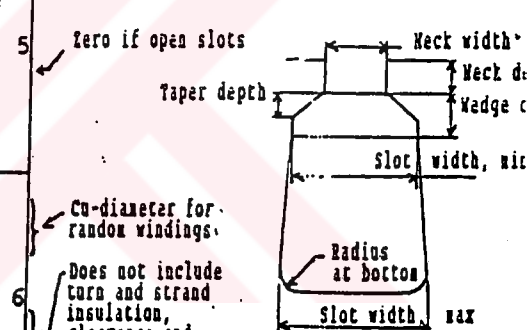
BÜYÜKLÜK	MODEL 1	MODEL 3	MODEL 4	MODEL 6	MODEL 7	MODEL 5	MODEL 2
$P_{ky+p}$	3083,024	3185,11	3043,15	3139,73	2146,767	2969,31	3083,024
$P_{dew}$	326,387	480,494	311,622	332,627	354,215	354,246	326,387
$P_w$	526,787	526,825	527,515	536,3	529,45	524,813	526,787
R. Dış Ağırlığı	203	221,42	185,401	210,067	192,588	167,426	468,34
R. Boy. Ağırlığı	243,827	172,838	212,887	231,841	217,645	199,267	172,75

Numerical data are entered with the first digit in columns 1, 11, 21 etc as indicated. Decimal point is optional. All dimensions are in mm.

## IDENTIFICATION (line 1):

Max. 80 characters, including blank

Description	Col.	Data Line
KW	1	
BASE KVA	11	
VOLTAGE (volts)	21	
FREQUENCY	31	
NUMBER OF POLES	41	
STATOR PUNCHING MATERIAL	51	
W/KG TEETH, B=1.0	61	
W/KG YOKE, B=1.0	71	
STACKING FACTOR =0.95	1	
STRAY LOAD LOSS FACTOR ≈1.0	11	
W&F LOSS FACTOR =0.05-0.15	21	
OUTSIDE DIAMETER	31	
INSIDE DIAMETER	41	
STACK LENGTH	51	
NO. OF VENTILATING DUCTS	61	
WIDTH OF VENTILATING DUCT	71	
CROSS SECTION, SPACE BLOCK	1	
NUMBER OF STATOR SLOTS	11	
NO. OF VENTILATING HOLES	21	
HOLE DIAMETER	31	
SLOT WIDTH, MIN. MAX.	41 51	
NECK WIDTH (above wedge)	61	
NECK DEPTH	71	
SLOT DEPTH	1	
TAPER DEPTH	11	
WEDGE DEPTH	21	
MAGNETIC=1, NON-MAGNETIC=0	31	
RADIUS AT BOTTOM	41	
HORIZONTAL SPACER	51	
STATOR WINDING CODE	61	
URNS PER COIL	71	
STRANDS PER TURN	1	
CU-WIDTH	11	
CU-DEPTH	21	
INSUL. ALLOWANCES, TWO SIDES	31	
ARMOR TAPE	41	
MAIN INSULATION, COIL END	51	
SLOT	61	
TURN INSULATION	71	
STRAND INSULATION	1	
CONNECTION (Y=1, D=2)	11	
NO. OF PARALLEL CIRCUITS	21	
COIL PITCH	31	
MEAN LENGTH OF TURN	41	
PU ADDITION, RESISTANCE	51	
REFERENCE STATOR TEMP., °C	61	
AIR GAP	71	
ROTOR PUNCHING MATERIAL	1	
STACKING FACTOR =0.95	11	
BORE DIAMETER	21	
NO. OF VENTILATING HOLES	31	
HOLE DIAMETER	41	



← Cu-diameter for random windings.  
← Does not include turn and strand insulation, clearance and armor tape.  
← For random winding, 2 \* th'k of slot liner.  
← Does not include strand insulation.

← Equal to 7 for slot 1 to 8

← Can be entered as zero and determined by the program.

← Often 120

← Often the same as in line 2

- \* 1 = two layer winding in whole slot
- 2 = two layer winding in top half slot
- 3 = two layer winding in bottom half slot

## INDUCTION MOTOR ANALYSIS

## PROGRAM INDAN

## INPUT SHEET

Description	Col.	Data Line
NUMBER OF ROTOR SLOTS	1	
SLOT DEPTH	11	
NECK WIDTH	21	
NECK DEPTH	31	
TAPER DEPTH (zero, round bar)	41	
MAX. NECK FLUX DENSITY AT START	51	
REFERENCE ROTOR TEMPERATURE, °C	61	
ROTOR WINDING CODE	71	

← Total depth, from air gap to bottom of slot

← 2.1

← after 180

← 1 = trapezoidal or rectangular bars

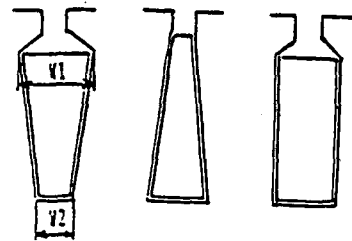
2 = inverted T-bars

3 = double or triple cage, rectangular top bar

4 = double or triple cage, round top bar

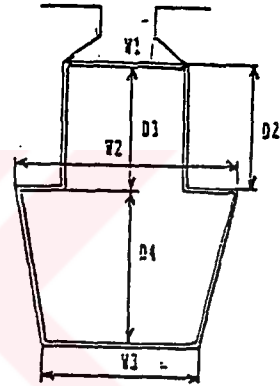
## Trapezoidal or rectangular bars

ASSEMBLED/CAST AL BARS (1 or 2)	1	
W1 = SLOT WIDTH, TOP	11	
W2 = SLOT WIDTH, BOTTOM	21	
D3 = BAR DEPTH	31	10
CLEARANCE, TWO SIDES	41	
PU BAR RESIST. (CU=1, AL=1.6)	51	
BAR EXTENSION, ONE SIDE:	61	
PU BAR AREA, EXTENSION ( $\leq 1$ )	71	
CU/CAST AL ENDRING		
CROSS SECTIONAL AREA	1	11
AVERAGE DIAMETER	11	



## Inverted T-bars

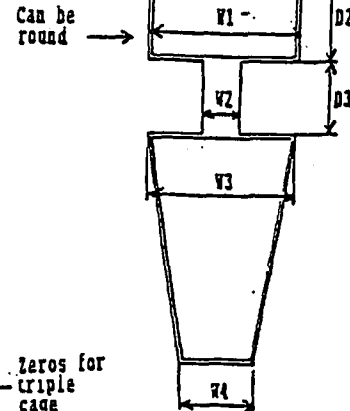
ASSEMBLED/CAST AL BARS (1 or 2)	1	
W1 = SLOT WIDTH, TOP	11	
W2 = SLOT WIDTH, CENTER	21	
W3 = SLOT WIDTH, BOTTOM	31	10
D2 = SLOT DEPTH, TOP	41	
D3 = BAR DEPTH, TOP	51	
D4 = BAR DEPTH, BOTTOM	61	
CLEARANCE, TWO SIDES, TOP	1	
BOTTOM	11	
PU BAR RESIST. (CU=1, AL=1.5)	21	
BAR EXTENSION, ONE SIDE	31	11
PU BAR AREA, EXTENSION ( $\leq 1$ )	41	
CU/CAST AL ENDRING		
CROSS SECTIONAL AREA	51	
AVERAGE DIAMETER	61	

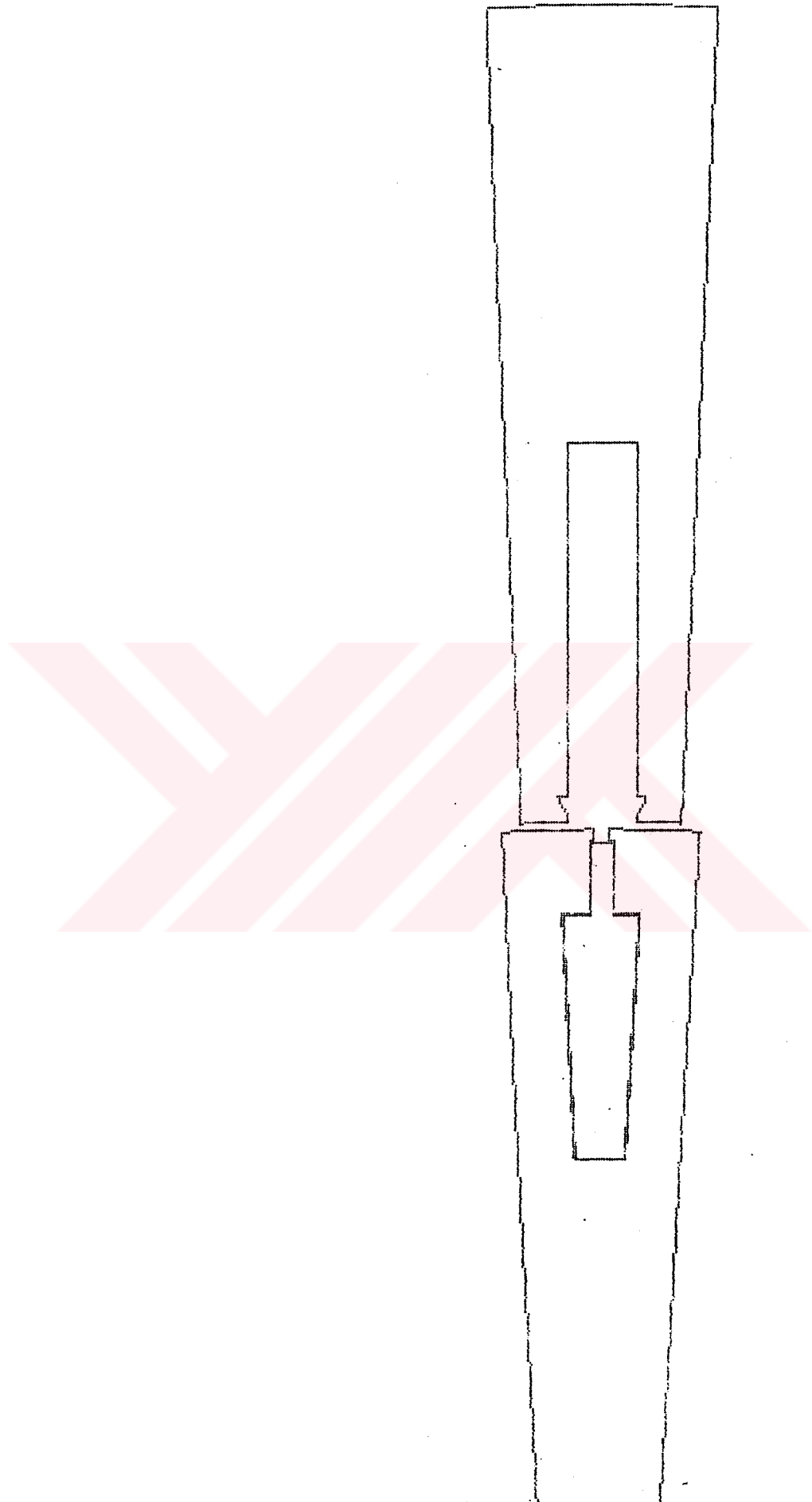


## Assembled double cage or cast aluminum triple cage

ASSEMBLED/CAST AL BARS (1 or 2)	1	
W1 = SLOT WIDTH, TOP	11	
W2 = SLOT WIDTH, LEAKAGE	21	
W3 = SLOT WIDTH, CENTER	31	10
W4 = SLOT WIDTH, BOTTOM	41	
D2 = SLOT DEPTH, TOP	51	
D3 = SLOT DEPTH, LEAKAGE	61	
D4 = BAR DEPTH, TOP	71	
D5 = BAR DEPTH, BOTTOM	1	
CLEARANCE, TWO SIDES, TOP	11	
BOTTOM	21	
PU BAR RESISTIVITY, TOP	31	11
BOTTOM (CU=1, AL=1.6)	41	
BAR EXTENSION, ONE SIDE, TOP	51	
BOTTOM	61	
CU ENDRING, TOP/CAST AL ENDRING		
CROSS SECTIONAL AREA	1	
AVERAGE DIAMETER	11	12
CU ENDRING, BOTTOM	21	
CROSS SECTIONAL AREA	31	
AVERAGE DIAMETER		

← Assembled triple cage = 1





SCALE 1.000  
6 POLE, 500 KW MOTOR

PROGRAM INDAN

INDUCTION MOTOR ANALYSIS

6 POLE, 500 KW MOTOR

KW 500.000  
BASE KVA 610.000  
VOLTAGE 4000.0  
FREQUENCY 50.000  
NUMBER OF POLES 6.0  
  
STATOR PUNCHING MATERIAL 1.0  
W/KG TEETH, B=1.0 3.500  
W/KG YOKE, B=1.0 3.500  
STACKING FACTOR 0.970  
STRAY LOAD LOSS FACTOR 1.000  
W&F LOSS FACTOR 0.0600  
OUTSIDE DIAMETER 870.0  
INSIDE DIAMETER 600.0  
STACK LENGTH 470.0  
NO. OF VENTILATING DUCTS 9.0  
WIDTH OF VENTILATING DUCT 6.0  
CROSS SECTION, SPACE BLOCK 18.0  
NUMBER OF STATOR SLOTS 72.0  
NO. OF VENTILATING HOLES 0.0  
HOLE DIAMETER 0.0  
SLOT WIDTH, MIN. 11.5  
MAX. 11.5  
NECK WIDTH (ABOVE WEDGE) 11.5  
NECK DEPTH 1.0  
SLOT DEPTH 63.0  
TAPER DEPTH 0.0  
WEDGE DEPTH 3.0  
  
NON-MAGNETIC  
RADIUS AT BOTTOM 0.00  
HORIZONTAL SPACER 2.0

STATOR WINDING CODE 1.0  
TURNS PER COIL 12.0  
STRANDS PER TURN 1.0  
CU-WIDTH 7.60  
CU-DEPTH 1.81  
INSULATION ALLOWANCES, TWO SIDES  
ARMOR TAPE 0.00  
MAIN INSULATION, COIL END 3.30  
SLOT 3.30  
TURN INSULATION 0.00  
STRAND INSULATION 0.20  
CONNECTION Y  
NO. OF PARALLEL CIRCUITS 2.0  
COIL PITCH 10.0  
MEAN LENGTH OF TURN 2358.5  
PU ADDITION, RESISTANCE 0.0008  
REFERENCE STATOR TEMP., DEG. C 120.0  
AIR GAP 1.30  
ROTOR PUNCHING MATERIAL 1.0  
STACKING FACTOR 0.970  
BORE DIAMETER 370.0  
NO. OF VENTILATING HOLES 0.0  
HOLE DIAMETER 0.0  
NUMBER OF ROTOR SLOTS 58.0  
SLOT DEPTH 55.00  
NECK WIDTH 2.50  
NECK DEPTH 2.00  
TAPER DEPTH 0.00  
MAX. NECK FLUX DENSITY AT START 2.100  
REFERENCE ROTOR TEMP., DEG. C 180.0  
  
ROTOR WINDING CODE 2.0  
ASSEMBLED INVERTED T-BARS  
W1 = SLOT WIDTH, TOP 4.00  
W2 = SLOT WIDTH, CENTER 12.80  
W3 = SLOT WIDTH, BOTTOM 3.30  
D2 = SLOT DEPTH, TOP 12.0  
D3 = BAR DEPTH, TOP 11.7  
D4 = BAR DEPTH, BOTTOM 40.7  
CLEARANCE, TWO SIDES, TOP 0.30  
CLEARANCE, TWO SIDES, BOTTOM 0.30  
PU BAR RESISTIVITY 1.000  
BAR EXTENSION, ONE SIDE 50.0  
PU BAR AREA, EXTENSION 0.800  
CU ENDRING  
CROSS SECTIONAL AREA 1771.1  
AVERAGE DIAMETER 477.4

SYNCHRONOUS RPM 1000.0  
 PERIPHERAL SPEED, M/SEC 31.28  
 BASE STATOR CURRENT 88.0  
 BASE TORQUE, NEWTON\*METER 4810.38  
 FLUX AT NO LOAD 0.07826  
 STATOR CURRENT DENSITY 3.301  
 SURFACE LOADING, W/SQ.CM.  
     STATOR, BELOW WEDGE  
         DUE TO DC LOSS 0.0595  
         DUE TO TOTAL CU-LOSS 0.0616  
     STATOR, TOWARDS AIR GAP  
         DUE TO CORE LOSS 0.488  
         DUE TO TOTAL CU-LOSS 0.332

TEMPERATURE RISE (NOT ALWAYS CALC.)

    STATOR, RTD 42.6  
         CU, UPPER 43.8  
         CU, LOWER 44.6  
         TEETH 39.7

COOLING AIR 24.0

#### FACTORS

    OUTPUT FACTOR 3.605  
     PITCH FACTOR 0.966  
     WINDING FACTOR 0.922  
     CARTER'S COEFFICIENT 1.540  
     PU EDDY CURRENT LOSS, MAX. 0.061  
         AVG. 0.007

#### RATIOS

    A/CM STATOR LOADING 403.6  
     PU COIL PITCH 0.833  
     STATOR SLOT WIDTH/AIR GAP 8.846  
     STATOR SLOT/TOOTH WIDTH 0.783  
     VOLTS PER TURN 16.793  
     STATOR SLOTS/POLE 12.000  
     ROTOR SLOTS/POLE 9.667

#### CU-FILL FACTOR

RANDOM WOUND STATOR WINDING 0.000

#### DIMENSIONS

    LENGTH OF STATOR PACKAGE 41.6  
     NET STACK LENGTH 403.5  
     STATOR SLOT PITCH, GAP DIAM. 26.18  
     ROTOR SLOT PITCH, GAP DIAM. 32.36

#### CLEARANCES IN STATOR SLOT

    IN THE WIDTH 0.40  
     IN THE DEPTH 2.16

	MAX. FLUX DENSITIES	AMF. TURNS	PU STATOR CURRENT
AIR GAP	0.833	1326.8	0.2520
STATOR TEETH	1.729	53.9	0.0112
STATOR YOKE	1.347	20.8	0.0039
ROTOR TEETH	1.747	414.7	0.0788
ROTOR YOKE	1.652	136.6	0.0259
TOTAL, NO LOAD		1957.9	0.3719
		PU VOLTS, NO LOAD	AMPS
		1.2	1.1408
		1.1	0.5594
		1.0	0.3719
		0.9	0.2653
		0.8	0.2120
			18.67

#### LOAD POINTS

% LOAD	125	100	75	50	25
--------	-----	-----	----	----	----

## LOAD POINTS

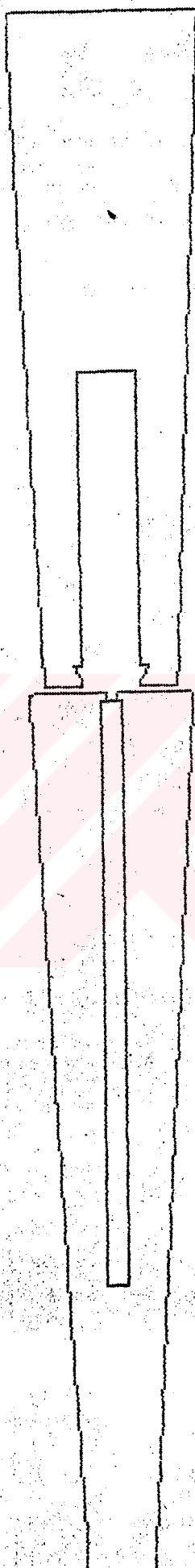
	125	100	75	50	25
% LOAD					
% SLIP	0.728	0.562	0.410	0.268	0.132
PU STATOR CURRENT	1.246	1.007	0.788	0.592	0.439
PU ROTOR CURRENT	1.126	0.895	0.655	0.432	0.214
POWERFACTOR	0.857	0.847	0.812	0.724	0.501
STATOR I-SQUARED*R LOSS	11.142	7.285	4.455	2.518	1.381
ROTOR I-SQUARED*R LOSS	4.587	2.833	1.550	0.675	0.166
STRAY LOAD LOSS	4.845	3.168	1.937	1.095	0.601
% EFFICIENCY	95.135	95.376	95.259	94.351	90.414

## SPEED-TORQUE CURVE

	100	75	50	25	FULL-UP	PULL-OUT
% SLIP						
PU TORQUE	1.392	1.336	1.262	1.209	1.209	2.444
PU STATOR CURRENT	5.738	5.506	5.224	4.854	4.854	3.148
PU ROTOR CURRENT	5.562	5.322	5.030	4.647	4.647	2.930
POWERFACTOR	0.298	0.294	0.288	0.288	0.288	0.696
FACTOR R2	6.266	4.930	3.475	1.949	1.949	1.014
FACTOR XL2	0.593	0.649	0.725	0.834	0.834	0.954

## 4 POLE, 500 KW MOTOR

	610	4000	50	5	1	3.5	3.5
.97	1	.06	870	600	470	9	6
18	72	0	0	11.5	11.5	11.5	1
63	0	3	0	0	2	1	12
1	7.6	1.81	0	3.3	3.3	0	.2
1	2	10	2358.489	.008	120	1.3	
1	.97	370	0	0			
58	55	2.5	2	0	2.1	180	2
1	4	12.8	9.3	12	11.7	40.7	
.3	.3	1	50	.6	1771.061	477.4	



SCALE 0.815

500.000  
 KVA 610.000  
 SE 4000.0  
 ENCY 50.000  
 R OF POLES 6.0  
 R PUNCHING MATERIAL 1.0  
 S TEETH, B=1.0 3.500  
 S YOKE, B=1.0 3.500  
 CKING FACTOR 0.970  
 LOAD LOSS FACTOR 1.000  
 JSS FACTOR 0.0600  
 DE DIAMETER 870.0  
 E DIAMETER 600.0  
 LENGTH 470.0  
 F VENTILATING DUCTS 9.0  
 OF VENTILATING DUCT 6.0  
 SECTION, SPACE BLOCK 18.0  
 R OF STATOR SLOTS 72.0  
 F VENTILATING HOLES 0.0  
 DIAMETER 0.0  
 WIDTH, MIN. 11.5  
 MAX. 11.5  
 WIDTH (ABOVE WEDGE) 11.5  
 DEPTH 1.0  
 DEPTH 53.0  
 DEPTH 10.0  
 DEPTH 3.0  
 -MAGNETIC  
 B AT BOTTOM 0.00  
 ONTAL SPACER 2.0  
 STATOR WINDING CODE 1.0  
 TURNS PER COIL 12.0  
 STRANDS PER TURN 1.0  
 CU-WIDTH 7.60  
 CU-DEPTH 1.81  
 INSULATION ALLOWANCES, TWO SIDES  
 ARMOR TAPE 0.00  
 MAIN INSULATION, COIL END 3.30  
 SLOT 3.30  
 TURN INSULATION 0.00  
 STRAND INSULATION 0.20  
 CONNECTION Y  
 NO. OF PARALLEL CIRCUITS 2.0  
 COIL PITCH 10.0  
 MEAN LENGTH OF TURN 2358.5  
 PU ADDITION, RESISTANCE 0.008  
 REFERENCE STATOR TEMP., DEG. C 120.0  
 AIR GAP 1.30  
 ROTOR PUNCHING MATERIAL 1.0  
 STACKING FACTOR 0.970  
 BORE DIAMETER 240.4  
 NO. OF VENTILATING HOLES 0.0  
 HOLE DIAMETER 0.0  
 NUMBER OF ROTOR SLOTS 58.0  
 SLOT DEPTH 119.80  
 NECK WIDTH 2.50  
 NECK DEPTH 2.00  
 TAPER DEPTH 0.00  
 MAX. NECK FLUX DENSITY AT START 2.100  
 REFERENCE ROTOR TEMP., DEG. C 180.0  
 ROTOR WINDING CODE 1.0  
 ASSEMBLED RECTANGULAR BARS  
 W1 = SLOT WIDTH, TOP 4.00  
 W2 = SLOT WIDTH, BOTTOM 4.00  
 D3 = BAR DEPTH 117.8  
 CLEARANCE, TWO SIDES 0.30  
 PU BAR RESISTIVITY 1.000  
 BAR EXTENSION, ONE SIDE 50.0  
 PU BAR AREA, EXTENSION 0.800  
 CU ENDRING  
 CROSS SECTIONAL AREA 1771.1  
 AVERAGE DIAMETER 377.4

CHRONOUS RPM 1000.0  
 IPHERAL SPEED, M/SEC 31.28  
 E STATOR CURRENT 88.0  
 E TORQUE, NEWTON\*METER 4810.38  
 X AT NO LOAD 0.07826  
 TOR CURRENT DENSITY 3.301  
 FACE LOADING, W/SQ.CM  
 TATOR, BELOW WEDGE  
 DUE TO DC LOSS 0.0595  
 DUE TO TOTAL CU-LOSS 0.0616  
 TATOR, TOWARDS AIR GAP  
 DUE TO CORE LOSS 0.688  
 DUE TO TOTAL CU-LOSS 0.332  
 PERATURE RISE (NOT ALWAYS CALC.)  
 TATOR, RTD 42.4  
 CU, UPPER 43.6  
 CU, LOWER 44.4  
 TEETH 39.6  
 JULING AIR 24.0  
 TORS  
 INPUT FACTOR 0.605  
 CITCH FACTOR 0.756  
 INDING FACTOR 0.922  
 WATER'S COEFFICIENT 1.540  
 J EDDY CURRENT LOSS, MAX. 0.061  
 AVG. 0.007  
 LOS  
 CM STATOR LOADING 403.6  
 J COIL PITCH 0.833  
 TATOR SLOT WIDTH/AIR GAP 8.846  
 TATOR SLOT/TOOTH WIDTH 0.783  
 LBS PER TURN 16.793  
 TATOR SLOTS/POLE 12,000  
 TOTOR SLOTS/POLE 9.667  
 FILL FACTOR  
 INDOM WOUND STATOR WINDING 0,000  
 ENSIONS  
 LENGTH OF STATOR PACKAGE 41.5  
 IT STACK LENGTH 403.6  
 TATOR SLOT PITCH, GAP DIAM. 25.18  
 TOTOR SLOT PITCH, GAP DIAM. 32.36  
 VANCES IN STATOR SLOT  
 THE WIDTH 0.40  
 THE DEPTH 2.16

	MAX. FLUX DENSITIES
SAP	0.833
DR TEETH	1.727
DR YOKE	1.347
R TEETH	2.049
R YOKE	1.652
L, NO LOAD	

CUB.DM MAIN STATOR INSULATION 19.736  
 WEIGHTS  
 CU. STATOR 242.7  
 ROTOR WINDING 166.2  
 STATOR PUNCHINGS  
 TEETH 244.0  
 YOKE 557.2  
 TOTAL 801.2  
 ROTOR PUNCHINGS  
 TEETH 468.5  
 YOKE 170.3  
 TOTAL 638.7  
 PU REACTANCES, RUNNING CONDITIONS  
 XL1 0.09047  
 XL2 0.30282  
 XM 3.18759  
 RESISTANCES, OHM, 20 DEGREES  
 STATOR, PER PHASE 0.221650  
 STATOR, LINE-LINE 0.443300  
 PER UNIT, RUNNING CONDITIONS  
 R1 (INCL. STRAY LOAD LOSS) 0.01689  
 R2 (WITHOUT SKIN EFFECT) 0.00599  
 RM (IN PARALLEL WITH XM) 94.67256  
 MEASURABLE LOSSES  
 WINDAGE AND FRICTION LOSS 3.742  
 CORE LOSS 6.093  
 STATOR I-SQUARED\*R LOSS 7.180  
 ROTOR I-SQUARED\*R LOSS 3.377  
 STRAY LOAD LOSS 3.122  
 NON MEASURABLE LOSS COMPONENTS  
 CORE LOSS  
 TEETH 2.555  
 YOKE 3.538  
 STRAY LOAD LOSS  
 STATOR WINDING EDDY LOSS 0.052  
 OUTSIDE STATOR WINDING 3.070  
 AT RATED LOAD  
 ROTOR SLOT CURRENT 1145.9  
 ROTOR CURRENT DENSITY 2.629  
 VENTILATION, CUB.M/SEC 0.354  
 M/SEC STATOR TEETH, MAX. 18.80  
 AT STALLED CONDITION  
 DEGREES/SECOND, STATOR 29.57  
 ROTOR 142.86

	AMP. TURNS	PU STATOR CURRENT	
	1376.8	0.2520	
	58.9	0.0112	
	20.8	0.0039	
	104.3	0.0198	
	95.3	0.0181	
	1606.1	0.3051	
FU VOLTS, NO LOAD		AMPS	
1.2	0.7081	62.34	
1.1	0.4453	37.21	
1.0	0.3051	26.86	
0.9	0.2437	21.43	
0.8	0.2095	18.44	

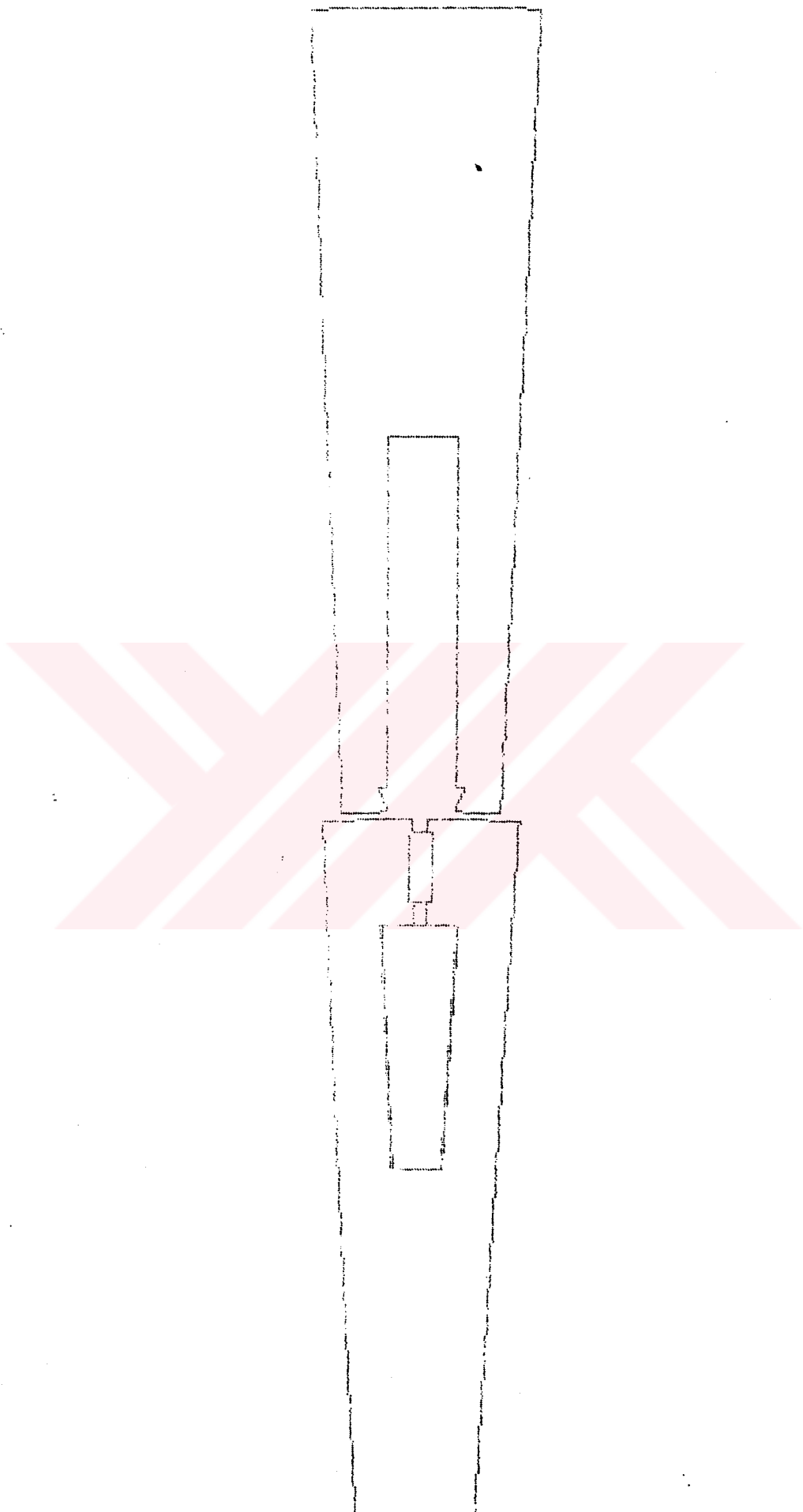
## LOAD POINTS

	125	100	75	50	25
% SLIP	0.933	0.642	0.434	0.274	0.133
PU STATOR CURRENT	1.422	1.082	0.798	0.569	0.389
PU ROTOR CURRENT	1.270	0.947	0.671	0.435	0.214
POWERFACTOR	0.759	0.800	0.803	0.752	0.563
STATOR I-SQUARED*R LOSS	14.520	8.401	4.577	2.328	1.004
ROTOR I-SQUARED*R LOSS	5.896	3.277	1.645	0.690	0.167
STRAY LOAD LOSS	6.314	3.653	1.990	1.012	0.471
% EFFICIENCY	94.150	94.967	95.187	94.454	90.754

## FED-TORQUE CURVE

	100	75	50	25	PULL-UP	PULL-DOWN
% SLIP	1.525	1.624	1.738	1.847	1.525	1.432
PU TORQUE	5.687	5.439	5.060	4.357	5.687	1.819
PU STATOR CURRENT	5.549	5.296	4.910	4.194	5.549	1.647
PU ROTOR CURRENT	0.318	0.339	0.370	0.424	0.318	0.685
POWERFACTOR	6.829	5.987	4.969	3.618	6.829	1.108
FACTOR R2	0.256	0.278	0.314	0.395	0.256	0.964

0	510	4000	50	6	1	3.5	3.5
7	1	.06	870	600	470	9	6
	72	0	0	11.5	11.5	11.5	1
	0	3	0	0	2	1	12
	7.5	1.81	0	3.3	3.3	0	.2
	2	10	2358.489	.008	120	1.3	
	.97	240.4	0	0			
	119.8	2.5	2	0	2.1	180	1
	4	4	117.8	.3	1	50	.8
71.1		377.4					



SCALE 1,000

PROGRAM INDN

## INDUCTION MOTOR ANALYSIS

KW 500.000  
 BASE KVA 610.000  
 VOLTAGE 4000.0  
 FREQUENCY 50.000  
 NUMBER OF POLES 6.0

STATOR PUNCHING MATERIAL 1.0  
 W/KG TEETH, B=1.0 3.500  
 W/KG YOKE, B=1.0 3.500  
 STACKING FACTOR 0.970  
 STRAY LOAD LOSS FACTOR 1.000  
 W&F LOSS FACTOR 0.0600  
 OUTSIDE DIAMETER 870.0  
 INSIDE DIAMETER 600.0  
 STACK LENGTH 470.0  
 NO. OF VENTILATING DUCTS 9.0  
 WIDTH OF VENTILATING DUCT 6.0  
 CROSS SECTION, SPACE BLOCK 18.0  
 NUMBER OF STATOR SLOTS 72.0  
 NO. OF VENTILATING HOLES 0.0  
 HOLE DIAMETER 0.0  
 SLOT WIDTH, MIN. 11.5  
 MAX. 11.5  
 NECK WIDTH (ABOVE WEDGE) 11.5  
 NECK DEPTH 1.0  
 SLOT DEPTH 63.0  
 TAPER DEPTH 0.0  
 WEDGE DEPTH 3.0  
 NON-MAGNETIC  
 RADIUS AT BOTTOM 0.00  
 HORIZONTAL SPACER 2.0

STATOR WINDING CODE 1.0  
 TURNS PER COIL 12.0  
 STRANDS PER TURN 1.0  
 CU-WIDTH 7.60  
 CU-DEPTH 1.81  
 INSULATION ALLOWANCES, TWO SIDES  
 ARMOR TAPE 0.00  
 MAIN INSULATION, COIL END 3.30  
 SLOT 3.30  
 TURN INSULATION 0.00  
 STRAND INSULATION 0.20  
 CONNECTION Y  
 NO. OF PARALLEL CIRCUITS 2.0  
 COIL PITCH 10.0  
 MEAN LENGTH OF TURN 2358.5  
 PU ADDITION, RESISTANCE 0.008  
 REFERENCE STATOR TEMP., DEG. C 120.0  
 AIR GAP 1.30  
 ROTOR PUNCHING MATERIAL 1.0  
 STACKING FACTOR 0.970  
 BORE DIAMETER 362.6  
 NO. OF VENTILATING HOLES 0.0  
 HOLE DIAMETER 0.0  
 NUMBER OF ROTOR SLOTS 58.0  
 SLOT DEPTH 58.70  
 NECK WIDTH 2.50  
 NECK DEPTH 2.00  
 TAPER DEPTH 0.00  
 MAX. NECK FLUX DENSITY AT START 2.100  
 REFERENCE ROTOR TEMP., DEG. C 180.0  
 ROTOR WINDING CODE 3.0  
 ASSEMBLED DOUBLE CAGE  
 RECTANGULAR TOP BAR  
 $W_1 = \text{SLOT WIDTH, TOP} 4.00$

$W_2 = \text{SLOT WIDTH, LEAKAGE} 2.00$   
 $W_3 = \text{SLOT WIDTH, CENTER} 12.80$   
 $W_4 = \text{SLOT WIDTH, BOTTOM} 3.30$   
 $D_2 = \text{SLOT DEPTH, TOP} 11.7$   
 $D_3 = \text{SLOT DEPTH, LEAKAGE} 4.0$   
 $D_4 = \text{BAR DEPTH, TOP} 11.7$   
 $D_5 = \text{BAR DEPTH, BOTTOM} 41.0$   
 CLEARANCE, TWO SIDES, TOP 0.30  
 BOTTOM 0.30  
 PU BAR RESISTIVITY, TOP 1.000  
 BOTTOM 1.000  
 BAR EXTENSION, ONE SIDE, TOP 50.0  
 BOTTOM 50.0  
 CU ENDRING, TOP  
 CROSS SECTIONAL AREA 192.5  
 AVERAGE DIAMETER 570.7  
 CU ENDRING, BOTTOM  
 CROSS SECTIONAL AREA 1588.6  
 AVERAGE DIAMETER 488.6

SYNCHRONOUS RPM 1000.0  
 PERIPHERAL SPEED, M/SEC 31.28  
 BASE STATOR CURRENT 88.0  
 BASE TORQUE, NEWTON\*METER 4810.38  
 FLUX AT NO LOAD 0.07826  
 STATOR CURRENT DENSITY 3.301  
 SURFACE LOADING, W/SQ.CM  
     STATOR, BELOW WEDGE  
         DUE TO DC LOSS 0.0595  
         DUE TO TOTAL CU-LOSS 0.0616  
     STATOR, TOWARDS AIR GAP  
         DUE TO CORE LOSS 0.688  
         DUE TO TOTAL CU-LOSS 0.332  
 TEMPERATURE RISE (NOT ALWAYS CALC.)  
     STATOR, RTD 42.6  
         CU, UPPER 43.8  
         CU, LOWER 44.5      --  
         TEETH 39.7  
 COOLING AIR 24.0  
 FACTORS  
     OUTPUT FACTOR 3.605  
     PITCH FACTOR 0.966  
     WINDING FACTOR 0.922  
     CARTER'S COEFFICIENT 1.540  
     PU EDDY CURRENT LOSS, MAX. 0.061  
         AVG. 0.007  
 RATIOS  
     A/DM STATOR LOADING 403.6  
     PU COIL PITCH 0.833  
     STATOR SLOT WIDTH/AIR GAP 8.846  
     STATOR SLOT/TOOTH WIDTH 0.783  
     VOLTS PER TURN 16.793  
     STATOR SLOTS/POLE 12.000  
     ROTOR SLOTS/POLE 9.667  
 CU-FILL FACTOR  
     RANDOM WOUND STATOR WINDING 0.000  
 DIMENSIONS  
     LENGTH OF STATOR PACKAGE .41.6  
     NET STACK LENGTH 403.5  
     STATOR SLOT PITCH, GAP DIAM. 26.18  
     ROTOR SLOT PITCH, GAP DIAM. 32.36  
 CLEARANCES IN STATOR SLOT  
     IN THE WIDTH 0.40  
     IN THE DEPTH 2.16  
  
 CUB.DM MAIN STATOR INSULATION 19.737  
 WEIGHTS  
     CU, STATOR 242.7  
     ROTOR WINDING 186.2  
 STATOR PUNCHINGS  
     TEETH 244.0  
     YOKES 557.2  
     TOTAL 801.2  
 ROTOR PUNCHINGS  
     TEETH 217.3  
     YOKES 239.8  
     TOTAL 457.2  
 PU REACTANCES, RUNNING CONDITIONS  
     XL1 0.08625  
     XL2 0.17649  
     XM 2.45403  
 RESISTANCES, OHM, 20 DEGREES  
     STATOR, PER PHASE 0.221651  
     STATOR, LINE-LINE 0.443302  
 PER UNIT, RUNNING CONDITIONS  
     R1 (INCL. STRAY LOAD LOSS) 0.01689  
     R2 (WITHOUT SKIN EFFECT) 0.00594  
     RM (IN PARALLEL WITH XM) 93.43890  
 MEASURABLE LOSSES  
     WINDAGE AND FRICTION LOSS 3.742  
     CORE LOSS 6.093  
     STATOR I-SQUARED\*R LOSS 7.180  
     ROTOR I-SQUARED\*R LOSS 2.904  
     STRAY LOAD LOSS 3.122  
 NON MEASURABLE LOSS COMPONENTS  
     CORE LOSS  
         TEETH 2.555  
         YOKES 3.538  
     STRAY LOAD LOSS  
         STATOR WINDING EDDY LOSS 0.052  
         OUTSIDE STATOR WINDING 3.070  
 AT RATED LOAD  
     ROTOR SLOT CURRENT 1083.2  
     ROTOR CURRENT DENSITY 2.337  
 VENTILATION, CUB.M/SEC 0.840  
     M/SEC STATOR TEETH, MAX. 18.50  
 AT STALLED CONDITION  
     DEGREES/SECOND, STATOR 29.52  
     ROTOR 203.37

	MAX. FLUX DENSITIES	AMP.TURNS	PU STATOR CURRENT
AIR GAP	0.833	1326.6	0.2520
STATOR TEETH	1.729	58.9	0.0112
STATOR YOKE	1.347	20.8	0.0037
ROTOR TEETH	1.787	531.8	0.1010
ROTOR YOKE	1.652	134.3	0.0255
TOTAL, NO LOAD		2072.5	0.3937
PU VOLTS, NO LOAD			AMPS
		1.2	1.5637
		1.3	0.6140
		1.0	0.3937
		0.9	0.2770
		0.8	0.2143
			18.87

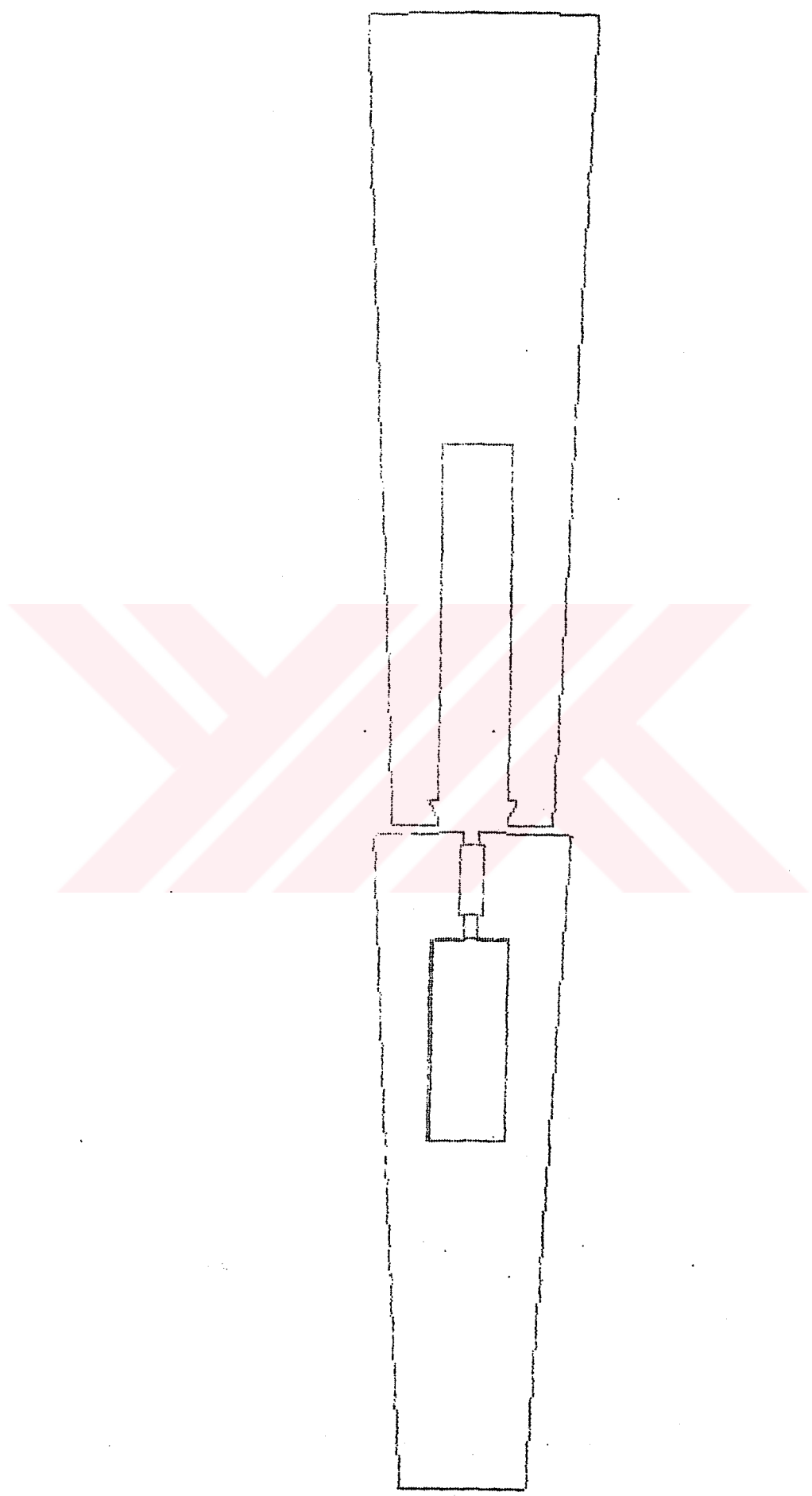
## ODD POINTS

	125	100	75	50	25
% LOAD					
% SLIP	0.757	0.576	0.416	0.270	0.133
PU STATOR CURRENT	1.292	1.039	0.812	0.613	0.459
PU ROTOR CURRENT	1.147	0.895	0.659	0.434	0.215
POWERFACTOR	0.829	0.822	0.789	0.700	0.479
STATOR I-SQUARED*R LOSS	11.983	7.757	4.732	2.696	1.514
ROTOR I-SQUARED*R LOSS	4.768	2.904	1.573	0.681	0.167
STRAY LOAD LOSS	5.210	3.373	2.056	1.172	0.658
% EFFICIENCY	94.913	95.226	95.147	94.246	90.261

## PEED-TORQUE CURVE

	100	75	50	25	PULL-UP	PULL-OUT
% SLIP						
PU TORQUE	2.434	2.407	2.225	1.770	1.520	2.070
PU STATOR CURRENT	5.683	5.280	4.772	4.188	3.833	2.705
PU ROTOR CURRENT	5.516	5.103	4.578	3.964	3.591	2.508
POWERFACTOR	0.430	0.466	0.466	0.421	0.394	0.480
FACTOR R2	11.118	9.640	7.379	3.915	1.638	1.035
FACTOR XLR2	0.404	0.464	0.569	0.763	0.910	0.979

00	610	4000	50	4	1	3.5	3.5
77	1	.06	870	600	470	9	6
3	72	0	0	11.5	11.5	11.5	1
3	0	3	0	0	2	1	12
	7.4	1.81	0	5.3	5.3	0	.2
	2	10	2358.5	.008	120	1.3	
	.97	362.6	0	0			
3	56.7	2.5	2	0	2.1	180	3
	4	2	12.8	8.3	11.7	4	11.7
1	.3	.3	1	1	50	50	
32.5	570.7	1588.6	488.6				



SCALE 1.000

500.000  
 SE KVA 610.000  
 LTAGE 4000.0  
 FREQUENCY 50.000  
 NUMBER OF POLES 6.0  
 ARMOR PUNCHING MATERIAL 1.0  
 N/KG TEETH, B=1.0 3.500  
 N/KG YOKE, B=1.0 3.500  
 STACKING FACTOR 0.970  
 RAY LOAD LOSS FACTOR 1.000  
 F LOSS FACTOR 0.0600  
 TSIDE DIAMETER 870.0  
 SIDE DIAMETER 600.0  
 ACK LENGTH 470.0  
 NO. OF VENTILATING DUCTS 9.0  
 DTH OF VENTILATING DUCT 6.0  
 OBS SECTION, SPACE BLOCK 18.0  
 NUMBER OF STATOR SLOTS 72.0  
 NO. OF VENTILATING HOLES 0.0  
 LE DIAMETER 0.0  
 DT WIDTH, MIN. 11.5  
 MAX. 11.5  
 CK WIDTH (ABOVE WEDGE) 11.5  
 CK DEPTH 1.0  
 DT DEPTH 63.0  
 PER DEPTH 0.0  
 OGE DEPTH 3.0  
 NON-MAGNETIC  
 DIUS AT BOTTOM 0.00  
 RIZONTAL SPACER 2.0

STATOR WINDING CODE 1.0  
 TURNS PER COIL 12.0  
 STRANDS PER TURN 1.0  
 CU-WIDTH 7.60  
 CU-DEPTH 1.81  
 INSULATION ALLOWANCES, TWO SIDES  
 ARMOR TAPE 0.00  
 MAIN INSULATION, COIL END 3.30  
 SLOT 3.30  
 TURN INSULATION 0.00  
 STRAND INSULATION 0.20  
 CONNECTION Y  
 NO. OF PARALLEL CIRCUITS 2.0  
 COIL PITCH 19.0  
 MEAN LENGTH OF TURN 2358.5  
 PU ADDITION, RESISTANCE 0.008  
 REFERENCE STATOR TEMP., DEG. C 120.0  
 AIR GAP 1.30  
 ROTOR PUNCHING MATERIAL 1.0  
 STACKING FACTOR 0.970  
 BORE DIAMETER 377.0  
 NO. OF VENTILATING HOLES 0.0  
 HOLE DIAMETER 0.0  
 NUMBER OF ROTOR SLOTS 58.0  
 SLOT DEPTH 51.50  
 NECK WIDTH 2.50  
 NECK DEPTH 2.00  
 TAPER DEPTH 0.00  
 MAX. NECK FLUX DENSITY AT START 2.100  
 REFERENCE ROTOR TEMP., DEG. C 180.0  
 ROTOR WINDING CODE 3.0  
 ASSEMBLED DOUBLE CAGE  
 RECTANGULAR TOP BAR  
 W1 = SLOT WIDTH, TOP 4.00  
 W2 = SLOT WIDTH, LEAKAGE 2.00  
 W3 = SLOT WIDTH, CENTER 12.80  
 W4 = SLOT WIDTH, BOTTOM 12.80  
 D2 = SLOT DEPTH, TOP 11.7  
 D3 = SLOT DEPTH, LEAKAGE 4.0  
 D4 = BAR DEPTH, TOP 11.7  
 D5 = BAR DEPTH, BOTTOM 33.8  
 CLEARANCE, TWO SIDES, TOP 0.30  
 BOTTOM 0.30  
 PU BAR RESISTIVITY, TOP 1.000  
 BOTTOM 1.000  
 BAR EXTENSION, ONE SIDE, TOP 50.0  
 BOTTOM 50.0  
 CU ENDRING, TOP  
 CROSS SECTIONAL AREA 182.5  
 AVERAGE DIAMETER 574.2  
 CU ENDRING, BOTTOM  
 CROSS SECTIONAL AREA 1588.6  
 AVERAGE DIAMETER 506.6

ICHRONOUS RPM 1000.0  
 IPHERAL SPEED, M/SEC 31.28  
 NF STATOR CURRENT 88.0

CUB.DM MAIN STATOR INSULATION 19.736  
 WEIGHTS  
 OIL STATOR 242.7

VCHRONOUS RPM 1000.0  
 RIPHERAL SPEED, M/SEC 31.28  
 BE STATOR CURRENT 88.0  
 BE TORQUE, NEWTON\*METER 4810.38  
 JX AT NO LOAD 0.07826  
 STATOR CURRENT DENSITY 3.301  
 RFACE LOADING, W/SQ.CM  
 STATOR, BELOW WEDGE  
     DUE TO DC LOSS 0.0595  
     DUE TO TOTAL CU-LOSS 0.0616  
 STATOR, TOWARDS AIR GAP  
     DUE TO CORE LOSS 0.688  
     DUE TO TOTAL CU-LOSS 0.332  
 TEMPERATURE RISE (NOT ALWAYS CALC.)  
 STATOR, RTD 42.6  
     CU, UPPER 43.8  
     CU, LOWER 44.5  
     TEETH 39.7  
 COOLING AIR 24.0  
 CTORS  
 OUTPUT FACTOR 3.605  
 PITCH FACTOR 0.966  
 WINDING FACTOR 0.922  
 CARTER'S COEFFICIENT 1.540  
 PU EDDY CURRENT LOSS, MAX. 0.061  
                           AVG. 0.007  
 TIOS  
 A/CM STATOR LOADING 403.6  
 PU COIL PITCH 0.833  
 STATOR SLOT WIDTH/AIR GAP 8.846  
 STATOR SLOT/TOOTH WIDTH 0.783  
 VOLTS PER TURN 16.793  
 STATOR SLOTS/POLE 12.000  
 ROTOR SLOTS/POLE 9.667  
 -FILL FACTOR  
 RANDOM WOUND STATOR WINDING 0.000  
 MENSIONS  
 LENGTH OF STATOR PACKAGE 41.6  
 NET STACK LENGTH 403.6  
 STATOR SLOT PITCH, GAP DIAM. 26.18  
 ROTOR SLOT PITCH, GAP DIAM. 32.36  
 CLEARANCES IN STATOR SLOT  
 IN THE WIDTH 0.40  
 IN THE DEPTH 2.16

	MAX. FLUX DENSITIES	AMP.TURNS	PU STATOR CURRENT
R GAP	0.833	1326.8	0.2520
ATOR FEETH	1.729	58.9	0.0112
ATOR YOKE	1.347	20.8	0.0039
TOR TEETH	2.254	1165.0	0.2213
TOR YOKE	1.652	138.8	0.0264
TAL, NO LOAD		2710.3	0.5148

CUB.DM MAIN STATOR INSULATION 19.736  
 WEIGHTS  
     CU, STATOR 242.7  
     ROTOR WINDING 188.6  
 STATOR PUNCHINGS  
     TEETH 244.0  
     YOKE 557.2  
     TOTAL 801.2  
 ROTOR PUNCHINGS  
     TEETH 183.3  
     YOKE 248.0  
     TOTAL 431.3  
 PU REACTANCES, RUNNING CONDITIONS  
     XL1 0.08284  
     XL2 0.16769  
     XM 1.85969  
 RESISTANCES, OHM, 20 DEGREES  
     STATOR, PER PHASE 0.221650  
     STATOR, LINE-LINE 0.443300  
 PER UNIT, RUNNING CONDITIONS  
     R1 (INCL. STRAY LOAD LOSS) 0.01687  
     R2 (WITHOUT SKIN EFFECT) 0.00595  
     RM (IN PARALLEL WITH XM) 91.76535  
 MEASURABLE LOSSES  
     WINDAGE AND FRICTION LOSS 3.742  
     CORE LOSS 6.093  
     STATOR I-SQUARED\*R LOSS 7.180  
     ROTOR I-SQUARED\*R LOSS 2.951  
     STRAY LOAD LOSS 3.122  
 NON MEASURABLE LOSS COMPONENTS  
     CORE LOSS  
         TEETH 2.555  
         YOKE 3.538  
     STRAY LOAD LOSS  
         STATOR WINDING EDDY LOSS 0.052  
         OUTSIDE STATOR WINDING 3.070  
 AT RATED LOAD  
     ROTOR SLOT CURRENT 1090.6  
     ROTOR CURRENT DENSITY 2.341  
 VENTILATION, CUB.M/SEC 0.842  
     M/SEC STATOR TEETH, MAX. 18.54  
 AT STALLED CONDITION  
     DEGREES/SECOND, STATOR 32.38  
                           ROTOR 218.36

PU VOLTS, NO LOAD	AMPS	
1.2	3.3819	297.76
1.1	1.6576	145.94
1.0	0.5148	45.33
0.9	0.3305	29.10
0.8	0.2366	20.83

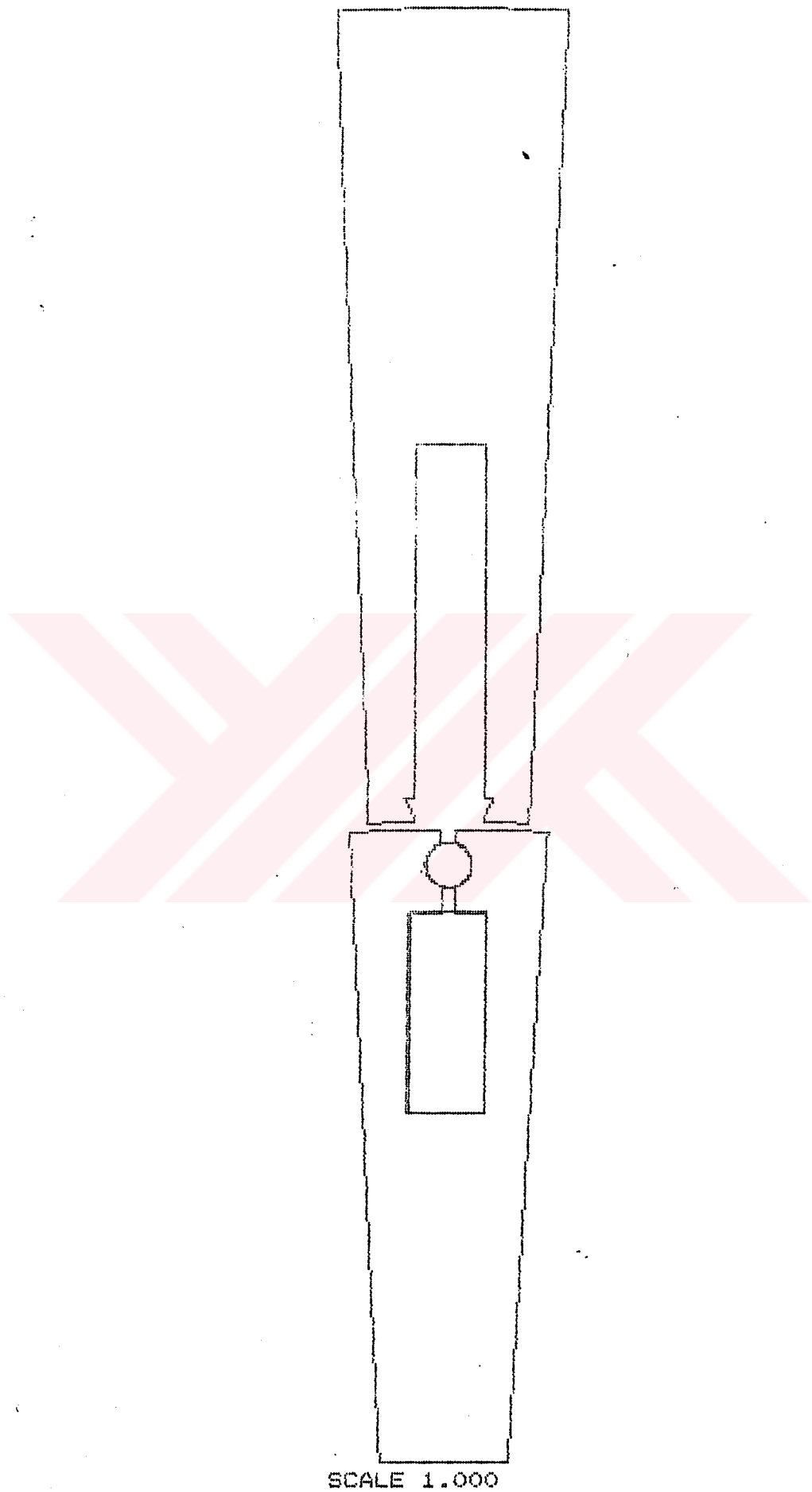
## IAD POINTS

	125	100	75	50	25
% LOAD	0.766	0.585	0.424	0.276	0.136
% SLIP	1.354	1.108	0.889	0.703	0.568
PU STATOR CURRENT	1.153	0.901	0.664	0.437	0.217
PU ROTOR CURRENT	0.792	0.773	0.723	0.613	0.390
POWERFACTOR	13.171	8.809	5.668	3.548	2.317
STATOR I-SQUARED*R LOSS	4.828	2.951	1.603	0.695	0.171
ROTOR I-SQUARED*R LOSS	5.727	3.830	2.465	1.543	1.007
GTRAY LOAD LOSS	94.630	94.915	94.781	93.752	89.337
% EFFICIENCY					

## IEOD-TORQUE CURVE

	100	75	50	25	PULL-UP	PULL-OUT
% SLIP	2.645	2.593	2.361	1.831	1.587	2.140
PU TORQUE	5.952	5.507	4.955	4.369	4.040	2.870
PU RUTUR CURRENT	5.741	5.281	4.704	4.076	3.726	2.611
POWERFACTOR	0.468	0.483	0.478	0.421	0.394	0.667
FACTOR R2	11.131	9.672	7.400	3.820	1.585	1.035
FACTOR XL2	0.393	0.457	0.571	0.774	0.911	0.974

0	610	4000	50	6	1	3.5	3.5
.7	1	.06	870	600	470	9	6
	72	0	0	11.5	11.5	11.5	1
	0	3	0	0	2	1	12
	7.6	1.81	0	3.3	3.3	0	.2
	2	10	2358.489	1008	120	1.3	
	.97	377	0	0			
	51.5	2.5	2	0	2.1	180	3
	4	2	12.8	12.9	11.7	4	11.7
.8	.3	.3	1	1	50	50	
2.5	574.25	1588.56	506.65				



SCALE 1.000

500.000  
 KVA 610.000  
 AGE 4000.0  
 JENCY 50.000  
 ER OF POLES 6.0  
 DR PUNCHING MATERIAL 1.0  
 KG TEETH, B=1.0 3.500  
 KG YOLKE, B=1.0 3.500  
 STACKING FACTOR 0.970  
 $\gamma$  LOAD LOSS FACTOR 1.000  
 LOSS FACTOR 0.0600  
 IDE DIAMETER 870.0  
 DE DIAMETER 600.0  
 K LENGTH 470.0  
 DF VENTILATING DUCTS 9.0  
 1 OF VENTILATING DUCT 6.0  
 3 SECTION, SPACE BLOCK 18.0  
 ER OF STATOR SLOTS 72.0  
 DF VENTILATING HOLES 0.0  
 DIAMETER 0.0  
 WIDTH, MIN. 11.5  
 MAX. 11.5  
 WIDTH (ABOVE WEDGE) 11.5  
 DEPTH 1.0  
 DEPTH 63.0  
 R DEPTH 0.0  
 E DEPTH 3.0  
 N-MAGNETIC  
 US AT BOTTOM 0.00  
 ZONTAL SPACER 2.0

STATOR WINDING CODE 1.0  
 TURNS PER COIL 12.0  
 STRANDS PER TURN 1.0  
 CU-WIDTH 7.60  
 CU-DEPTH 1.81  
 INSULATION ALLOWANCES, TWO SIDES  
 ARMOR TAPE 0.00  
 MAIN INSULATION, COIL END 3.30  
 SLOT 3.30  
 TURN INSULATION 0.00  
 STRAND INSULATION 0.20  
 CONNECTION Y  
 NO. OF PARALLEL CIRCUITS 2.0  
 COIL PITCH 10.0  
 MEAN LENGTH OF TURN 2358.5  
 PU ADDITION, RESISTANCE 0.008  
 REFERENCE STATOR TEMP., DEG. C 120.0  
 AIR GAP 1.30  
 ROTOR PUNCHING MATERIAL 1.0  
 STACKING FACTOR 0.970  
 BORE DIAMETER 385.0  
 NO. OF VENTILATING HOLES 0.0  
 HOLE DIAMETER 0.0  
 NUMBER OF ROTOR SLOTS 58.0  
 SLOT DEPTH 47.52  
 NECK WIDTH 2.50  
 NECK DEPTH 2.00  
 TAPER DEPTH 0.00  
 MAX. NECK FLUX DENSITY AT START 2.100  
 REFERENCE ROTOR TEMP., DEG. C 180.0

ROTOR WINDING CODE 4.0  
 ASSEMBLED DOUBLE CAGE  
 ROUND TOP BAR  
 W1 = SLOT WIDTH, TOP 7.72  
 W2 = SLOT WIDTH, LEAKAGE 2.00  
 W3 = SLOT WIDTH, CENTER 12.80  
 W4 = SLOT WIDTH, BOTTOM 12.80  
 D2 = SLOT DEPTH, TOP 7.7  
 D3 = SLOT DEPTH, LEAKAGE 4.0  
 D4 = BAR DEPTH, TOP 7.7  
 D5 = BAR DEPTH, BOTTOM 33.8  
 CLEARANCE, TWO SIDES, TOP 0.30  
 BOTTOM 0.30  
 PU BAR RESISTIVITY, TOP 1.000  
 BOTTOM 1.000  
 BAR EXTENSION, ONE SIDE, TOP 50.0  
 BOTTOM 50.0

CU ENDING, TOP  
 CROSS SECTIONAL AREA 132.5  
 AVERAGE DIAMETER 528.0  
 CU ENDING, BOTTOM  
 CROSS SECTIONAL AREA 1598.6  
 AVERAGE DIAMETER 504.0

IRONOUS RPM 1000.0  
 HERAL SPEED, M/SEC 31.28  
 STATOR CURRENT 88.0  
 TORQUE, NEWTON\*METER 4810.38  
 AT NO LOAD 0.07826  
 IR CURRENT DENSITY 3.301  
 ACE LOADING, W/SQ.CM  
 RATOR, BELOW WEDGE  
 DUE TO DC LOSS 0.0595  
 DUE TO TOTAL CU-LOSS 0.0616  
 RATOR, TOWARDS AIR GAP  
 DUE TO CORE LOSS 0.688  
 DUE TO TOTAL CU-LOSS 0.332  
 ERATURE RISE (NOT ALWAYS CALC.)  
 RATOR, RTD 42.6,  
     CU, UPPER 43.8  
     CU, LOWER 44.5  
     TEETH 39.7  
 OLING AIR 24.0  
 ORS  
 TPUT FACTOR 3.605  
 FCH FACTOR 0.966  
 NDING FACTOR 0.922  
 RIER'S COEFFICIENT 1.540  
     EDDY CURRENT LOSS, MAX. 0.061  
                         AVG. 0.007  
 IS  
 CM STATOR LOADING 403.6  
     COIL PITCH 0.833  
 RATOR SLOT WIDTH/AIR GAP 8.846  
 RATOR SLOT/TOOTH WIDTH 0.783  
     LTS PER TURN 16.793  
 RATOR SLOTS/POLE 12.000  
 RATOR SLOTS/POLE 9.567  
 ILL FACTOR  
 NDOM WOUND STATOR WINDING 0.000  
 VISIONS  
 NGTH OF STATOR PACKAGE 41.6  
 F STACK LENGTH 403.6  
 RATOR SLOT PITCH, GAP DIAM. 26.18  
 RATOR SLOT PITCH, GAP DIAM. 32.36  
 XANCES IN STATOR SLOT  
     THE WIDTH 0.40  
     THE DEPTH 2.16

	MAX. FLUX DENSITIES
SAP	0.833
IR TEETH	1.729
IR YOKE	1.347
R TEETH	2.187
R YOKE	1.552
.. NO LOAD	

CUB.DM MAIN STATOR INSULATION 19.736  
 WEIGTS  
     CU, STATOR 242.7  
     ROTOR WINDING 188.9  
     STATOR PUNCHINGS  
         TEETH 244.0  
         YOKE 557.2  
         TOTAL 801.2  
     ROTOR PUNCHINGS  
         TEETH 161.1  
         YOKE 252.6  
         TOTAL 413.7  
 PU REACTANCES, RUNNING CONDITIONS  
     XL1 0.08440  
     XL2 0.14040  
     XM 2.13099  
 RESISTANCES, OHM, 20 DEGREES  
     STATOR, PER PHASE 0.221650  
     STATOR, LINE-LINE 0.443300  
 PER UNIT, RUNNING CONDITIONS  
     R1 (INCL. STRAY LOAD LOSS) 0.01687  
     R2 (WITHOUT SKIN EFFECT) 0.00590  
     RM (IN PARALLEL WITH XM) 92.63944  
 MEASURABLE LOSSES  
     WINDAGE AND FRICTION LOSS 3.742  
     CORE LOSS 6.093  
     STATOR I-SQUARED\*R LOSS 7.180  
     ROTOR I-SQUARED\*R LOSS 2.856  
     STRAY LOAD LOSS 3.122  
 NON MEASURABLE LOSS COMPONENTS  
     CORE LOSS  
         TEETH 2.555  
         YOKE 3.538  
     STRAY LOAD LOSS  
         STATOR WINDING EDDY LOSS 0.052  
         OUTSIDE STATOR WINDING 3.070  
 AT RATED LOAD  
     ROTOR SLOT CURRENT 1078.0  
     ROTOR CURRENT DENSITY 2.297  
 VENTILATION, CUB.M/SEC 0.838  
     M/SEC STATOR TEETH, MAX. 18.46  
 AT STALLED CONDITION  
     DEGREES/SECOND, STATOR 38.59  
     ROTOR 178.04

	AMF. TURNS	PU STATOR CURRENT
	1326.8	0.2520
	58.9	0.0112
	20.8	0.0039
	828.7	0.1574
	141.3	0.0268
	2376.5	0.4514
PU VOLTS, NO LOAD		AMPS
1.2	2.7001	237.73
1.1	1.1412	100.48
1.0	0.4514	39.74
0.9	0.3070	27.03
0.8	0.2256	19.88

POINTS

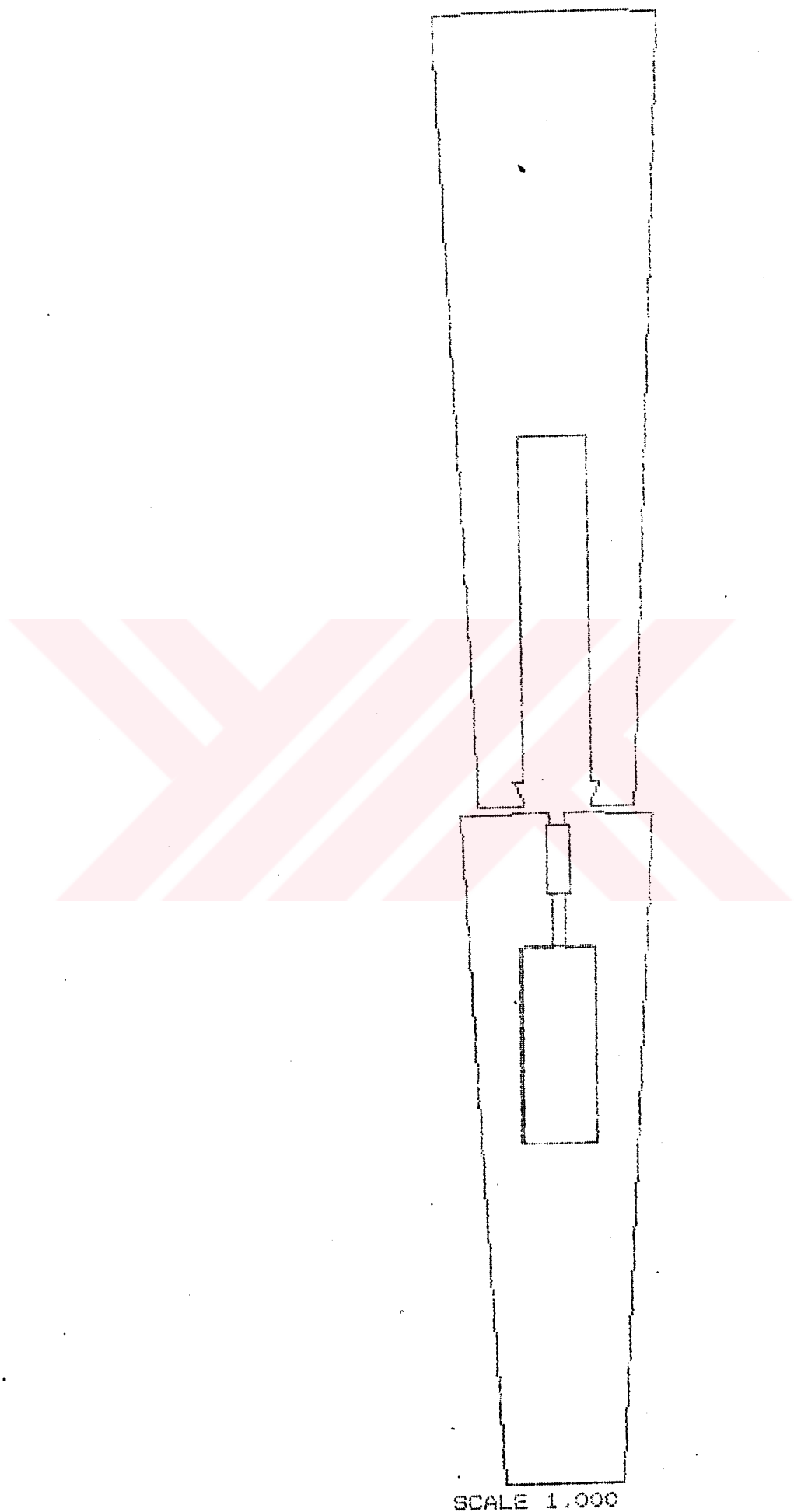
## POINTS

JAD	125	100	75	50	25
LIP	0.735	0.567	0.413	0.270	0.133
STATOR CURRENT	1.291	1.053	0.837	0.650	0.509
ROTOR CURRENT	1.134	0.891	0.659	0.435	0.216
ERFACTOR	0.829	0.611	0.765	0.661	0.434
TOR I-SQUARED*R LOSS	11.964	7.964	5.035	3.033	1.861
DR I-SQUARED*R LOSS	4.630	2.858	1.562	0.680	0.167
RY LOAD LOSS	5.202	3.463	2.189	1.319	0.809
EFFICIENCY	94.939	95.176	95.034	94.054	89.863

## -TORQUE CURVE:

					PULL-UP	PULL-DOWN
LIP	100	75	50	25	15	2.625
TORQUE	2.160	2.208	2.114	1.764	1.650	2.412
STATOR CURRENT	5.497	6.103	5.564	4.905	4.639	3.144
ROTOR CURRENT	6.319	5.913	5.354	4.664	4.386	2.936
ERFACTOR	0.385	0.402	0.408	0.381	0.373	0.689
TOR R2	7.571	6.628	5.160	2.836	1.800	1.028
TOR XL2	0.416	0.474	0.578	0.767	0.856	0.956

610	4000	50	5	1	3.5	3.5
1	.06	870	600	470	9	5
72	0	0	11.5	11.5	11.5	1
0	3	0	0	2	1	12
7.6	1.81	0	3.3	3.3	0	.2
2	10	2358.489	1008	120	1.3	
.97	384.96	0	0			
47.518	2.5	2	0	2.1	180	4
7.718	2	12.5	12.8	7.718	4	7.718
.3	.3	1	1	50	50	
528		1588.56	504			



SCALE 1:1000

IAN

INDUCTION MOTOR ANALYSIS

OO  
610.000  
000.0  
50.000  
POLES 6.0  
  
CHING MATERIAL 1.0  
TH, B=1.0 : 3.500  
E, B=1.0 3.500  
FACTOR 0.970  
LOSS FACTOR 1.000  
ACTOR 0.0600  
AMETER 870.0  
METER 600.0  
PH 470.0  
TILATING DUCTS 9.0  
ENTILATING DUCT 6.0  
ION, SPACE BLOCK 16.0  
STATOR SLOTS 72.0  
TILATING HOLES 0.0  
TER 0.0  
. MIN. 11.5  
MAX. 11.5  
(ABOVE WEDGE) 11.5  
1.0  
63.0  
H 0.0  
H 3.0  
ETIC  
BOTTOM 0.00  
SPACER 2.0  
  
STATOR WINDING CODE 1.0  
TURNS PER COIL 12.0  
STRANDS PER TURN 1.0  
CU-WIDTH 7.60  
CU-DEPTH 1.81  
INSULATION ALLOWANCES, TWO SIDES  
ARMOR TAPE 0.00  
MAIN INSULATION, COIL END 3.30  
SLOT 3.30  
TURN INSULATION 0.00  
STRAND INSULATION 0.20  
CONNECTION Y  
NO. OF PARALLEL CIRCUITS 2.0  
COIL PITCH 10.0  
MEAN LENGTH OF TURN 2356.5  
PU ADDITION, RESISTANCE 0.008  
REFERENCE STATOR TEMP., DEG. C 120.0  
AIR GAP 1.30  
ROTOR PUNCHING MATERIAL 1.0  
STACKING FACTOR 0.970  
BORE DIAMETER 367.0  
NO. OF VENTILATING HOLES 0.0  
HOLE DIAMETER 0.0  
NUMBER OF ROTOR SLOTS 32.0  
SLOT DEPTH 56.50  
NECK WIDTH 2.50  
NECK DEPTH 2.00  
TAPER DEPTH 0.00  
MAX. NECK FLUX DENSITY AT START 2.100  
REFERENCE ROTOR TEMP., DEG. C 180.0  
  
ROTOR WINDING CODE 3.0  
ASSEMBLED DOUBLE CAGE  
RECTANGULAR TOP BAR  
W1 = SLOT WIDTH, TOP 4.00  
W2 = SLOT WIDTH, LEAKAGE 2.00  
W3 = SLOT WIDTH, CENTER 12.80  
W4 = SLOT WIDTH, BOTTOM 12.80  
D2 = SLOT DEPTH, TOP 11.7  
D3 = SLOT DEPTH, LEAKAGE 9.0  
D4 = BAR DEPTH, TOP 11.7  
D5 = BAR DEPTH, BOTTOM 33.8  
CLEARANCE, TWO SIDES, TOP 0.30  
BOTTON 0.30  
PU BAR RESISTIVITY, TOP 1.000  
BOTTON 1.000  
BAR EXTENSION, ONE SIDE, TOP 50.0  
BOTTON 50.0  
CU ENDRING, TOP  
CROSS SECTIONAL AREA 182.5  
AVERAGE DIAMETER 588.2  
CU ENDRING, BOTTOM  
CROSS SECTIONAL AREA 1588.6  
AVERAGE DIAMETER 554.2

IS RPM 1000.0  
SPEED, M/SEC 31.28

CUB.DM MAIN STATOR INSULATION 17.736  
WEIGHTS

NOUS RPM 1000.0  
 RAL SPEED, M/SEC 31.28  
 ATOR CURRENT 88.0  
 ROUE, NEWTON\*METER 4810.38  
 NO LOAD 0.07826  
 CURRENT DENSITY 3.301  
 LOADING, W/SQ.CM  
 R, BELOW WEDGE  
 TO DC LOSS 0.0595  
 TO TOTAL CU-LOSS 0.0616  
 R, TOWARDS AIR GAP  
 TO CORE LOSS 0.688  
 TO TOTAL CU-LOSS 0.332  
 TURE RISE (NOT ALWAYS CALC.)  
 R, RTD 42.5  
 CU, UPPER : 43.7  
 CU, LOWER : 44.4  
 TEETH 39.6  
 NG AIR 24.0  
 IT FACTOR 3.605  
 FACTOR 0.966  
 NG FACTOR 0.922  
 R'S COEFFICIENT 1.540  
 EDY CURRENT LOSS, MAX. 0.061  
 AVG. 0.007

STATOR LOADING 403.6  
 IIL PITCH 0.833  
 IR SLOT WIDTH/AIR GAP 8.846  
 IR SLOT/TOOTH WIDTH 0.783  
 I PER TURN 16.793  
 IR SLOTS/POLE 12.000  
 I SLOTS/POLE 9.667  
 . FACTOR  
 IM WOUND STATOR WINDING 0.000  
 ONS  
 TH OF STATOR PACKAGE 41.6  
 STACK LENGTH 403.5  
 IR SLOT PITCH, GAP DIAM. 26.18  
 I SLOT PITCH, GAP DIAM. 32.36  
 ICES IN STATOR SLOT  
 HE WIDTH 0.40  
 HE DEPTH 2.16

	MAX. FLUX DENSITIES
TEETH	0.833
YODE	1.729
TEETH	1.347
YODE	2.345
NO LOAD	1.652

CUB.DM MAIN STATOR INSULATION 19.736  
 WEIGHTS  
 CU, STATOR 242.7  
 ROTOR WINDING 192.9  
 STATOR PUNCHINGS  
 TEETH 244.0  
 YOKE 557.2  
 TOTAL 901.2  
 ROTOR PUNCHINGS  
 TEETH 205.3  
 YOKE 242.3  
 TOTAL 447.6  
 PU REACTANCES, RUNNING CONDITIONS  
 XL1 0.07997  
 XL2 0.21639  
 XM 1.36122  
 RESISTANCES, OHM, 20 DEGREES  
 STATOR, PER PHASE 0.221650  
 STATOR, LINE-LINE 0.443300  
 PER UNIT, RUNNING CONDITIONS  
 R1 (INCL. STRAY LOAD LOSS) 0.01689  
 R2 (WITHOUT SKIN EFFECT) 0.00606  
 RM (IN PARALLEL WITH XM) 89.31894  
 MEASURABLE LOSSES  
 WINDAGE AND FRICTION LOSS 3.742  
 CORE LOSS 6.093  
 STATOR I-SQUARED\*R LOSS 7.180  
 ROTOR I-SQUARED\*R LOSS 3.195  
 STRAY LOAD LOSS 3.122  
 NON MEASURABLE LOSS COMPONENTS  
 CORE LOSS  
 TEETH 2.555  
 YOKE 3.538  
 STRAY LOAD LOSS  
 STATOR WINDING EDDY LOSS 0.052  
 OUTSIDE STATOR WINDING 3.070  
 AT RATED LOAD  
 ROTOR SLOT CURRENT 1125.0  
 ROTOR CURRENT DENSITY 2.415  
 VENTILATION, CUB.M/SEC 0.351  
 M/SEC STATOR TEETH, MAX. 18.73  
 AT STALLED CONDITION  
 DEGREES/SECOND, STATOR 36.28  
 ROTOR 252.00

	AMP.TURNS	PU STATOR CURRENT
TEETH	1326.8	0.2520
YODE	58.9	0.0112
TEETH	20.8	0.0039
YODE	2111.0	0.4010
NO LOAD	135.7	0.0258
	3653.1	0.6939

PU VOLTS, NO LOAD	AMPS
1.2	386.99
1.1	216.30
1.0	61.09
0.9	32.61
0.8	22.40

### DINTS

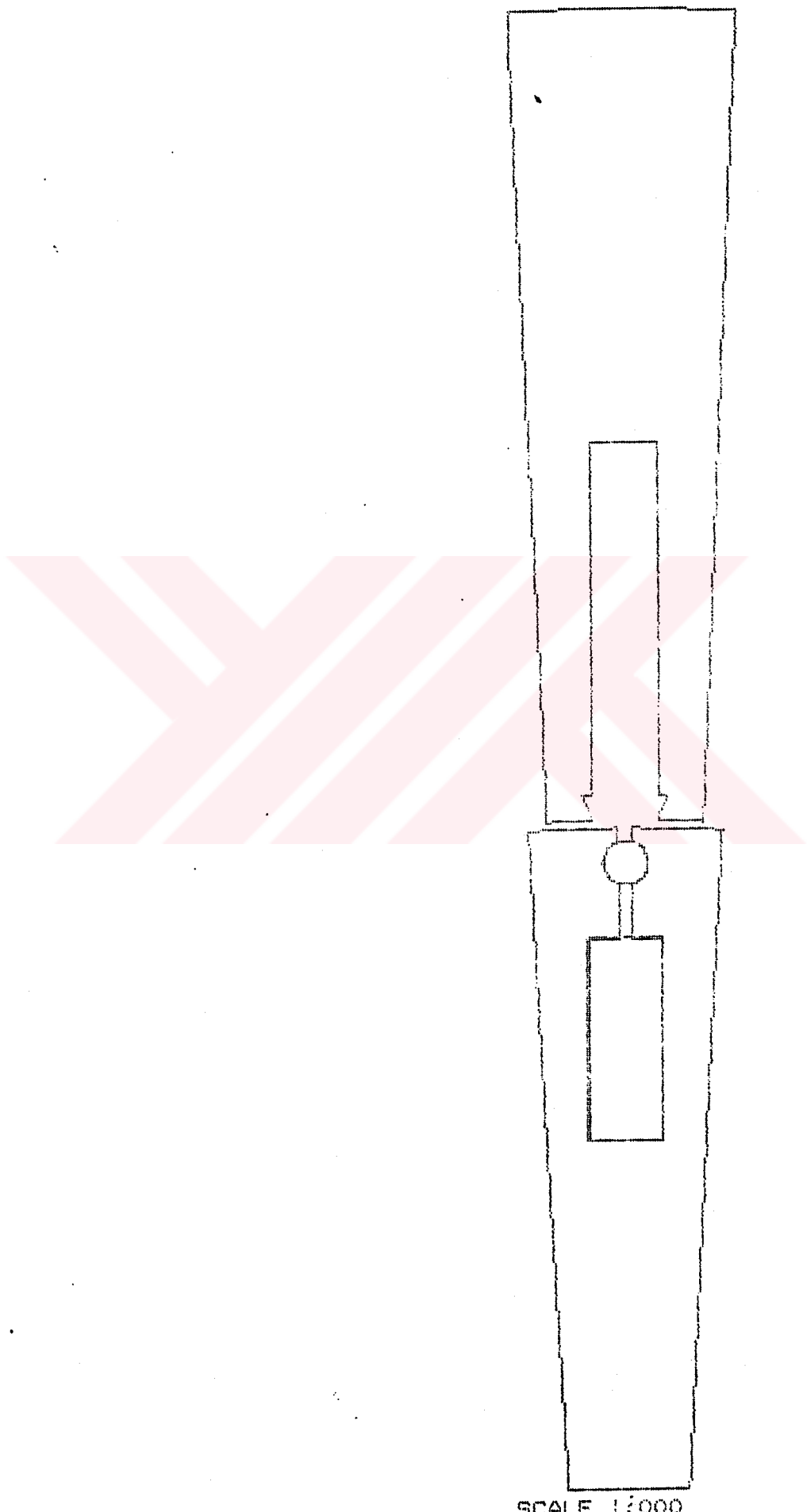
AD	125	100	75	50	25
--	0.850	0.477	0.450	0.290	0.142

AD	125	100	75	50	25
IP	0.850	0.633	0.450	0.290	0.142
TATOR CURRENT	1.539	1.268	1.041	0.860	0.738
MOTOR CURRENT	1.205	0.930	0.679	0.445	0.220
RFATOR	0.703	0.682	0.622	0.506	0.305
DR I-SQUARED*R LOSS	17.014	11.544	7.774	5.314	3.916
R I-SQUARED*R LOSS	5.362	3.195	1.703	0.731	0.179
Y LOAD LOSS	7.398	5.019	3.380	2.311	1.703
EICIENCY	93.663	94.082	93.949	92.723	87.495

## TORQUE CURVE

				PULL-UP	PULL-OUT
IP	100	75	50	25	10
CRQUE	3.124	3.150	2.924	2.214	1.572
TATOR CURRENT	5.299	5.720	4.917	3.965	3.525
MOTOR CURRENT	6.043	6.448	4.613	3.585	3.075
RFATOR	0.516	0.552	0.575	0.529	0.430
DR R2	11.660	10.848	9.364	5.868	2.266
DR XL2	0.254	0.295	0.386	0.626	0.993

610	4000	50	6	1	3.5	3.5
1	.06	870	600	470	9	5
72	0	0	11.5	11.5	11.5	1
0	3	0	0	2	1	1.2
7.6	1.81	0	3.3	3.3	0	2
2	10	2358.489	.008	120	1.3	
.97	367	0	0			
56.5	2.5	2	0	2.1	180	3
4	2	12.8	12.8	11.7	9	11.7
.3	.3	1	1	50	50	
568.2	1588.56	554.2				



SCALE 1:1000

INDAN

INDUCTION MOTOR ANALYSIS

1.000  
1 610.000  
4000.0  
Y 50.000  
PF POLES 6.0  
  
PUNCHING MATERIAL 1.0  
TEETH, B=1.0 3.500  
TOKE, B=1.0 3.500  
NG FACTOR 0.970  
IAD LOSS FACTOR 1.000  
I FACTOR 0.0600  
DIAMETER 870.0  
DIAMETER 600.0  
LENGTH 470.0  
VENTILATING DUCTS 9.0  
VENTILATING DUCT 6.0  
SECTION, SPACE BLOCK 18.0  
OF STATOR SLOTS 72.0  
VENTILATING HOLES 0.0  
METER 0.0  
OTH, MIN. 11.5  
MAX. 11.5  
OTH (ABOVE WEDGE) 11.5  
PTH 1.0  
PTH 53.0  
EPTH 0.0  
EPTH 3.0  
AGNETIC  
AT BOTTOM 0.00  
TAL SPACER 2.0  
  
STATOR WINDING CODE 1.0  
TURNS PER COIL 12.0  
STRANDS PER TURN 1.0  
CU-WIDTH 7.60  
CU-DEPTH 1.81  
INSULATION ALLOWANCES, TWO SIDES  
ARMOR TAPE 0.00  
MAIN INSULATION, COIL END 3.30  
SLOT 3.30  
TURN INSULATION 0.00  
STRAND INSULATION 0.20  
CONNECTION Y  
NO. OF PARALLEL CIRCUITS 2.0  
COIL PITCH 10.0  
MEAN LENGTH OF TURN 2358.5  
PU ADDITION, RESISTANCE 0.008  
REFERENCE STATOR TEMP., DEG. C 120.0  
AIR GAP 1.30  
ROTOR PUNCHING MATERIAL 1.0  
STACKING FACTOR 0.970  
BORE DIAMETER 375.0  
NO. OF VENTILATING HOLES 0.0  
HOLE DIAMETER 0.0  
NUMBER OF ROTOR SLOTS 58.0  
SLOT DEPTH 52.52  
NECK WIDTH 2.50  
NECK DEPTH 2.00  
TAPER DEPTH 0.00  
MAX. NECK FLUX DENSITY AT START 2.100  
REFERENCE ROTOR TEMP., DEG. C 180.0  
  
ROTOR WINDING CODE 4.0  
ASSEMBLED DOUBLE CAGE  
ROUND TOP BAR  
W1 = SLOT WIDTH, TOP 7.72  
W2 = SLOT WIDTH, LEAKAGE 2.00  
W3 = SLOT WIDTH, CENTER 12.80  
W4 = SLOT WIDTH, BOTTOM 12.80  
D2 = SLOT DEPTH, TOP 7.7  
D3 = SLOT DEPTH, LEAKAGE 9.0  
D4 = BAR DEPTH, TOP 7.7  
D5 = BAR DEPTH, BOTTOM 33.8  
CLEARANCE, TWO SIDES, TOP 0.30  
BOTTOM 0.30  
PU BAR RESISTIVITY, TOP 1.000  
BOTTOM 1.000  
BAR EXTENSION, ONE SIDE, TOP 50.0  
BOTTOM 50.0  
CU ENDRING, TOP  
CROSS SECTIONAL AREA 182.5  
AVERAGE DIAMETER 591.0  
CU ENDRING, BOTTOM  
CROSS SECTIONAL AREA 1588.6  
AVERAGE DIAMETER 562.0

DUS RPM 1000.0  
 AL SPEED, M/SEC 31.28  
 TOR CURRENT 88.0  
 BUE, NEWTON\*METER 4810.38  
 NO LOAD 0.07826  
 JURRENT DENSITY 3.301  
 LOADING, W/SQ.CM  
 , BELOW WEDGE  
 TO DC LOSS 0.0595  
 TO TOTAL CU-LOSS 0.0616  
 , TOWARDS AIR GAP  
 TO CORE LOSS 0.688  
 TO TOTAL CU-LOSS 0.332  
 JRE RISE (NOT ALWAYS CALC.)  
 , RTD 42.5  
 CU, UPPER 43.7  
 CU, LOWER 44.5  
 TEETH 39.7  
 G AIR 24.0  
 FACTOR 3.605  
 FACTOR 0.966  
 G FACTOR 0.922  
 'S COEFFICIENT 1.540  
 Y CURRENT LOSS, MAX. 0.061  
 AVG. 0.007  
 STATOR LOADING 403.6  
 L PITCH 0.833  
 SLOT WIDTH/AIR GAP 8.846  
 SLOT/TOOTH WIDTH 0.783  
 PER TURN 16.793  
 SLOTS/POLE 12.000  
 SLOTS/POLE 9.667  
 FACTOR  
 I WOUND STATOR WINDING 0.000  
 INS  
 I OF STATOR PACKAGE 41.6  
 BACK LENGTH 403.5  
 I SLOT PITCH, GAP DIAM. 26.18  
 SLOT PITCH, GAP DIAM. 32.36  
 XES IN STATOR SLOT  
 I WIDTH 0.40  
 I DEPTH 2.16  
 MAX. FLUX DENSITIES  
 0.833  
 TEETH 1.729  
 YOKE 1.347  
 EETH 2.272  
 YKE 1.652  
 NO LOAD:  
 CUB.DM MAIN STATOR INSULATION 19.736  
 WEIGHTS  
 CU, STATOR 242.7  
 ROTOR WINDING 194.7  
 STATOR PUNCHINGS  
 TEETH 244.0  
 YOKE 557.2  
 TOTAL 801.2  
 ROTOR PUNCHINGS  
 TEETH 183.4  
 YOKE 246.9  
 TOTAL 430.3  
 PU REACTANCES, RUNNING CONDITIONS  
 XL1 0.08241  
 XL2 0.18967  
 XM 1.78580  
 RESISTANCES, OHM, 20 DEGREES  
 STATOR, PER PHASE 0.221650  
 STATOR, LINE-LINE 0.443300  
 PER UNIT, RUNNING CONDITIONS  
 R1 (INCL. STRAY LOAD LOSS) 0.01689  
 R2 (WITHOUT SKIN EFFECT) 0.00604  
 RM (IN PARALLEL WITH XM) 91.48392  
 MEASURABLE LOSSES  
 WINDAGE AND FRICTION LOSS 3.742  
 CORE LOSS 6.093  
 STATOR I-SQUARED\*R LOSS 7.180  
 ROTOR I-SQUARED\*R LOSS 3.040  
 STRAY LOAD LOSS 3.122  
 NON MEASURABLE LOSS COMPONENTS  
 CORE LOSS  
 TEETH 2.555  
 YOKE 3.538  
 STRAY LOAD LOSS  
 STATOR WINDING EDDY LOSS 0.052  
 OUTSIDE STATOR WINDING 3.070  
 AT RATED LOAD  
 ROTOR SLOT CURRENT 1099.4  
 ROTOR CURRENT DENSITY 2.343  
 VENTILATION, CUB.M/SEC 0.945  
 M/SEC STATOR TEETH, MAX. 18.61  
 AT STALLED CONDITION  
 DEGREES/SECOND, STATOR 42.00  
 ROTOR 216.45  
 AMP.TURNS PU STATOR CURRENT  
 1326.8 0.2520  
 58.9 0.0112  
 20.8 0.0039  
 1273.5 0.2419  
 138.1 0.0262  
 2618.1 0.5353  
 PU VOLTS, NO LOAD AMPS  
 1.2 3.5742 314.69  
 1.1 1.8060 159.01  
 1.0 0.5353 47.13  
 0.9 0.3377 29.73  
 0.8 0.2403 21.15

INTS	125	100	75	50	25	
D	0.797	0.603	0.434	0.281	0.138	
P	1.392	1.135	0.910	0.723	0.568	
ATOR CURRENT	1.168	0.909	0.667	0.439	0.217	
TOR CURRENT	0.772	0.756	0.706	0.597	0.378	
R I-SQUARED*R LOSS	13.909	9.250	5.952	3.752	2.482	
I-SQUARED*R LOSS	5.021	3.040	1.640	0.708	0.174	
LOAD LOSS	6.048	4.022	2.588	1.631	1.079	
ICIENCY	94.430	94.771	94.663	93.630	89.145	
ORQUE CURVE					PULL-UP	PULL-DOWN
P	100	75	50	25	10	2.218
RGUE	2.707	2.869	2.824	2.247	1.678	1.962
ATOR CURRENT	6.778	6.266	5.478	4.394	3.774	2.662
TOR CURRENT	6.588	6.064	5.253	4.113	3.445	2.380
FACTOR	0.445	0.484	0.519	0.498	0.432	0.656
R R2	8.535	6.006	7.002	4.545	1.934	1.052
R XL2	0.262	0.300	0.385	0.616	0.370	0.982
610	4000	50	6	1	3.5	3.5
1	.06	870	600	470	9	6
72	0	0	11.5	11.5	11.5	1
0	3	0	0	2	1	12
7.6	1.81	0	3.3	3.3	0	.2
2	10	2358.489	.006	120	1.3	
.97	374.96	0	0			
52.518	2.5	2	0	2.1	180	4
7.718	2	12.8	12.8	7.718	9	7.718
.3	.3	1	1	50	50	
591	1588.56	562				

TC. YÜKSEK İŞLETİM KURULU  
BİOKÜMANYASVON MERKEZİ

## **ÖZGEÇMİŞ**

Zafer YAVUZ;1972 yılında İzmit'te doğdu. İlkokulu İzmit Seka İlkokulu;Ortaokulu ve Liseyi Kocaeli Anadolu Lisesinde tamamladı. 1990 yılında İTÜ Elektrik-Elektronik Fakültesi'nde yüksek öğrenime başladı. 1995 yılında aynı bölümde Elektrik Mühendisi ünvanıyla mezun oldu. 1995 yılında İTÜ Fen Bilimleri Enstitüsünde Elektrik Mühendisliği Ana Bilim Dalı'nda yüksek lisans eğitimiine başladı. Halen bir kamu kuruluşunda Elektrik Mühendisi olarak çalışmaktadır.

